

وزارة التعليم والبحث العلمي
MINISTERE DE L'ENSEIGNEMENT ET DE LA RECHERCHE SCIENTIFIQUE

100.

ECOLE NATIONALE POLYTECHNIQUE

DEPARTEMENT : G ~~O~~ CIVIL

PROJET DE FIN D'ETUDES

SUJET

R + 4 PORTIQUE

Proposé par: ZIAU

Etudié par: MS TALEB

Dirigé par:

M. NEFZOUNI



PROMOTION: juin 84

REMERCIEMENTS.

Je tiens à remercier mon promoteur **NEIRYNCK** pour son aide et ses conseils.

Que tous les professeurs qui ont contribué à ma formation trouvent ici mon profond dévouement.

Mes respects aux membres du Jury qui me feront l'honneur d'apprécier ce modeste travail et à l'honorables assistance qui sera présente.

Taleb Kamou.

DEDICACE

Je dedis ce modeste travail

A:

- Ma mère
- Mon père, pour son bon cœur, sa compréhension, et ses soutiens continus au long de ma formation.
- Mes sœurs, mes frères ; Said, Nacer, Mourad, Hakim, et Ayes tout en leur souhaitant la bonne chance, et la réussite.
- Mes amis (res) en particulier à **MEBARKI - Louard** qui m'a aidé

Mon ami **Igoussimène Abdelah.**

Mon ami **BERKANE Satah.**

Taleb

Kamou.

BIBLIOGRAPHIE

- P. Charon.

Calcul et vérification des ouvrages en béton armé (EYROLLES)

- CCBA 68

Règles techniques de conception et de calcul des ouvrages et construction en béton armé.

- R.PA 81

Règles parasismiques algériennes.

- Aide MEMOIRE beton armé (DUNOD)

- Complément au règles parasismiques (CTC)

TABLE DE MATIERE

Chapitre I INTRODUCTION...

Présentation de l'ouvrage	1
Caractéristiques mécaniques des matériaux	2

Chapitre II CALCUL DES ELEMENTS.

Acrotère	6
Escaliers	9
Calcul des poutrelles	17
Etude des planchers dalles	27

Chapitre III ETUDE AU SEISME

Généralités	31
Charges soumises à l'action sismique	33
Exposé de la méthode de BOWMAN	37
Efforts horizontaux agissant sur les portiques	38
Etude de la torsion	41
Déformations horizontales	46
Vérification au déversement	50

Chapitre IV DESCENTE DE CHARGE VERTICALE SUR LES PORTIQUES. 51

Chapitre V CHARGES VERTICALES.

Méthode de CAQUOT	58
-------------------------	----

Chapitre VI COMBINAISON DES EFFORTS

Chapitre VII FERRAILLAGE DES POUTRES.

Méthode de Pierre Charon	73
Vérification	74

Chapitre VIII FERRAILLAGE DES POTEAUX

Exposé de la méthode	97
Vérifications	101
Résultat des efforts	101
Résultats du Ferrailage	109

Chapitre IX VOILE PERIPHERIQUE 115

Chapitre X Longrines 116

Chapitre XI FONDATIONS 120

PRESENTATION DE L'OUVRAGE

· Ce projet de fin d'étude porte sur l'étude et le calcul des éléments résistants d'un bâtiment à usage d'habitation (R+4), qui sera implanté dans une zone de moyenne sismicité. Il comporte un seul bloc.

Le taux de travail du sol est de 2 bars pour une profondeur d'enracinement de 1,5 m.

Ossature :

Longueur totale : 23,55 m. Largeur totale : 10,19 m.
hauteur totale : 16,64 m.

L'ossature sera composée de trois portiques longitudinaux et huit portiques transversaux.

Plancher :

- Il sera constitué de corps creux et une dalle de compression (R+4)
- Le plancher terrasse comporte en plus une isolation thermique et une forme dépendante.

Escaliers :

Ce bâtiment sera muni d'une cage d'escaliers dont ces derniers seront en béton armé avec paroi porteuse et seront construites indépendamment du bloc.

Caractéristiques des matériaux.

- Le béton : le béton constituant cette ouvrage sera conforme aux règles du CCBA 68 et à tous les règlements en vigueur applicables en Algérie. Il sera dosé à 350 Kg/m³ de CPA 325 à contraint atteinte. Le sable doit être propre; ne doit comporter ni terre, ni matière organique ni argile.

Dosage pour 1m³ de béton. (800 L de gravillon, 400 L de sable, 350 Kg de CPA 325)
grosseur des granulats : Gg : 5/15 mm. [175 L d'eau]

- Aciers : On utilisera des aciers doux (rond, lisse) et des aciers Haute adhérence.

- Mâçonnerie : En briques creuses.

murs double éloisons : - murs extérieurs 15 cm.
- vide d'air 5 cm.
- mur intérieur 5 cm.

- Revêtements : carrelage.

2

CARACTERISTIQUES MECANIQUES DES MATERIAUX

1) Beton

Resistance nominale de compression à 28j $\sigma_{28}^c = 270$ bars.

Resistance nominale de traction à 28j $\sigma_{28}^t = 23,2$ bars.

a) Contrainte de compression admissible : CCBA 68 Art(9-4)

$$\bar{\sigma}_b' = \rho' b \quad \text{avec } \rho' b = \alpha \beta \gamma \delta E$$

α : depend de la classe de ciment utilise' $\alpha=1$ (Cpa 325)

β : depend de l'efficacite du controle $\beta = 5/6$ (controle attenué)

γ : depend des epaisseurs relatives des elements et des dimensions des granulats

$$\delta = \begin{cases} 1 & \text{pour } h_m > 4c_g \\ \frac{h_m}{4c_g} & \text{si } h_m < 4c_g \end{cases}$$

h_m : epaisseur minimale de la piece

c_g : grosseur d'un granulat c.a.d le diamètre minimal des trous d'une passoire susceptible de livrer passage à 90% de ce granulat

δ : depend de la nature de la sollicitation

$$\delta = \begin{cases} 0,3 & \text{en compression simple} \\ 0,6 & \text{en flexion simple} \end{cases}$$

- En flexion composée :

Si l'effort normal est de traction : $\delta = 0,6$

$$\text{Si l'effort normal est decompression : } \delta = \begin{cases} 0,3 \left(1 + \frac{e_0}{3e_1} \right) & \text{si } \delta < 0,6 \\ 0,6 & \text{si } \delta > 0,6 \end{cases}$$

avec : e_0 : excentricité de la résultante des forces extérieures par rapport au centre de gravité du beton seul.

e_1 : distance de la limite noyau central au C.D.G de la section du beton seul dans le plan radial passant par le centre de pression.

Quand il s'agira d'une sollicitation pondérée du 2^e genre les valeurs de δ sont multipliées par 1,5.

E : depend de forme de la section et la position de l'axe neutre

$$E = \begin{cases} 1 & \text{en compression simple} \\ 0,5 < E \leq 1 & \text{dans les autres cas.} \end{cases}$$

3

En compression simple

- Sous SP_1 $\bar{\sigma}_b' = 1 \cdot \frac{5}{6} \cdot 1 \cdot 0,3 \cdot 1 \cdot 270 = 67,5$ bars. = $68,8$ Kg/cm^2
- Sous SP_2 $\bar{\sigma}_b' = 1,5 \times 68,8 = 103,2$ Kg/cm^2 .

En flexion simple

- Sous SP_1 $\bar{\sigma}_b' = 135$ bars = $137,6$ Kg/cm^2 .
- Sous SP_2 $\bar{\sigma}_b' = 1,5 \times 137,6 = 206,4$ Kg/cm^2 .

b) Contrainte de traction de référence (CCBA 68 Art. 95)

$$\bar{\sigma}_b = \alpha \beta \gamma \delta \sigma_{28}' ; \quad \alpha, \beta, \gamma \text{ même que précédemment}$$

$$\delta = 0,018 + \frac{2,1}{\sigma_{28}'} \quad (\sigma_{28}' \text{ en bars})$$

$$\text{Sous } SP_1 \quad \bar{\sigma}_b = 5,8 \text{ bars} = 5,9 \text{ } Kg/cm^2.$$

$$\text{Sous } SP_2 \quad \bar{\sigma}_b = 1,5 \cdot 5,9 = 8,85 \text{ } Kg/cm^2.$$

c) Module de déformation du béton.

1) Module de déformation longitudinale.

Dans le cas des défcharges d'une durée d'application inférieure à 24 h le module de déformation instantané E_i est égal à :

$$E_i = 2100 \cdot \sqrt{\sigma_j'} \text{ (bars)} \quad (\text{CCBA 68 Art 9.61})$$

σ_j' : représente la résistance du béton à j jours et exprimée en bars.

. Le module de déformation longitudinal du béton sous des contraintes permanentes ou de longue durée d'application, ou module de déformation différé.

$$E_v = 700 \cdot \sqrt{\sigma_j'} \text{ (bars)}$$

. Lorsque on ne dispose que des résultats à 28_j pour la résistance des bétons ; on peut admettre que ; pour les grandes valeurs de j , on a sensiblement :

$$\sigma_j' = 1,2 \sigma_{28}' \text{ pour les bétons à base de ciment de classe 325}$$

$$\sigma_j' = 1,1 \sigma_{28}' \text{ pour les bétons à base de ciment supérieur}$$

2 Les aciers

a) aciers doux : rond lisse :

	<u>aciers</u> <u>contraintes</u>	<u>Fe E 22</u>			<u>Fe E 24</u>			<u>Fe E 34</u>		
		<u>σ_{en}</u>	<u>2160 bars = 2200 Kg/cm^2</u>	<u>2350 b. = 2400 Kg/cm^2</u>	<u>3340 b = 3400 Kg/cm^2</u>	<u>σ_a</u>	<u>$\sigma_a = \frac{2}{3} \sigma_{en}$</u>	<u>1440 Kg/cm^2</u>	<u>1600 Kg/cm^2</u>	<u>2270 Kg/cm^2</u>
SP_1	$\bar{\sigma}_a = \frac{2}{3} \sigma_{en}$									
SP_2	$\bar{\sigma}_a = \sigma_{en}$									
			<u>2200 Kg/cm^2</u>	<u>2400 Kg/cm^2</u>	<u>3400 Kg/cm^2</u>					

4

b) Aciers haute adherence.

Ce sont des armatures qui ont subi un traitement mécanique leur conférant une limite d'élasticité élevée. La haute adhérence est généralement obtenue par des nervures ensaillie sur le corps de l'armature ou par torsion d'un profil circulaire ou par les deux procédures à la fois.

Les armatures à hautes adhérences sont : Fe E 40 A ; Fe E 40 B ; Fe E 45 Fe E 50, généralement on utilise Fe E 40 A.

Fe E 40 A	$\phi \leq 20 \text{ mm}$	$\phi > 20 \text{ mm}$
σ_{en}	$4120 \text{ bars} = 4200 \text{ Kg/cm}^2$	$3920 \text{ bars} = 4000 \text{ Kg/cm}^2$
$SP_1 \quad \bar{\sigma}_a$	$\frac{2}{3} \sigma_{\text{en}} = 2800 \text{ Kg/cm}^2$	2667 Kg/cm^2
$SP_2 \quad \bar{\sigma}_a$	4200 Kg/cm^2	4000 Kg/cm^2

Le coefficient de fissuration désigné par η est égal à 1,6

Le coefficient de scellement désigné par $\psi_d = 1,5$

c) Treillis soudés :

Sont des grillages en fils enroulés se croisant perpendiculairement et soudés électriquement à leur point de croisement. Leurs caractéristiques mécaniques sont :

Coefficient de fissuration : $\eta = 1,6$

Treillis soudés	$\phi \leq 6 \text{ mm}$	$\phi \geq 6 \text{ mm}$
σ_{en}	5300 Kg/cm^2	4500 Kg/cm^2
$SP_1 \quad \bar{\sigma}_a = \frac{2}{3} \sigma_{\text{en}}$	3533 Kg/cm^2	3000 Kg/cm^2
$SP_2 \quad \bar{\sigma}_a$	5300 Kg/cm^2	4500 Kg/cm^2

- Condition de fissuration du béton et contrainte de traction

La théorie de fissuration permet de calculer la répartition et l'ouverture des fissures en flexion et en traction.

On définit le pourcentage de fissuration par :

$$\tilde{\omega}_f = \frac{A}{B_f} (\%)$$

A : section d'acier

B_f : section d'enrobage des barres tendues.

5

Suivant les valeurs de \tilde{w}_f , deux types de fissurations sont susceptibles de se produire.

- fissuration systématique
- fissuration non systématique (accidentelle)

Fissuration systématique : lors de la mise en traction, l'effort transmis au béton est supérieur à son effort de rupture.

Les contraintes de traction admissibles sont données par :

$$\sigma_1 = K \cdot \frac{\eta}{\phi} \cdot \frac{\tilde{w}_f}{1 + 10 \tilde{w}_f}$$

Fissuration non systématiques (accidentelle) : elle est due au effets de retrait de la variation de température.

$$\sigma_2 = 2,4 \left(K \cdot \frac{\eta}{\phi} \sigma_b \right)^{1/2}$$

ϕ : diamètre nominal en (mm) de la plus grosse barre tendue.

η : coefficient de fissuration

$$\eta = \begin{cases} 1 & \text{pour les ronds lisses} \\ 1,6 & \text{Pour les H.A.} \end{cases}$$

K : coefficient numérique dépendant des conséquences de la fissuration
Sur le comportement de l'ouvrage.

$$K = \begin{cases} 1,5 \cdot 10^6 & \text{fissuration peu nuisible} \\ 1 \cdot 10^6 & \text{fissuration préjudiciable} \\ 0,5 \cdot 10^6 & \text{fissuration très préjudiciable} \end{cases}$$

La contrainte de traction des aciers à considérer sera :

$$\sigma_a = \min \begin{cases} \bar{\sigma}_a \\ \max(\sigma_1, \sigma_2) \end{cases}$$

Coefficient d'équivalence.

On suppose que l'adhérence béton-acier est non rompue avec la force (F) d'où déformation acier-béton identique c.a.d $E_a = E_b$.

Loi de Hooke : $\frac{\sigma'_a}{E_a} = \frac{\sigma'_b}{E_b}$. en posant $n = \frac{E_a}{E_b} \Rightarrow \sigma'_a = n \sigma'_b$

σ'_a et σ'_b contrainte dans l'acier et dans le béton.

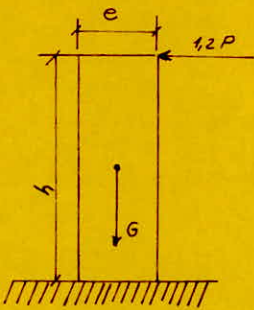
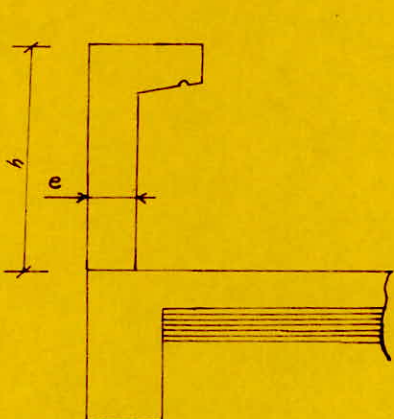
n : coefficient d'équivalence.

$E_a : 21000 \text{ Kg/mm}^2 \quad 1000 \text{ Kg/mm}^2 \leq E_b \leq 5000 \text{ Kg/mm}^2$.

d'où n varie $4,5 \leq n \leq 21$

CCBA 68 fixe pour un béton moyen $n = 15$

ACROTERE



- On a trois types d'acroteres dont chacune differe de l'autre par sa hauteur "h"

- 1. Poids de l'acrotère de 0,7m de haut type 1

$$33,9 \times 0,1 \times 0,7 \cdot 2500 = 2,310 t$$

- 2. Poids de l'acrotère de 1m de haut type 2

$$33,9 \cdot 0,1 \cdot 1 \cdot 2500 = 8,475 t$$

- 3. Poids de l'acrotère de 1,40m de haut type 3

$$6,60 \cdot 0,1 \times 1,40 \times 2500 = 8,310 t$$

- type 1 :

- Briques creuses de 5cm : $(45 \cdot 0,7 \cdot 13,2) = 0,416 t$
- Enduit 2cm : $(18 \cdot 2 \cdot 0,7 \cdot 9,9) = 0,333 t$

- type 2 :

- Briques creuses de 5cm : $(45 \cdot 1 \cdot 33,9) = 1,525 t$
- Enduit 2cm : $(2 \cdot 18 \cdot 1 \cdot 33,9) = 1,22 t$

- type 3

- Briques creuses de 5cm : $(45 \cdot 1,40 \cdot 6,60) = 0,416 t$
- Enduit 2cm : $(2 \cdot 18 \cdot 1,40 \cdot 6,60) = 0,333 t$

Poids total de l'acrotère type 1

$$3,310 + 0,399 + 0,416 = 3,06 \text{ t}$$

Poids total de l'acrotère type 2

$$8,475 + 1,525 + 1,220 = 11,22 \text{ t}$$

$$P_t = \sum_{i=1}^3 P_{T,i} = 16,58 \text{ t.}$$

Poids total de l'acrotère type 3

$$2,31 + 0,416 + 0,333 = 3,06 \text{ t}$$

L'acrotère se calcule comme une console encastrée au niveau du plancher; la section dangereuse est celle d'enca斯特 dans laquelle agissent les efforts suivants:

- Effort normal N

- Effort tranchant T

- Effort ou moment de flexion M .

- Acrotère type 1

$$N = G \cdot 1 \text{ m} = \frac{3,310}{13,2} \cdot 1 = 175 \text{ Kg.}$$

$$T = 1,2 \cdot 100 = 120 \text{ Kg.}$$

$$M = 1,2 P \cdot h = 120 \cdot 0,7 = 84 \text{ Kg.m.}$$

$$e_0 = \frac{M}{N} = \frac{120}{175} = 68,5 \text{ cm} > \frac{h_t}{6} = \frac{70}{6} = 11,66 \text{ cm.} = e_1$$

$e_0 > e_1$ la section est entièrement comprimée, la détermination des sections d'armatures se fera par la méthode des moments fictifs (M_f), en flexion simple par rapport au centre de gravité des armatures tendues, puis on se rapporte à la flexion composée.

Determination des armatures (Méthode de P. charon)

- L'enrobage sera pris à 2 cm ($d = 2 \text{ cm}$)

- $h_t = 10 \text{ cm.}$

- $h = 8 \text{ cm}$

- $M_f = M + N - F$ avec $F = \frac{h_t}{2} - d = \frac{10}{2} - 2 = 3 \text{ cm.}$

- $M_f = 8400 + 175 \cdot 3 = 8925 \text{ Kg.cm.}$

- $\alpha_f = \frac{\alpha M_f}{\bar{\sigma}_a \cdot b \cdot h^2} = \frac{15 \cdot 8925}{2800 \cdot 100 \cdot 8^2} = 0,0074 \rightarrow (K = 114; E = 0,9612)$

- $\bar{\sigma}_b' = \frac{\bar{\sigma}_a}{K} = 24,56 \text{ Kg/cm}^2 < \bar{\sigma}_b' = 137 \text{ Kg/cm}^2 \rightarrow$ Les armatures de compression ne sont pas nécessaires

Section d'armatures tendues:

$$A = \frac{M_f}{\bar{\sigma}_a \cdot E \cdot h} - \frac{N}{\bar{\sigma}_a} = \frac{8925}{2800 \cdot 0,9612 \cdot 8} - \frac{175}{2800} = 0,35 \text{ cm}^2$$

8

.Verification au non fragilité'

$$\text{En doit avoir: } A \geq 0,69 \cdot b \cdot h \cdot \frac{\bar{\sigma}_b}{\sigma_{en}} \quad (\sigma_{en} = 4200; \bar{\sigma}_b = 5,9 \text{ Kg/cm}^2)$$

$$A \geq 0,69 \cdot 100 \cdot 8 \cdot \frac{5,9}{4200} = 0,78 \text{ cm}^2$$

Or $A < 0,78 \text{ cm}^2$; donc on adoptera un ferraillage de construction 1T6 tous les 20 cm.

Condition de non fissuration

fissuration peu nuisible $K = 1,5 \cdot 10^6$

Acier haute adhérence $\eta = 1,6$.

$\phi = 6 \text{ mm.}$

$$\hat{\omega}_f = \frac{A}{B_f} = \frac{1,7}{4,15 \cdot 100} = 0,00409$$

$$\sigma_1 = K \cdot \frac{n}{\phi} \cdot \frac{\omega_f}{1+10\omega_f} = 1571,72 \text{ Kg/cm}^2; \sigma_2 = 2,4 \left(\frac{K\eta \cdot \bar{\sigma}_b}{\phi} \right)^{1/2} = 3686,95 \text{ Kg/cm}^2$$

$$\sigma_a = \min \left\{ \bar{\sigma}_a = 2800 \text{ Kg/cm}^2 \text{ et } \max(\sigma_1, \sigma_2) \right\} \rightarrow \sigma_a = \bar{\sigma}_a = 2800 \text{ Kg/cm}^2$$

Vérification à l'effort tranchant

$$\text{On doit avoir } A\bar{\sigma}_a \geq T - \frac{M}{Z} \quad (\text{Art. 35-32 CCBA 68})$$

$$Z = \frac{7}{8} h = \frac{7}{8} \cdot 8 = 7 \text{ cm.}$$

$$T = 120 \text{ Kg.}$$

$$A \bar{\sigma}_a = 1,7 \cdot 2800 = 4760 \text{ Kg.}$$

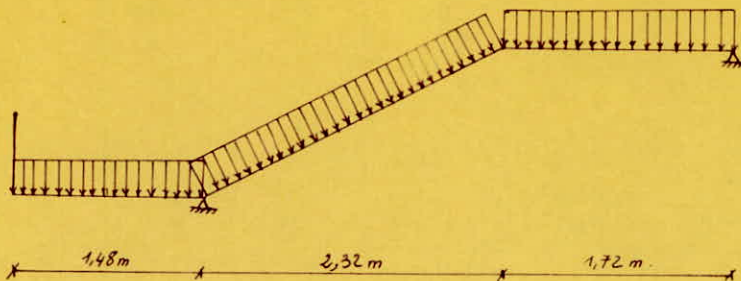
$$T - \frac{M}{Z} = 120 - \frac{8400}{7} = 1080 \text{ Kg.}$$

$$A\bar{\sigma}_a > T - \frac{M}{Z} \quad \text{c'est vérifié à l'effort tranchant.}$$

Les même calculs ont été faits pour les autres types d'acrotères et ont donné le même ferraillage c.a.d. des aciers de construction, 1T6 tous les 20cm. et que toutes les vérifications sont satisfaites

9

ESCALIERS



Largeur de la marche $g = 29 \text{ cm}$.

hauteur de la contre marche $h = 17 \text{ cm}$.

$$\operatorname{Tg}(\alpha) = \frac{h}{g} = \frac{17}{29} \Rightarrow \alpha = 31,26^\circ \rightarrow \cos \alpha = 0,85$$

Conditions de Blonde

$$\left\{ \begin{array}{l} g > h \\ (59 \leq 2h + g \leq 64) \text{ cm.} \end{array} \right. \quad \text{Vérifiée.}$$

Predimensionnement des paliers et paillasses.

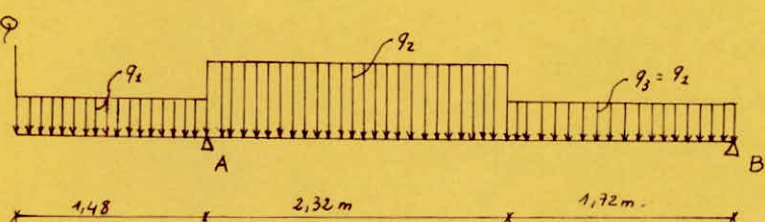
$$\ell = 1,48 + 1,72 + 2,32 = 5,52 \text{ m.}$$

$$\frac{\ell}{30} \leq e \leq \frac{\ell}{20} \Rightarrow 18,4 \leq e \leq 27,6 \text{ cm} \quad \text{on prend } e = 20 \text{ cm.}$$

Les marches seront considérées comme des charges uniformément réparties sur la paillasse

Charge et surcharge :

Le calcul se fera par mètre d'emmarchement et par mètre de projection horizontale.



10

Etage courant

Pailasse:

$$\begin{aligned}
 - \text{Poids propre} &: \frac{0,20 \cdot 2500}{0,85} = 588,23 \text{ Kg/m}\ell \\
 - \text{Poids des marches} &: 2200 \cdot 0,17 \cdot 1 \cdot 0,29 = 187 \text{ Kg/m}\ell \\
 &\quad 2 \cdot 0,29 \\
 - \text{Enduit ciment (1,5cm)} &: 2000 \cdot 0,015 = 30 \text{ Kg/m}\ell \\
 - \text{Granito (2cm)} &= 44 \text{ Kg/m}\ell \\
 - \text{Enduit plâtre (1cm)} &= 20 \text{ Kg/m}\ell \\
 - \text{Surcharges majorées : } 1,2P &= 1,2 \cdot 400 = 480 \text{ Kg/m}\ell \\
 \\
 q_2 &= 1349,23 \text{ Kg/m}\ell
 \end{aligned}$$

Polier:

$$\begin{aligned}
 - \text{Poids propre} &: 2500 \cdot 0,20 \cdot 1 = 500 \text{ Kg/m}\ell \\
 - \text{granito (2cm)} &= 44 \text{ Kg/m}\ell \\
 - \text{sable (2cm)} &= 34 \text{ Kg/m}\ell \\
 - \text{mortier (1cm)} &= 20 \text{ Kg/m}\ell \\
 - \text{enduit plâtre (1cm)} &= 20 \text{ Kg/m}\ell \\
 - \text{Surcharge majorée } 1,2P &= 1,2 \cdot 400 = 480 \text{ Kg/m}\ell \\
 \\
 q_1 &= 1098 \text{ Kg/m}\ell
 \end{aligned}$$

Charge due au garde corps:

$$P = 2500 \cdot 1 \cdot 0,86 \cdot 0,1 = 215 \text{ Kg}$$

Calcul des réactions

$$\begin{aligned}
 \sum M_B = 0 &\rightarrow R_A = 4850,13 \text{ Kg/m}\ell \\
 \sum M_A = 0 &\rightarrow R_B = 2008,70 \text{ Kg/m}\ell
 \end{aligned}$$

Calcul des moments maximum

$$T=0 \Rightarrow M = M_{\max}$$

$$T = q_2 \cdot (x - l_3) + q_1 \cdot l_3 - R_B$$

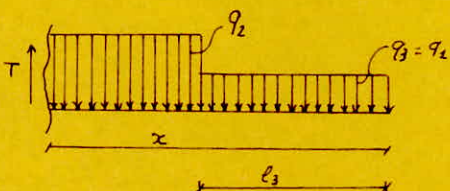
$$T=0 \Rightarrow x = \frac{R_B - q_1 l_3 + q_2 l_3}{q_2}$$

$$x = 1,81 \text{ m}$$

$$M = R_B \cdot x - q_2 \cdot \frac{(x - l_3)^2}{2} - q_1 l_3 (x - l_3 / 2)$$

$$M_{\max} = 2994,86 \text{ Kg.m}$$

$$M_A = P l_1 + q_1 \frac{l_1^2}{2} = 1520,72 \text{ Kg.m}\ell$$



Moment sur appui B. (M_B)

$$\text{On prend } M_B = 0,2 M_{\max} = 599 \text{ Kg.m}\ell$$

Ferraillage :

Le calcul de ferraillage se fera par la méthode de P. Charon

- En traveé :

$$M = 2994,86 \text{ Kg.m}^2$$

$$\gamma_f = \frac{n \cdot M}{\bar{\sigma}_a \cdot b \cdot h^2} = \frac{15 \cdot 2994,86 \cdot 10^2}{2800 \cdot 100 \cdot 18^2} = 0,0592 \rightarrow (K = 34,5; E = 0,8990; \alpha = 0,3030)$$

$$\bar{\sigma}_b' = \frac{\bar{\sigma}_a}{K} = 81,16 \text{ Kg/cm}^2 < \bar{\sigma}_b' = 137, \text{ Kg/cm}^2 : \text{Les armatures comprimées ne sont pas nécessaires}$$

$$A = \frac{M}{\bar{\sigma}_a \cdot E \cdot h} = \frac{2994,86 \cdot 10^2}{2800 \cdot 0,8990 \cdot 18} = 6,61 \text{ cm}^2$$

On prend $6 T_{12} (6,78 \text{ cm}^2) / \text{m}^2$

- Aux appuis :

$$\text{Appui A } M_A = 1520,72 \text{ Kg.m}^2$$

$$\gamma_f = \frac{n \cdot M}{\bar{\sigma}_a \cdot b \cdot h^2} = 0,0251 \rightarrow (K = 57,5; E = 0,9310; \alpha = 0,2069)$$

$$\bar{\sigma}_b' = \frac{\bar{\sigma}_a}{K} = 48,69 \text{ Kg/cm}^2 < \bar{\sigma}_b' : \text{Les armatures comprimées ne sont pas nécessaires}$$

$$A = \frac{1520,72 \cdot 10^2}{2800 \cdot 0,9310 \cdot 18} = 3,24 \text{ cm}^2$$

On adoptera $7 T_8 / \text{m}^2 (3,51 \text{ cm}^2)$

$$\text{Appui B } M_B = 599 \text{ Kg.m}^2$$

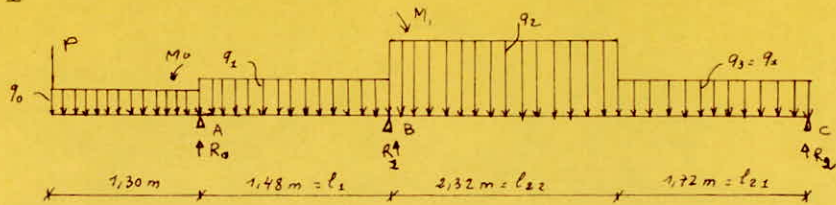
$$\gamma_f = 0,0099 \rightarrow (K = 97; E = 0,9554; \alpha = 13,39)$$

$$\bar{\sigma}_b' = 28,87 \text{ Kg/cm}^2 < \bar{\sigma}_b' : \text{Les armatures comprimées ne sont pas nécessaires}$$

$$A = \frac{599 \cdot 10^2}{2800 \cdot 0,9554 \cdot 18} = 1,24 \text{ cm}^2$$

On adoptera $7 T_8 / \text{m}^2 (3,51 \text{ cm}^2)$

Niveau I

Calcul de q_0 :

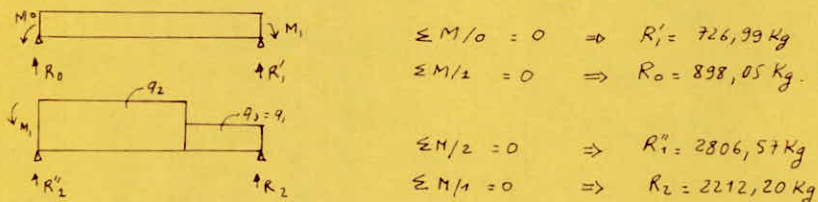
- gravier 80 Kg/m^2
 - Etancheité' 12 Kg/m^2
 - Ecran par vapeur 5 Kg/m^2
 - Enduit plâtre 17 Kg/m^2
 - Poids Propre: $0,15 \cdot 1,3 \cdot 2500 = 368,08 \text{ Kg/m}^2$
 - + $2 \cdot 0,08 \cdot 0,7 \cdot 2500 = 280 \text{ Kg/m}^2$
-

$$q_0 = 762,08 \text{ Kg/m}^2$$

$$P = 0,8 \cdot 0,7 \cdot 1 \cdot 2500 = 140 \text{ Kg/m}^2.$$

M_0 en A dû à q_0 et P sur la console.

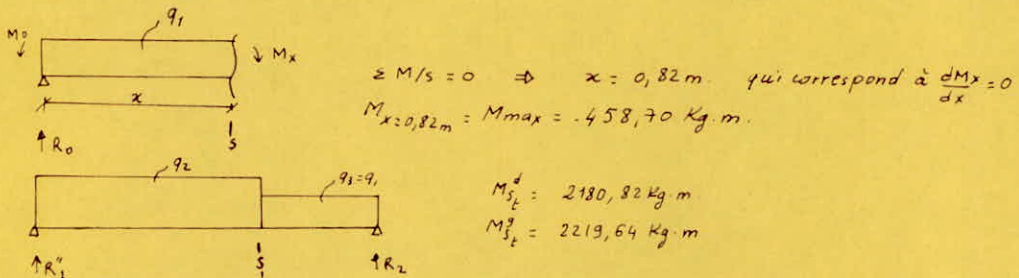
$$M_0 = P \cdot 1,3 + q_0 \cdot 1,3^2 / 2 = 140 \cdot 1,3 + 762,08 \cdot \frac{1,3^2}{2} = 825,96 \text{ Kg.m}$$

Par l'équation des trois moments on trouve : $M_1 = -699,37 \text{ Kg.m}$ 

$$\text{donc: } R_0 = 898,05 \text{ Kg.}$$

$$R_1 = R'_1 + R''_1 = 3533,56 \text{ Kg}$$

$$R_2 = 2212,20 \text{ Kg.}$$



donc on prend $M_{t \max} = M_{S_t}^3 = 2219,64 \text{ Kg.m.}$
 $M_2 = 0,2 M_{t \max} = 453,93 \text{ Kg.m}$

Ferraillage de la console :

$$\epsilon_f = \frac{15 \cdot 825,95 \cdot 10^2}{2800 \cdot 100 \cdot 13} = 0,02618 \rightarrow (K = 56; E = 0,9296; \alpha = 0,2113)$$

$$A = \frac{825,95 \cdot 10^2}{2800 \cdot 0,9296 \cdot 13} = 2,44 \text{ cm}^2$$

Determination des aciers aux appuis.

- Appui (0) $A = 2,44 \text{ cm}^2$

- Appui (1)

$$M_1 = 699,37 \text{ Kg.m.}$$

$$\epsilon_f = \frac{15 \cdot 699,37 \cdot 10^2}{2800 \cdot 100 \cdot 18} = 0,01156 \rightarrow (K = 73,5; E = 0,9435; \alpha = 0,1695)$$

$$A = \frac{699,37}{2800 \cdot 0,9435 \cdot 18} = 1,47 \text{ cm}^2$$

- Appui (2)

$$M_2 = 453,95 \text{ Kg.m.}$$

$$\epsilon_f = 0,0075 \rightarrow (K = 113; E = 0,9609; \alpha = 0,1172)$$

$$A = 0,94 \text{ cm}^2$$

Determination des aciers en travée.

- travée (0-1)

$$M_E = 458,7 \text{ Kg.m.}$$

$$\epsilon_f = 0,0075 \rightarrow (K = 113; E = 0,9609; \alpha = 0,1172)$$

$$A = 0,95 \text{ cm}^2$$

- travée (1-2)

$$M_E = 2219,64 \text{ Kg.m}$$

$$\epsilon_f = 0,0368 \rightarrow (K = 46; E = 0,9180; \alpha = 0,2459)$$

$$A = 4,797 \text{ cm}^2$$

$$\sigma_b' = \frac{\bar{\sigma}_b}{K} = \frac{2800}{46} = 60,87 \text{ Kg/cm}^2 < \bar{\sigma}_b' : \text{Les armatures comprimées ne sont pas nécessaires pour toutes les travées}$$

Condition de non fragilité

$$A \geq 0,69 \cdot b \cdot h \cdot \bar{\sigma}_b / \sigma_{en} = 0,69 \cdot 100 \cdot 18 \cdot 5,9 / 4200 = 1,74 \text{ cm}^2$$

donc on adoptera pour le ferraillage comme suit

- en travée (1-2) $5 T_{12} / m^2 (5,65 \text{ cm}^2)$

Pour la console :

$$\left. \begin{array}{l} \text{en Travée } 0,1 \\ \text{aux appuis } 0,1,2 \end{array} \right\} 3 T_{10} / m^2 (2,35 \text{ cm}^2)$$

14

. Vérification des contraintes :

- En travées :

$$A = 6,61 \quad ; \quad M = 2994,68 \text{ Kg.m.}$$

$$\hat{\omega} = \frac{100 \cdot A}{b \cdot h} = \frac{100 \cdot 6,61}{100 \cdot 18} = 0,367 \rightarrow (K = 38,4; E = 0,9064)$$

$$\bar{\sigma}_a = \frac{M}{A \cdot h} = \frac{299468}{6,61 \cdot 0,9064 \cdot 18} = 2776,80 \text{ Kg/cm}^2 < \bar{\sigma}_b = 2800 \text{ Kg/cm}^2$$

$$\sigma_b' < \bar{\sigma}_b'$$

Vérifié.

- Aux appuis :

$$A = 10,77 \text{ cm}^2 \quad ; \quad M = 4477,20 \text{ Kg.m.}$$

$$\hat{\omega} = \frac{100 \cdot 10,77}{100 \cdot 18} = 0,5984 \rightarrow (E = 0,8996; K = 34,8)$$

$$\bar{\sigma}_a = \frac{4477,20 \cdot 10^2}{10,77 \cdot 0,8996 \cdot 18} = 2567,25 \text{ Kg/cm}^2 < \bar{\sigma}_a$$

$$\sigma_b' < \bar{\sigma}_b'$$

Vérifié

Condition de non fragilité

$$A \geq 0,69 \cdot b \cdot h \frac{\bar{\sigma}_b}{\sigma_{en}} \Leftrightarrow A \text{ doit être supérieur ou égal à } 1,74 \text{ cm}^2$$

$$A_{min} = 3,51 \text{ cm}^2 > 1,74 \text{ cm}^2 \text{ c'est vérifié.}$$

Condition de flèche : Art (61-21) CCBA 68

$$\frac{A}{b \cdot h} = \frac{9,99}{100 \cdot 18} = 0,0055 < \frac{43}{\sigma_{en}(\text{bars})} = \frac{43}{4120} = 0,0104 \text{ vérifié.}$$

- Aciers transversaux :

$$R_A = 3493,5 \text{ Kg} \quad ; \quad R_B = 1277,09 \text{ Kg.} \rightarrow T_{max} = 3493,5 \text{ Kg.}$$

- Contrainte de cisaillement maximale

$$\begin{aligned} \bar{\tau}_b &= \frac{T_{max}}{b \cdot z} = \frac{3493,5}{100 \cdot \frac{7,18}{8}} = 2,82 \text{ Kg/cm}^2 \\ \bar{\tau}_b &= 1,15 \bar{\sigma}_b = 1,15 \cdot 5,9 = 6,78 \text{ Kg/cm}^2 \end{aligned} \left. \right\} \Rightarrow \bar{\tau}_b < \bar{\tau}_b \text{ vérifié}$$

Les armatures transversales ne sont pas nécessaires, mais nous disposons des aciers

[construction]

- Vérification à la fissuration

$$\sigma_f = \frac{K n}{\phi} \frac{\hat{\omega}_f}{1+10\hat{\omega}_f} \quad (K = 1,510^6; n = 1,6 \text{ (H-A); } \phi = 14 \text{ mm})$$

$$\hat{\omega}_f = \frac{A}{B_f} = \frac{9,99}{100 \cdot 4} = 0,0249 \quad \text{d'où} \quad \sigma_f = 3417,59 \text{ Kg/cm}^2$$

$$\bar{\sigma}_a = 2800 \text{ Kg/cm}^2 < \max(\sigma_f, \bar{\sigma}_2) \Rightarrow \bar{\sigma}_a = \sigma_a \text{ vérifié}$$

15

Verification à l'effort tranchant

$$T + \frac{M}{Z} = 3493,5 + \frac{4477,2}{\frac{7}{8} \cdot 18} = 6336,16 \text{ Kg} < A \bar{\sigma}_a = 9828 \text{ Kg}$$

Verifiée

16

CHARGES.

charges permanentes : "G"

* Plancher terrasse

- gravier roulé 4cm	\rightarrow	$20 \times 4 = 80 \text{ Kg/m}^2$
- étancheité multicouches	\rightarrow	$= 12 \text{ Kg/m}^2$
- forme de pente : 2%	\rightarrow	$= 253 \text{ Kg/m}^2$
- liège (4cm)	\rightarrow	$2 \times 4 = 8 \text{ Kg/m}^2$
- écran Pare-Vapeur	\rightarrow	$= 5 \text{ Kg/m}^2$
- dalle de compression 4cm	$\}$	$= 875 \text{ Kg/m}^2$
- plancher préfabriqué 16cm		
- Induit + plâtre (1cm)	\rightarrow	$1700 \times 0,01 = 17 \text{ Kg/m}^2$

$$G_1 = 650 \text{ Kg/m}^2$$

* Plancher courant

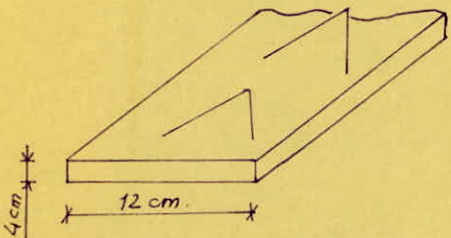
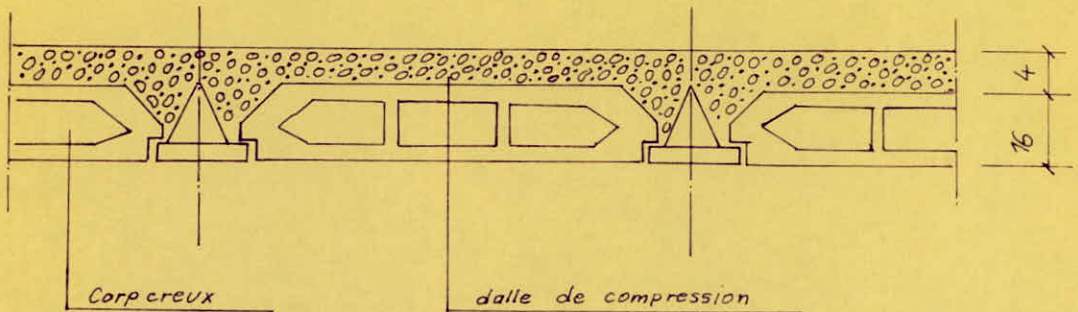
- dalle de compression 4cm	\rightarrow	$= 875 \text{ Kg/m}^2$
- Plancher préfabriqué 16cm		
- carrelage 20.20.8	\rightarrow	$= 44 \text{ Kg/m}^2$
- Sable 3cm	\rightarrow	$1700 \times 0,03 = 51 \text{ Kg/m}^2$
- Enduit plâtre 1cm	\rightarrow	$= 17 \text{ Kg/m}^2$
- cloison		$= 75 \text{ Kg/m}^2$

$$G_2 = 462 \text{ Kg/m}^2$$

* R.D.C

$$- G_2 + Mortier déposé (2cm) : 40 \text{ Kg/m}^2 \rightarrow G_3 = 502 \text{ Kg/m}^2$$

CALCUL DES POUTRELLES



Plancher à corps creux 16+4

Les poutrelles sont préfabriqués, elles sont calculées sous les sollicitations du premier genre $G + 1,2P$.

La surface revenant à chaque poutrelle est $0,65 \text{ m} = 5$

Les poutrelles seront disposées dans le sens de la plus petite portée.
Le calcul de poutrelles se fait en deux étapes.

Première étape :

Avant le coulage du béton (table de compression), la poutrelle est considérée comme simplement appuyée ; sous l'effet de son poids propre, du hourdis et de la charge due à l'ouvrier

Deuxième étape :

Après le coulage et durcissement de la table de compression la poutrelle travaillera comme une poutre en "T" et continue ; reposant sur plusieurs appuis.

18

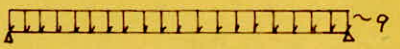
1. Calcul des poutrelles du plancher terrasse

Première étape

Hourdis plus table de compression : 275 Kg/ml

Surcharge ouvrier : 1,2 · 100 = 120 Kg/ml

$$q = G + 1,2P = 370 \text{ Kg/ml.}$$



Moment fléchissant :

$$M_o = q \frac{l^2}{8} \quad l = 3 \text{ m} : M_o = 416,25 \text{ Kg.m.} \quad l = 3,3 : M_o = 503,7 \text{ Kg.m.}$$

Effort tranchant :

$$T = q \cdot \frac{l}{2} \quad l = 3 \text{ m} : T = 553 \text{ Kg} \quad l = 3,3 \text{ m} : T = 610,5 \text{ Kg.}$$

Calcul des armatures :

$$\sigma_f = \frac{n \cdot M}{\bar{\sigma}_a \cdot b \cdot h^2} \quad h = 2 \text{ cm.} \quad l = 3 \text{ m.} : \sigma_f = 4,6456 \rightarrow K = 1,042$$

$$b = 12 \text{ cm.} \quad \sigma_b = \frac{\bar{\sigma}_a}{K} = \frac{2800}{1,042} = 2687 \text{ Kg/cm}^2$$

$$l = 3,3 \text{ m.} : \sigma_f = 5,6216 \rightarrow K = 0,9 ; \sigma_b' = 2920 \text{ Kg/cm}^2$$

$\sigma_b' > \bar{\sigma}_b'$, les armatures comprimées sont nécessaires, mais, à cause de la faible hauteur de poutrelles (4 cm) ces armatures ne pourront pas être placées. On prévoit alors des échafaudages destinés à aider les poutrelles à supporter les charges et les surcharges avant le coulage du béton.

Deuxième étape :

Calcul de la poutrelle en section en "T" continue

Calcul de la largeur de la table de compression (CCBA Art 23.3)

$$1. b_1 = \frac{b - b_0}{2} \leq \frac{l}{2} = \frac{53}{2} = 26,5 \text{ cm.} \quad (l : \text{distance entre poutrelles})$$

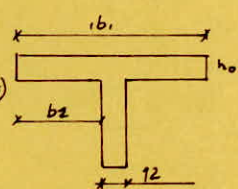
$$2. b_1 = \frac{b - b_0}{2} \leq \frac{l}{10} = \frac{275}{10} = 27,5 \text{ cm.} \quad (l : \text{portée de la poutrelle entre nus.})$$

$$3. b_1 = \frac{b - b_0}{2} \leq (6 \div 8) h_0 = 32 \text{ cm.}$$

On voit que la première condition est plus restrictive on prendra donc :

$$b_1 = 26,5 \text{ cm.} \quad b = 2b_1 + b_0 = 65 \text{ cm.}$$

La comparaison entre la charge q (terrasse) et q (étage courant) donne une faible différence donc on calculera une seule fois avec la charge q_{max} .



$$\begin{aligned} \text{Etage courant : } G + 1,2P &= 672 \text{ Kg/m}^2 \\ \text{Terrasse : } G + 1,2P &= 770 \text{ Kg/m}^2 \end{aligned} \quad \Rightarrow \quad q_{max} = 770 \text{ Kg/m}^2.$$

Etude des Poutrelles.

La charge qui revient à la poutrelle : $P = q_{max} \times 0,65 = 500,5 \text{ Kg/ml.}$

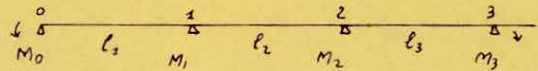
Pour le calcul des poutrelles on utilise la formule des trois moments.

Hypothèses de la formule :

L'origine des coordonnées est l'appui de gauche

L'élasticité de la poutre continue ne peut présenter qu'une seule pente sur un appui

Poutrelle à trois travée.



travée (0-1)

$$M_0 \ell_1 + 2M_1(\ell_1 + \ell_2) + M_2 \ell_2 = -9 \frac{\ell_1^3}{4} - 9 \frac{\ell_2^3}{4}$$

travée (1-2)

$$M_0 = M_3 = 0$$

$$\ell_2 = \ell_3 = 3,3 \text{ m}$$

$$M_1 \ell_2 + 2M_2(\ell_2 + \ell_3) + M_3 \ell_3 = -9 \frac{\ell_2^3}{4} - 9 \frac{\ell_3^3}{4}$$

$$\ell_1 = 3 \text{ m}$$

on a un système d'équation

$$2M_1(\ell_1 + \ell_2) + M_2 \ell_2 + \frac{9}{4}(\ell_1^3 + \ell_2^3) = 0$$

$$M_1(\ell_1) + 2M_2(\ell_1 + \ell_2) + M_3 \ell_3 + \frac{9}{4}(\ell_2^3 + \ell_3^3) = 0$$

$$2M_1(6,3) + M_2(3,3) + 500,5 \times 62,937 \frac{9}{4} = 0$$

$$2M_1(6,3) + 50,4M_2 + 34337,804 = 0$$

$$\text{on trouve } M_1 = -476,28 \text{ Kg.m.}, M_2 = -561,843 \text{ Kg.m.}$$

Moment en travée

$$M = M_1 + M_2 + \frac{M_2 - M_1}{\ell_1} \cdot x \quad ; \quad M = 9 \frac{\ell_1}{2} x - 9 \frac{x^2}{2}$$

travée (0-1)

$$M = 9 \frac{\ell_1}{2} x - 9 \frac{x^2}{2} + M_0 + \frac{M_1 - M_0}{\ell_1} x = 9 \frac{\ell_1}{2} x - 9 \frac{x^2}{2} + \frac{M_1}{\ell_1} x$$

$$T = \frac{dM}{dx} = 9 \frac{\ell_1}{2} - 9x + \frac{M_1}{\ell_1}$$

On trouve M_{\max} pour effort tranchant $T=0$

$$T=0 \Rightarrow x = \left(\frac{M_1}{\ell_1} + 9 \frac{\ell_1}{2} \right) \frac{1}{9} = \frac{M_1}{9 \cdot \ell_1} + \frac{\ell_1}{2}$$

$$x = -\frac{476,28}{3 \cdot 500,5} + \frac{3}{2} = 1,18 \text{ m.}$$

$$M_{1,\max} = 350,1 \text{ Kg.m.}$$

travée (1-2)

le calcul est le même que pour travée (0-1) on trouve :

$$M_{2,\max} = 163 \text{ Kg.m.}$$

traveé (2-3)

$M_3^{\oplus} \text{ max} = 429,34 \text{ Kg.m. ; avec } M_0 = M_3 = 0,2 M_t \text{ max} = 0,2 \times 429,34 = 85,87 \text{ Kg.m.}$
Pour les autres poutrelles on donnera uniquement les résultats.

Poutrelle à deux traveés.

$$M_1 = -625 \text{ Kg.m.}$$

Moment entraveé :

$$M_{t_1}^{\oplus} \text{ max} = 294 \text{ Kg.m. ; } M_{t_1}^{\ominus} = 404,64 \text{ Kg.m.}$$

$$M_0 = M_3 = 0,2 M_t \text{ max} = -80,93 \text{ Kg.m.}$$

Poutrelle à une seule traveé :

$$M_t = \frac{g \ell^2}{8} = 563,06 \text{ Kg.m.} \quad M_0 = M_1 = 0,2 M_t = 112,61 \text{ Kg.m.}$$

Poutrelle à sept traveés :

$$M_1 = -671,64 \text{ Kg.m.} \quad M_2 = -408,812 \text{ Kg.m.} \quad M_3 = -418,33 \text{ Kg.m.}$$

$$M_0 = M_8 = 134,33 \text{ Kg.m.}$$

$$M_{t_1} = 277,31 \text{ Kg.m.} \quad T_0^d = 526,87 \text{ Kg.} \quad T_1^g = -974,63 \text{ Kg.}$$

$$M_{t_2} = 147,42 \text{ Kg.m.} \quad T_1^d = 1373,58 \text{ Kg.} \quad T_2^g = -278,06 \text{ Kg.}$$

$$M_{t_3} = 267,74 \text{ Kg.m.} \quad T_2^d = 1107,87 \text{ Kg.} \quad T_3^g = -543,77 \text{ Kg.}$$

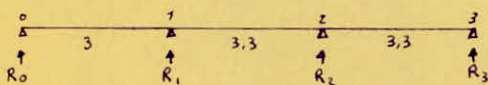
$$M_{t_4} = 144,70 \text{ Kg.m.} \quad T_3^d = 750,75 \text{ Kg.} \quad T_4^g = -750,75 \text{ Kg.}$$

Calcul des réactions :

Poutrelle à trois traveés.

charge qui revient à la poutrelle : cas le plus défavorable étage courant

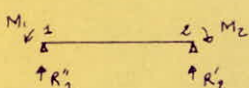
$$P = 500,5 \text{ Kg/ml.}$$



$$\sum M/0 = 0 : R'_1 \cdot 3 - 500,5 \cdot \frac{3^2}{2} - M_1 = 0$$

$$M_1 = 476,28 \text{ Kg.m.} \rightarrow R'_1 = 909,51 \text{ Kg/ml.}$$

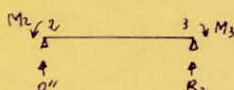
$$\sum M/1 = 0 : R_0 \cdot 3 + M_1 - 500,5 \cdot \frac{3^2}{2} = 0 \rightarrow R_0 = 591,99 \text{ Kg/ml.}$$



$$\sum M/1 = 0 : R'_2 \cdot 3,3 - M_2 + M_1 = 0$$

$$M_2 = 561,84 \text{ Kg.m.} \rightarrow R'_2 = 815,7 \text{ Kg.m.}$$

$$\sum M/2 = 0 : R''_2 \cdot 3,3 - M_2 - 500,5 \cdot \frac{3,3^2}{2} + M_1 = 0 \rightarrow R''_2 = 799,90 \text{ Kg/ml.}$$



$$\sum M/2 = 0 : R_3 \cdot 3,3 - 500,5 \cdot 3,3^2/2 + M_2 = 0 \rightarrow R_3 = 655,57 \text{ Kg/ml.}$$

$$\sum M/3 = 0 : R''_2 \cdot 3,3 - M_2 - 500,5 \cdot 3,3^2/2 = 0 \rightarrow R''_2 = 996,70 \text{ Kg/ml.}$$

$$R_0 = 591,99 \text{ Kg/ml}$$

$$R_1 = R'_1 + R''_1 = 1709,41 \text{ Kg/ml}$$

$$R_2 = R'_2 + R''_2 = 1847,85 \text{ Kg/ml}$$

$$R_3 = 655,57 \text{ Kg/ml}$$

Pour le calcul de réaction des autres poutrelles on donnera que les résultats.

Poutrelle à 2 travées

$$R_0 = 524,41 \text{ Kg/ml}$$

$$R_1 = 1974,30 \text{ Kg/ml}$$

$$R_2 = 636,43 \text{ Kg/ml}$$

Poutrelle à 1 seule travée

$$R_0 = R_1 = 750,75 \text{ Kg/ml}$$

Poutrelle à sept travées

$$R_0 = 526,87 \text{ Kg/ml}$$

$$R_1 = 1880,10 \text{ Kg/ml}$$

$$R_2 = 1569,12 \text{ Kg/ml}$$

$$R_3 = 1579,46 \text{ Kg/ml}$$

$$R_0 = R_7$$

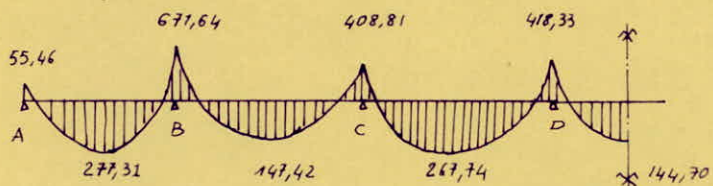
$$R_1 = R_6$$

$$R_2 = R_5$$

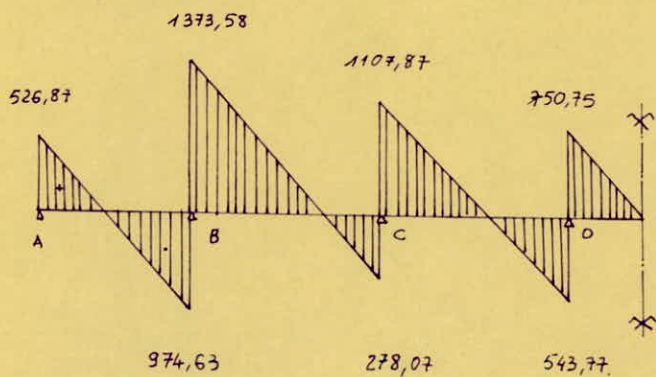
$$R_3 = R_4$$

Diagramme des efforts pour la poutrelle à sept travées

Moment fléchissant : (kg.m.)



Effort tranchant : Kg



Carracteristiques geometriques :

$$b_0 = 12 \text{ cm} ; h_0 = 4 \text{ cm} ; b_1 = 26,5 \text{ cm} ; b = 65 \text{ cm}$$

On prend $d = 4 \text{ cm}$. (enrobage)

Calcul des armatures longitudinales :

1. Au appuis :

La section est rectangulaire $b \times h_t$.

a) Poutrelles à sept travées :

$$M_B = 671,64 \text{ Kg.m.}$$

$$M_B = \frac{15 \cdot M_B}{\bar{\sigma}_a b_0 h^2} = \frac{15 \cdot 671,64 \cdot 10^2}{2800 \cdot 12 \cdot 182} = 0,0925 \rightarrow \begin{cases} K = 26 \\ E = 0,8780 \\ d = 0,3659 \end{cases}$$

$$M_C = M_D = \frac{15 \cdot 418,33 \cdot 10^2}{2800 \cdot 12 \cdot 182} = 0,0576 \rightarrow \begin{cases} K = 35 \\ E = 0,9000 \\ d = 0,3000 \end{cases}$$

$$A_{\min} = 0,3\% B_f = 0,003 \cdot 12 \cdot 4 = 0,144 \text{ cm}^2$$

$$A_B = \frac{M_B}{\bar{\sigma}_a E h} = \frac{671,64 \cdot 10^2}{2800 \cdot 0,8780 \cdot 18} = 1,518 \text{ cm}^2 > A_{\min}$$

On prend : 4 T8 ($2,01 \text{ cm}^2$)

$$A_C = A_D = \frac{418,33}{2800 \cdot 0,9 \cdot 18} = 0,922 \text{ cm}^2 > A_{\min}.$$

On prend : 2 T8 ($1,00 \text{ cm}^2$)

$$\bar{\sigma}_b' = \frac{\bar{\sigma}_a}{K} = \frac{2800}{26} = 107,69 \text{ Kg/cm}^2 < \bar{\sigma}_b' = 137, \text{ Kg/cm}^2$$

donc les armatures comprimées ne sont pas nécessaires

b) Poutrelles à trois travées .

$$M_1 = 476,28 \text{ Kg.m.} ; M_2 = 561,84 \text{ Kg/cm}^2$$

$$M_1 = 0,0655 \rightarrow (K = 32,4 ; E = 0,8945 ; d = 0,3165)$$

$$M_2 = 0,0733 \rightarrow (K = 29,2 ; E = 0,8869 ; d = 0,3394)$$

$$A_1 = 1,056 \text{ cm}^2 > A_{\min}. \quad \text{on prend } 3 T_8 (A = 1,5 \text{ cm}^2)$$

$$A_2 = 1,256 \text{ cm}^2 > A_{\min} \quad \text{on prend } 3 T_8 (A = 1,5 \text{ cm}^2)$$

$$\bar{\sigma}_b' = \frac{2800}{29,2} = 95,89 \text{ Kg/cm}^2 < \bar{\sigma}_b' : \text{Les aciers comprimés ne sont pas nécessaires.}$$

c) Poutrelles à deux travées :

$$M_1 = 625 \text{ Kg.m.}$$

$$M_1 = 0,0864 \rightarrow (E = 0,8815 ; K = 27,2 ; d = 0,3555)$$

$$A_1 = 1,406 \text{ cm}^2 > A_{\min} \quad \text{on prend } 3 T_8 (A = 1,5 \text{ cm}^2)$$

$$\bar{\sigma}_b' = \bar{\sigma}_a / K = 102,94 \text{ Kg/cm}^2 < \bar{\sigma}_b' : \text{Les aciers comprimés ne sont pas nécessaires.}$$

2) En traveé :

a) Poutrelle à sept travées :

- travée (0-1)

$$M_1 = 277,31 \text{ Kg.m.}$$

$$\frac{M_1}{I_1} = \frac{15 \cdot 277,31 \cdot 10^2}{2800 \cdot 65 \cdot 182} = 0,00705 \rightarrow (K=117; E=0,9621; \alpha=0,1136)$$

$$A_{min} = 0,3\% B_f = 65 \cdot 4 \cdot 0,003 = 0,78 \text{ cm}^2.$$

$$y = \alpha h = 0,1136 \cdot 18 = 2,044 \text{ cm} < h_0$$

\Rightarrow Section rectangulaire b.h.t., car l'axe neutre tombe dans la table de compression.

$\sigma_b' = \bar{\sigma}_a / K = 23,93 \text{ Kg/cm}^2 < \bar{\sigma}_b'$: Les aciers comprimés n'ont pas nécessaires.

$$A = \frac{M_1}{\bar{\sigma}_a \cdot E \cdot h} = 0,572 \text{ cm}^2 \quad \text{on prend: } 3T_8 (1,50 \text{ cm}^2).$$

- travée (1-2)

$$M_2 = 147,92 \text{ Kg.m}$$

$$\frac{M_2}{I_2} = 0,0037 \rightarrow (K=164; E=0,9721; \alpha=0,0838)$$

$$y = \alpha h = 1,508 < h_0 = 4 \text{ cm.} \Rightarrow \text{section rectangulaire b.h.t.}$$

$\sigma_b' = 17,07 \text{ Kg/cm}^2 < \bar{\sigma}_b'$: Les aciers comprimés n'ont pas nécessaires.

$$A = 0,30 \text{ cm}^2 \quad \text{on adoptera } 3T_8 (1,5 \text{ cm}^2)$$

- travée (2-3)

$$M = 267,74 \text{ Kg.m}$$

$$\frac{M}{I_3} = 0,0068 \rightarrow (K=119; E=0,9627; \alpha=0,0827)$$

$$y = \alpha h = 2,01 < h_0 \Rightarrow \text{section rectangulaire b.h.t.}$$

$\sigma_b' = 23,53 \text{ Kg/cm}^2 < \bar{\sigma}_b'$: Les aciers comprimés n'ont pas nécessaires

$$A = 0,552 \quad \text{on adoptera } 3T_8 (1,50 \text{ cm}^2).$$

- travée 3-4

$$M = 144,70 \text{ Kg.m.}$$

$$\frac{M}{I_4} = 3,68 \cdot 10^{-3} = 0,0036 \rightarrow (K=166; E=0,9724; \alpha=0,0829)$$

$$y = \alpha h = 1,49 \text{ cm} < h_0 \Rightarrow \text{section rectangulaire b.h.t.}$$

$\sigma_b' = \frac{\bar{\sigma}_a}{K} = 16,867 \text{ Kg/cm}^2 < \bar{\sigma}_b'$: Les aciers comprimés n'ont pas nécessaires

$$A = 0,295 \text{ cm}^2 \quad \text{On prendra } 3T_8 (1,5 \text{ cm}^2)$$

Les autres travées sont les symétriques de celles calculées, donc respectivement même ferrailage

24

b) Poutrelles à trois travées

- travée (0-1)

$$M = 350,1 \text{ Kg.m}$$

$$M_f = 0,0089 \rightarrow (K = 103; E = 0,9576; \alpha = 0,1271)$$

$$y = \alpha h = 0,1271 \times 18 = 2,28 \text{ cm} < h_0 \Rightarrow \text{section rectangulaire } b \times h_t.$$

$$\sigma_b' = \frac{\bar{\sigma}_a}{K} = 27,18 \text{ Kg/cm}^2 < \bar{\sigma}_b' : \text{Les aciers comprimés ne sont pas nécessaires.}$$

$$A = 0,725 \text{ cm}^2 \rightarrow \text{On prend } 3T_8 \quad (1,50 \text{ cm}^2)$$

- travée (1-2)

$$M = 163 \text{ Kg.m.}$$

$$M_f = 0,0041 \rightarrow (K = 156; E = 0,9708; \alpha = 0,0877)$$

$$y = \alpha h = 1,57 \text{ cm} < h_0 \Rightarrow \text{section rectangulaire } b \cdot h_t.$$

$$\sigma_b' = \frac{2800}{156} < \bar{\sigma}_b' : \text{Les aciers comprimés ne sont pas nécessaires.}$$

$$A = 0,333 \text{ cm}^2 \quad \text{On prend } 3T_8 \quad (1,50 \text{ cm}^2)$$

- travée (2-3)

$$M = 429,34$$

$$M_f = 0,0109 \rightarrow (K = 92; E = 0,9533; \alpha = 0,1402)$$

$$y = \alpha h = 2,52 \text{ cm} < h_0 \Rightarrow \text{section rectangulaire } b \cdot h_t$$

$$\sigma_b' = 30,4 \text{ Kg/cm}^2 < \bar{\sigma}_b' : \text{Les aciers comprimés ne sont pas nécessaires.}$$

$$A = 0,893 \text{ cm}^2 \quad \text{On prend } 3T_8 \quad (1,50 \text{ cm}^2)$$

c) Poutrelle à 2 travées :

- travée (0,1)

$$M = 294 \text{ Kg.m.}$$

$$M_f = 0,0074 \rightarrow (K = 114; E = 0,9612; \alpha = 0,1163)$$

$$y = \alpha h = 2,09 \text{ cm} < h_0 \Rightarrow \text{section rectangulaire } b \cdot h_t.$$

$$\sigma_b' = 24,6 < \bar{\sigma}_b' \Rightarrow \text{Les aciers comprimés ne sont pas nécessaires.}$$

$$A = 0,606 \text{ cm}^2 \quad \text{On prendra } 3T_8 \quad (1,50 \text{ cm}^2)$$

- travée (1-2)

$$M = 404,64 \text{ Kg.m.}$$

$$M_f = 0,0103 \rightarrow (K = 95; E = 0,9545; \alpha = 0,1364)$$

$$y = \alpha h = 2,045 \text{ cm} < h_0 \Rightarrow \text{section rectangulaire } b \cdot h_t.$$

$$\sigma_b' = 2800/g_s < \bar{\sigma}_b' : \text{Les aciers comprimés ne sont pas nécessaires}$$

$$A = 0,84 \text{ cm}^2 \quad \text{On prendra } 3T_8 \quad (1,50 \text{ cm}^2)$$

d) Poutrelle à une seule travée

$$M = 563,06 \text{ Kg.m.}$$

$$\gamma = 0,0143 \rightarrow (K = 79; \alpha = 0,1596; \varepsilon = 0,9168)$$

$y = \alpha h < h_0 \Rightarrow$ section rectangulaire $b \times h$

$$\sigma_b' = 35,44 < \bar{\sigma}_b \quad \text{Les aciers comprimés n'ont pas nécessaires}$$

$$A = 1,17 \text{ cm}^2 \quad \text{On prend } 3T_8 (1,50 \text{ cm}^2)$$

Vérification de contraintes

- En travéé :

$$\sigma_a = \frac{M}{A \cdot h \cdot E} = \frac{563,06^2}{2,01 \cdot 0,9363 \cdot 18} = 1662,15 \text{ Kg/cm}^2 < \bar{\sigma}_a = 2800 \text{ Kg/cm}^2$$

- Aux appuis :

$$\sigma_a = \frac{M}{A \cdot h} = \frac{671,6410^2}{2,01 \cdot 0,8780 \cdot 18} = 2114,33 \text{ Kg/cm}^2 < \bar{\sigma}_a = 2800 \text{ Kg/cm}^2.$$

Vérification à la flèche (CCBA Art. 58. 58.4)

$$-1) \frac{h_t}{l} = \frac{20}{3,3} = 0,060 > \frac{1}{22,5} = 0,044 \quad \text{Vérifie}$$

$$-2) \frac{h_t}{l} = 0,060 > \frac{1}{15} \frac{M_t}{M_b} = \frac{1}{15} \frac{404,6410^2}{563,0610^2} = 0,048$$

$$-3) \frac{A}{b_0 \cdot h} = \frac{1,15}{12 \cdot 18} \leq \frac{36}{9200} = 0,00857$$

Donc : la flèche est vérifiée.

- Condition de non-fragilité.

$$A \geq b_0 \cdot h \cdot \psi_b \frac{\bar{\sigma}_b}{\bar{\sigma}_a} \left(\frac{h_t}{h} \right)^2 = 12 \cdot 18 \cdot 0,54 \left(\frac{20}{18} \right)^2 \cdot \frac{5,9}{2800} = 0,303 \text{ cm}^2$$

c'est vérifié en travéé et aux appuis

- Condition de non entraînement des barres

- Contrainte d'adhérence

$$\sigma_d = \frac{T_{max}}{n.P.3} = \frac{1373,58}{3 \cdot \pi \cdot 0,8 \cdot \frac{7}{8} \cdot 18} = 9,26 \text{ Kg/cm}^2$$

$$\bar{\sigma}_d = 2 \psi_d \cdot \bar{\sigma}_b = 2 \cdot 1,5 \cdot 5,9 = 17,70 \text{ Kg/cm}^2$$

$$\psi_d = 1,5 \text{ H.A. (coeff de scellement)}$$

$$\Rightarrow \sigma_d < \bar{\sigma}_d \quad \text{c'est vérifié.}$$

Armatures transversales.

$$\bar{\sigma}_b = \frac{\bar{\sigma}_a}{K} = \frac{2800}{26} = 107,69 \text{ Kg/cm}^2 < \bar{\sigma}_b' = 137 \text{ Kg/cm}^2$$

$$\bar{\epsilon}_b = \frac{T_{\max}}{b_0 \cdot z} = \frac{1373,58}{12 \cdot \frac{7}{8} \cdot 18} = 7,26 \text{ Kg/cm}^2$$

$$\bar{\epsilon}_b = 3,5 \bar{\sigma}_b = 3,5 \cdot 5,9 = 20,65 \text{ Kg/cm}^2$$

$\bar{\epsilon}_b < \bar{\epsilon}_b'$ vérifié On prend un cadre ϕ_8 (Fe E 24)

Condition aux appuis de rive $M=0$.

$$A_s \cdot \frac{T_{\max} + \frac{M}{z}}{\bar{\sigma}_a} = \frac{1373,58}{2800} = 0,49 \text{ cm}^2 \quad \text{vérifié.}$$

Contrainte de traction admissible des armatures transversales.

$$\rho_a = 1 - \frac{\bar{\epsilon}_b}{9 \bar{\sigma}_b} = 1 - \frac{7,26}{9 \times 5,9} = 0,86 > \frac{2}{3} = 0,66$$

$$\Rightarrow \bar{\sigma}_{a_t} = \rho_a \sigma_{en} = 0,86 \cdot 2400 = 2064 \text{ Kg/cm}^2.$$

Ecartement admissibles.

$$\bar{t} = \max(0,2h = 3,6 \text{ cm} \text{ et } h(1 - \frac{0,3 \bar{\epsilon}_b}{\bar{\sigma}_b}) = 11,35 \text{ cm})$$

$$t = \frac{A_t \bar{\sigma}_{a_t} \cdot z}{T} = \frac{0,5 \cdot 2064 \cdot \frac{7}{8} \cdot 18}{1373,58 \cdot 8} = 11,83. \quad \text{on prend } t = 10 \text{ cm.}$$

Le premier cours se trouve à une distance $\frac{t}{2} = 5 \text{ cm}$.

Vérification à la fissuration

$$\hat{\omega}_f = \frac{A}{B_f} = \frac{1,5}{12 \cdot 4} = 0,03$$

$$\sigma_1 = \frac{K \eta \hat{\omega}_f}{\phi \cdot (1+10 \hat{\omega}_f)} = \frac{1,5 \cdot 10^6 \cdot 1,6 \cdot 0,03}{0,8 \cdot (1+0,3)} = 0,06923 \cdot 10^6 \text{ Kg/cm}^2$$

$$\sigma_2 = 2,4 \left(\frac{\pi \cdot K \bar{\sigma}_b (\text{bars})}{\phi} \right)^{1/2} = 2,4 \left(\frac{115 \cdot 10^6 \cdot 1,6 \cdot 5,8}{0,8} \right)^{1/2} = 10697,12 \text{ Kg/cm}^2$$

$$\bar{\sigma}_a = 2800 \text{ Kg/cm}^2 < \max(\sigma_1, \sigma_2).$$

Etude des planchers dalles.

On se donne une hauteur de dalle $h = e = 15 \text{ cm}$.

Les dalles seront calculées sous la charge $G + 1,2P$.

Dalle au dessus des escaliers

Calcul de G

- Poids propre de la dalle :	$2500 \cdot 0,15$	375 Kg/cm^2
- différentes couches :		375 Kg/m^2
<hr/>		$G = 750 \text{ Kg/m}^2$

$$q = G + 1,2P = 870 \text{ Kg/m}^2 \quad (P = 100 \text{ Kg/m}^2)$$

$$l_x = 275 \text{ cm}$$

$$l_y = 400 \text{ cm}$$

$$\rho = \frac{l_x}{l_y} = \frac{275}{400} = 0,687 > 0,4$$

: La dalle porte sur les deux sens, elle sera armée dans le deux directions d'après le(GCBA 68); on détermine les moments fléchissants au centre du panneau par bande de largeur unité.

$$M_{ox} = M_x \cdot q l_x^2 \quad M_x = 0,0751$$

$$M_{oy} = M_y \cdot M_{ox} \quad M_y = 0,5260$$

q : charge uniformément répartie par unité d'aire et couvrant entièrement le panneau.

M_x, M_y donnés en fonction de $\rho = l_x/l_y$

$$M_{ox} = 0,0751 \cdot 870 \cdot 2,75^2 = 494,11 \text{ Kg.m.}$$

$$M_{oy} = 259,90 \text{ Kg.m.}$$

en travée ($M_{tx} = 0,85 M_{ox} = 419,99 \text{ Kg.m.}; M_{ty} = 0,85 M_{oy} = 220,91 \text{ Kg.m.}$) aux appuis ($M_{ax} = 0,3 M_{ox} = 0,3 \cdot 494,11 = 148,23 \text{ Kg.m.}; M_{ay} = 0,3 M_{oy} = 77,97 \text{ Kg.m.}$)

Effort tranchant arrivant sur chacune des côtes est uniformes à pour valeur :

$$T_x = \frac{l_y^4}{l_y^4 + l_x^4} \cdot q \frac{l_x}{2} \quad T_y = \frac{l_x^4}{l_x^4 + l_y^4} \cdot q \frac{l_y}{2}$$

$$\text{on Trouve : } T_x = 377,80 \text{ Kg} \quad T_y = 317,74 \text{ Kg}$$

$$\text{moment isostatique: } M_o = q \frac{l^2}{8} = \frac{870 \cdot 2,75^2}{8} = 1740 \text{ Kg.m}$$

Déterminons le moment maximal susceptible d'être équilibré par cette dalle sans armatures comprimées et pour laquelle :

$$\bar{\sigma}_b = 137,7 \text{ Kg/cm}^2$$

$$\bar{\sigma}_a = 2800 \text{ Kg/cm}^2$$

Le moment résistant pour le béton d'après P. Chaton :

$$\text{est : } M_{rb} = \gamma' \bar{\sigma}_b b \bar{h}^2$$

$$\text{on doit vérifier } M_{rb} > M_o$$

Calcul de M_{rb} :

$$K = \frac{\bar{\sigma}_a}{\bar{\sigma}_{b'}^{'}} = \frac{2800}{137,7} = 20,33 \quad (\gamma = 0,1345; \gamma' = 0,1823; E = 0,8585; \alpha = 0,4247)$$

$$\text{d'où } M_{rb} = 0,1823 \cdot 137,7 \cdot 100 \cdot 15^2 = 5648,11 \text{ Kg.m} > M_o \text{ vérifié.}$$

Donc les moments M_{tx} et M_{ty} étant faibles devant M_o , on ferraillera notre dalle suivant M_o

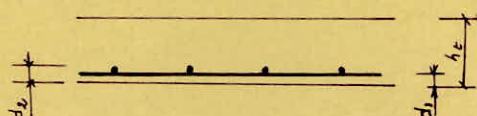
en travée:

On prend $M_t = M_o$ (cas défavorable)

$$h_t = 15 \text{ cm}$$

$$d_1 = 2,5 \text{ cm}$$

$$d_2 = 3,5 \text{ cm}$$



$$\text{hauteur utile (sens porteur): } h_1 = 15 - 3,5 = 12,5 \text{ cm.}$$

$$\text{hauteur utile (sens répartition): } h_2 = 15 - 3,5 = 11,50 \text{ cm.}$$

- sens répartition (y, y')

$$\gamma = n \frac{M_t}{\bar{\sigma}_a \cdot b \cdot h_1^2} = \frac{15 \cdot 1740 \cdot 10^2}{2800 \cdot 100 \cdot 12,5^2} = 0,0595 \rightarrow \begin{cases} K = 34,4 \\ E = 0,8988 \\ \alpha = 0,3036 \end{cases}$$

$$A_y = \frac{1740 \cdot 10^2}{2800 \cdot 0,8988 \cdot 12,5} = 5,53 \text{ cm}^2 \quad 5 T_{12}/m \quad (5,65 \text{ cm}^2)$$

- sens porteur (x, x')

$$\gamma = \frac{15 \cdot 1740 \cdot 10^2}{2800 \cdot 100 \cdot 11,5^2} = 0,0703 \rightarrow \begin{cases} K = 31 \\ E = 0,8913 \\ \alpha = 0,3261 \end{cases}$$

$$A_x = \frac{1740 \cdot 10^2}{2800 \cdot 0,8913 \cdot 11,5} = 9,43 \text{ cm}^2 \quad 9 T_{12}/m \quad (10,18 \text{ cm}^2)$$

$$\bar{\sigma}_b' = \frac{\bar{\sigma}_a}{K} = \frac{2800}{31} = 90,32 \text{ Kg/cm}^2 < \bar{\sigma}_b' \Rightarrow$$

Les armatures comprimées ne sont pas nécessaires.

Av appuis

On prend $M_a = 0,3 M_o = 0,3 \cdot 1740 = 522 \text{ Kg.m}$.

- calcul des chapeaux:

- sens répartition (y, y')

$$\gamma = \frac{15 \cdot (522) \cdot 10^2}{2800 \cdot 100 \cdot 12,5^2} = 0,0178 \rightarrow \begin{cases} K = 70 \\ \alpha = 0,1765 \\ E = 0,9412 \end{cases}$$

$$A_y = \frac{522 \cdot 10^2}{2800 \cdot 0,9412 \cdot 12,5} = 1,58 \text{ cm}^2 \quad 4 T_8/m.$$

- sens porteur (x, x')

$$\gamma = \frac{15 \cdot 522 \cdot 10^2}{2800 \cdot 100 \cdot (11,5)^2} = 0,0211 \rightarrow \begin{cases} K = 63,5 \\ \alpha = 0,1911 \\ E = 0,9363 \end{cases}$$

$$A_x = \frac{522 \cdot 10^2}{2800 \cdot 0,9363 \cdot 11,5} = 1,73 \text{ cm}^2 \quad 4 T_8/m$$

$$\bar{\sigma}_b' = \frac{\bar{\sigma}_a}{K} = \frac{2800}{63,5} = 44,09 \text{ Kg/cm}^2 < \bar{\sigma}_b' \Rightarrow \text{Pas d'aciérs comprimés.}$$

$$A_x \approx A_y. \quad \text{On adoptera } 4 T_8/m = 2,01 \text{ cm}^2$$

Dalles balcons

$$\ell_x = 145 \text{ cm} ; \ell_y = 305 \text{ cm} ; q = 397 \text{ Kg/cm}^2 = 187 + 1,2 \cdot 175.$$

$\rho = 0,47 > 0,4 \Rightarrow$ la dalle porte sur les deux sens.

 $(M_{x0} = 0,1012 ; u_y = 0,302)$
 $M_{ox} = 84,47 \text{ Kg/m} ; M_{oy} = 25,50 \text{ Kg/m}$
 $M_{tx} = 0,85 M_{ox} = 71,80 \text{ Kg.m}$
 $M_{ty} = 0,85 M_{oy} = 21,67 \text{ Kg.m}$
 $M_{ax} = 0,3 M_{ox} = 25,34 \text{ Kg.m}$
 $M_{ay} = 0,3 M_{oy} = 7,65 \text{ Kg.m}$
 $T_x = 273,84 \text{ Kg} ; T_y = 29,42 \text{ Kg}$
 $M_0 = 461,64 \text{ Kg.m}$

Calcul de M_{rb}

$$M_{rb} = 0,1823 \cdot 137,7 \cdot 100 \cdot 75^2 = 5648,1 \text{ Kg.m} \rightarrow M_0 \quad \text{Vérifié.}$$

→ On prend $M_b = M_0$, ($h_t = 15 \text{ cm}$, $d_1 = 2,5 \text{ cm}$, $d_2 = 3,5 \text{ cm}$, $h_s = 12,5 \text{ cm}$)

Sens répartition (y,y)

$$M = 0,0158 \rightarrow (K = 75 ; \alpha = 0,1666 ; E = 0,9445)$$
 $A_y = 1,39 \text{ cm}^2$

Sens porteur (x,x)

$$M = 0,0187 \rightarrow (K = 68 ; \alpha = 0,1807 ; E = 0,9398)$$
 $A_x = 1,53 \text{ cm}^2$

$$\sigma'_b = \frac{\bar{\sigma}_a}{K} = \frac{2800}{68} = 41,17 \text{ Kg/cm}^2 < \bar{\sigma}'_b : \text{Les armatures comprimées ne sont pas nécessaires}$$
 $A_x \approx A_y$

On adoptera : $4 T_8/\text{ml}$. ($2,01 \text{ cm}^2$)

Aux appuis :

sens répartition (y,y)

$$M_a = 0,3 M_0 = 0,3 \cdot 461,64 = 138,49 \text{ Kg.m}$$
 $M = 0,0048 \rightarrow (K = 144 ; \alpha = 0,0943 ; E = 0,9686)$
 $A_y = 0,41 \text{ cm}^2$

Sens porteur (x,x)

$$M = 0,0056 \rightarrow (K = 132 ; \alpha = 0,1020 ; E = 0,9660)$$
 $A_x = 0,44 \text{ cm}^2$
 $\sigma'_b = \frac{\bar{\sigma}_a}{K} = \frac{2800}{132} < \bar{\sigma}'_b : \text{Les aciers comprimés ne sont pas nécessaires.}$
 $A_x \approx A_y \quad \text{On adoptera } 4 T_8/\text{ml} \quad (2,01 \text{ cm}^2)$

Verifications

- Verification de la condition de non fragilité (Art. 52. CCBA 68)

* Suivant l'x

$$\text{on doit avoir: } \frac{A_{tx}}{b_0 \cdot h_x} \geq \frac{4\epsilon}{2} (2-\rho) \frac{\bar{\sigma}_b}{\bar{\sigma}_a} \left(\frac{h_0}{h_x} \right)^2$$

$$\frac{A_{tx}}{b_0 \cdot h_x} = \frac{8,01}{100 \cdot 11,5} = 0,017 ; \quad ; \quad \frac{4\epsilon}{2} (2-\rho) \frac{\bar{\sigma}_b}{\bar{\sigma}_a} \left(\frac{h_0}{h_x} \right)^2 = \frac{0,54}{2} (2-0,47) \frac{5,9}{2800} \left(\frac{13}{11,5} \right)^2 = 0,0011$$

c'est vérifié

* Suivant l'y

$$\frac{A_{ty}}{b_0 \cdot h_y} = \frac{8,01}{100 \cdot 12,5} = 0,0016 ; \quad ; \quad \frac{4\epsilon}{2} (2-\rho) \frac{\bar{\sigma}_b}{\bar{\sigma}_a} \left(\frac{h_0}{h_x} \right)^2 = \frac{0,54}{2} (2-0,47) \frac{5,9}{2800} \left(\frac{13}{12,5} \right)^2 = 0,00093$$

c'est vérifié

- Verification à l'effort tranchant

$$T_{max} = 977,8 \text{ Kg.} ; \quad \tau_b = \frac{T}{b_2} = \frac{9778}{100 \cdot \frac{7}{8} \cdot 11,5} = 0,97 \text{ Kg/cm}^2 < \bar{\tau}_b = 195 \bar{\sigma}_b = 6,78 \text{ Kg/cm}^2$$

Donc les armatures transversales ne sont pas nécessaires.

- Verification à la Flèche (Art. 61.22. CCBA 68)

$$1) \frac{h_0}{l_x} > \frac{1}{20} \frac{M_{bx}}{M_{ax}}$$

$$\frac{73}{275} > \frac{1}{20} \frac{419,99}{494,11} = 0,043 \quad \text{cest vérifié}$$

$$2) \frac{A}{b_h} \leq \frac{20}{\bar{\sigma}_{en}} = 0,0048 . \quad \text{cest vérifié}$$

d'où la justification de flèche est inutile.

- Verification à la Fissuration.

$$\sigma_1 = \frac{K \cdot n}{\phi} \cdot \frac{\tilde{\omega}}{1+10\tilde{\omega}} ; \quad \sigma_2 = 2,4 \left(\frac{K \cdot n}{\phi} \cdot \bar{\sigma}_b \right)^{1/2}$$

$$K = 1,5 \cdot 10^{+6} ; \quad \gamma = 1,6 (\text{H.A}) ; \quad \bar{\sigma}_b = 5,9 \text{ Kg/cm}^2 ; \quad \phi = 8 \text{ mm.}$$

$$\tilde{\omega} = \frac{A}{2b \cdot d} = \frac{8,01}{2 \cdot 8 \cdot 100} = 0,00502$$

$$\sigma_a = \min \begin{cases} \max(\sigma_1, \sigma_2) \\ \sigma_1 = 1434,0 \text{ Kg/cm}^2 \\ \sigma_2 = 3192,9 \text{ Kg/cm}^2 \\ \frac{2}{3} \sigma_{en} = 2800 \text{ Kg/cm}^2 \end{cases}$$

$$\sigma_a = 2800 \text{ Kg/cm}^2 = \bar{\sigma}_a \quad \text{Pas de risque de fissuration.}$$

ETUDE AU SEISME

Generalités

Comme par ses secousses, engendre dans les constructions des accélérations particulières atteignant parfois l'ordre de grandeur de la gravité ($9,81 \text{ m/s}^2$). Les accélérations résultent des forces pouvant s'exercer suivant des directions quelconques.

Une grande partie de l'ALGERIE est susceptible d'être soumise à d'importantes secousses sismiques, l'intensité de ces secousses est suffisante pour causer d'importants dégâts aux constructions. A moins que celles-ci soient conçues et construites de manière adéquate pour résister à ces efforts.

Par ailleurs quelques recommandations de conception générale de bâtiments:
Réduire autant que possible la hauteur des bâtiments ainsi que le rapport de la hauteur avec sa largeur.

éviter les ensembles mal équilibrés en hauteur ou en inertie et les éléments de construction mal liés à l'ossature.

Prévoir des fondations soigneusement chaînées et engagées dans le sol afin de s'opposer aux efforts de soulèvement dus au séisme.

Prévoir si possible un sous-sol ou des fondations profondes armées qui ancrent la construction dans le sol.

éviter les ouvertures de très grandes dimensions

Abaisser le plus possible le C.D.G de la construction.

Réaliser des nœuds rigides ainsi ainsi qu'une bonne disposition d'armatures autour des ouvertures, il faut prévoir des encadrement armés liés à l'ossature. Dans les poteaux les recouvrements des barres en attente devront être au moins égaux à 50 fois le diamètre de ces barres et réalisés sans crochets.

Assurer l'indéformabilité de l'ensemble par des contreventements dans tous les sens.

Reglement suivi

Depuis le séisme d'EL-ASNAM le 10 octobre 1980, le C.T.C a élaboré un règlement parasismique ALGERIEN (RPA 81), rendant les conditions de sécurité plus strictes, donc le règlement suivi est: (RPA 81)

Principe de calcul

On va faire un calcul simplifié en substituant aux effets dynamiques réels, des sollicitations statiques basées sur des coefficients (A, B, D, Q), ces coefficients sollicitations sont censés être équivalentes à celles des effets sismiques.

Ces calculs ne sont valables que si les conditions suivantes sont vérifiées:
R.P.A Art 3-2-1.1 .

- 1- Le bâtiment ou bloc à étudier a une hauteur au plus égale à 45 m en zone II
- 2- La forme du bâtiment étudié est simple, symétrique proche d'un rectangle avec des parties en saillie ou en retrait ne dépassent pas 25% des dimensions du rectangle inscrit de référence dans le sens considéré.

3. Dans le cas des décrochements en élévations, la variation des dimensions dans les deux directions ne dépassent pas 25% entre deux niveaux adjacents et ne s'effectue que dans le sens d'une réduction à hauteur croissante.
4. La distance entre le centre de masse et le centre de torsion ne dépassent pas aucun niveau 20% de la largeur effective du bâtiment mesurée perpendiculairement à la direction de l'action sismique considérée :
5. Le rapport masse sur rigidité de deux niveau successifs ne doit pas varier de plus de 25% dans chaque direction
6. Le bâtiment étudié présentent un degré d'amortissement voisin à tous les niveaux. En particulier dans le cas des ossatures autostabiles avec remplissage en maçonnerie, les remplissages inserés entre les poteaux ont à tous les niveaux une densité du même ordre: Toutes les maçonneries utilisées dans les différents étages sont construites des mêmes matériaux, donc les remplissages auront une densité de même ordre, ainsi que les cloisons sont disposées presque de la même façon dans tous les étages . donc un degré d'amortissement voisin à tous les niveaux dans ce cas .
7. La structure ne présente pas plusieurs degrés de libertés dans un même plan horizontal.

Determination des charges soumises à l'action sismique :

Les charges sont supposées concentrées aux niveaux des planchers. La charge sismique est $w = G$. ; G : poids propre (charge permanente)

Poids des dalles pleines :

1- Dalle au dessus de l'escalier niveau terrasse:

$$0,15 \cdot 3 \cdot (4,20 + 1,22) \times 2500 = 6,098 \text{ t}$$

2- Dalle pleine du balcon:

$$0,15 \cdot 3,30 \cdot 1,45 \cdot 2500 = 1,79 \text{ t}$$

Poids des murs :

$$3,06 \cdot 59,97 \times 2500 = 45,86 \text{ t}$$

Poids des éléments préfabriqués

1- Garde corps terrasse :

$$P_1 = [3,06 \cdot (2,7 + 1,00) - 0,4 \cdot 2(1,35) - \frac{\pi}{4}(1,35)^2] \times 0,1 \times 2500 - 0,04 \cdot 2500 \left[\frac{1,6^2}{2} \left(\frac{3,14}{2} - 1 \right) \right] = 1,77 \text{ t}$$

2- Garde corps sechoirs :

$$P_2 = \frac{\pi \cdot 1,35^2}{4} \cdot 0,06 \cdot 2500 + 177,7 = 1,99 \text{ t}$$

$$P = 2(P_1 + P_2) = 7,73 \text{ t}$$

Poids des poutres longitudinales :

$$\text{Niveau terrasse : } 0,3 \cdot 0,5 \cdot 3 \cdot 22,55 \cdot 2500 = 25368,75 \text{ Kg.}$$

$$\text{Niveau courant : } 25368,75 + (3 \cdot 0,5 \cdot 0,5 \cdot 3,30 \cdot 2500) = 27993,75 \text{ Kg.}$$

Poutres transversales :

$$\text{Niveau terrasse : } 0,35 \cdot 0,60 \cdot 8 \cdot 8,70 \cdot 2500 = 36,54 \text{ t}$$

$$\text{Niveau courant : } 18,79 + (1,60 \cdot 0,25 \cdot 0,4 \cdot 4 \cdot 2500) + (0,4 \cdot 0,25 \cdot 1,22 \cdot 2 \cdot 2500) = 41,18 \text{ t}$$

34

Poids total qui revient à la terrasse :

- Poids du plancher terrasse	$0,650 \times 183,58$	119,33 t
- Poids de dalle au dessus d'escalier		6,09 t
- Poids des Poutres longitudinales		25,37 t
- Poids des Poutres transversales		36,54 t
- Poids de l'acrotère		16,58 t
- Poids des murs		22,94 t
- Poids des cloison qui revient à la terrasse		7,36 t
- Poids des éléments préfabriqués		3,86 t
- Poids des poteaux		12,95 t
		<hr/>
	W _t	= 251,02 t

Poids total qui revient au niveau IV.

- Poids du plancher courant	$0,46 \cdot 183,58$	84,40 t
- Poids des dalles (balcons)		3,59 t
- Poids des poutres longitudinales		27,99 t
- Poids des poutres transversales		41,18 t
- Poids des murs		45,87 t
- Poids des éléments préfabriqués		7,73 t
- Poids des cloisons	$75 \cdot 22,55 \cdot 8,7$	14,71 t
- Poids des Poteaux		25,70 t
- Poids d'escalier plus garde corps		9,17 t
	<hr/>	
	W ₄	= 260,34 t

Poids total qui revient au niveau I, II, III

$$W_1 = W_2 = W_3 = W_4 + 3,024 \quad W_1 = W_2 = W_3 = 263,36 t$$

Poids total du bâtiment

$$W = 2W_1 + W_2 + W_3 + W_4 + W_t = 1564,80 t$$

Calcul du centre de masse.

$$X_M = \frac{\sum m_i x_i}{\sum m_i} \quad Y_M = \frac{\sum m_i y_i}{\sum m_i}$$

- Les charges et les surcharges étant uniformément réparties, on peut remplacer les masses (m_i) par les surfaces (A_i)

$$X_G = \frac{\sum A_i x_i}{\sum A_i} \quad Y_G = \frac{\sum A_i y_i}{\sum A_i}$$

$$X_G = 11,10 \text{ m} \quad (\text{par symétrie})$$

$$Y_G = \frac{8,7 \cdot 22,55 \cdot 8,7/2 + 2 \cdot 1,45 \cdot 3,30 (8,7 + 14,5/2) + 3 \cdot 1,27 (8,7 + 1,27/2)}{2 \cdot 3,30 \cdot 1,45 \cdot 8,70 \cdot 22,55} = 4,76 \text{ m}$$

Calcul du centre d'inertie des poteaux.

$$X_I = \frac{\sum I_{x_i} x_i}{\sum I_{x_i}} \quad Y_I = \frac{\sum I_{y_i} y_i}{\sum I_{y_i}}$$

$$X_I = \frac{3 \cdot (0,35 \cdot 0,40^3)/12 (3+6,3+9,6+12,6+15,9+19,2+22,2)}{24 \cdot 0,35 \cdot 0,40^3/12} = 11,10 \text{ m}$$

$$Y_I = \frac{8 \cdot 0,40 \cdot 0,35^3/12 (0,2+4,4+8,6)}{24 \cdot 0,40 \cdot 0,35^3/12} = 4,4 \text{ m.}$$

Calcul des exentricités :

D'après le C.T.C : A chaque niveau et dans chaque direction la résultante des forces horizontales à une exentricité par rapport au centre de torsion égale à 5% de la plus grande dimension du bâtiment à ce niveau.

$$e_0 = 5\% \cdot 22,55 = 1,127 \text{ m}$$

$$e_x = |X_I - X_G| = 0 \Rightarrow e = e_0 = 1,127 \text{ m.}$$

$$e_y = |Y_I - Y_G| = |4,40 - 4,76| = 0,36 \text{ m}$$

Calcul des forces sismiques :

Dans mon cas toutes les conditions de l'application de la méthode statique sont vérifiées, donc je peu faire un calcul statique équivalent.

Pour ce calcul, l'intensité de la force horizontale totale est donnée par la formule de (RPA 81 - Art. 33.1) $V = A \cdot B \cdot D \cdot Q \cdot W$

- V : Force horizontale totale.

- A : coefficient d'accélération de zones, il dépend du groupe d'usage de la structure et de la zone sismique

Pour mon cas (groupe d'usage "2" ; zone II) $\rightarrow A = 0,15$ (RPA Tab 1).

- D : facteur d'amplification dynamique, la valeur de D sera déterminée d'après le type de sol, en fonction de la période T du bâtiment à partir du graphe de (RPA 81 P.37)

Détermination de la période T

D'après le RPA 81, la valeur de T pour les bâtiments dans lesquels le système de contreventement est une ossature autostable capable de reprendre à 100% les forces horizontales peut être déterminée par la formule :

$$T = 0,1 N, \text{ avec } N : \text{nombre d'étage du bâtiment.}$$

$$\text{donc } T = 0,1 \cdot 5 = 0,5 \text{ s.}$$

$$(T = 0,5, \text{ sol meuble}) \rightarrow D = 2,0$$

B : facteur de comportement de la structure, il dépend du type de la structure et de la nature de ses contreventements. Les valeurs de B sont dans le tableau 2. (R.P.A 81)

$$\text{Portique autostable } B = 1/4$$

Q : facteur de qualité, fonction de l'hypostaticité et de la surabondance du système, de ses symétries en plan, de sa régularité en élévation et de la qualité du contrôle pendant la construction. La valeur Q est donnée par

$$Q = 1 + \sum_{q=1}^{q=6} p_q \quad \text{où } p_q \text{ est la pénalité}$$

p_q dépend de l'observation ou non du critère de qualité q .

Critère observé $p_q = 0$

Critère non observé $p_q = 0,1$. Pour critères : voir (R.P.A 81. P.24-25.)

Valeur de p_q .		
q	sens long.	sens trans
1	0	0,1
2	0,1	0
3	0	0
4	0	0
5	0,1	0,1
6	0,1	0,1
Σp_q	0,3	0,3

$$Q_e = Q_t = 1 + 0,3 = 1,3$$

Force latérale totale V

$$V = 0,15 \cdot 0,25 \cdot 2 \cdot 1,3 \cdot 1564,8 = 152,568 t$$

$$V = F_t + \sum_{i=1}^n F_i \quad F_t = 0 \text{ car } T < 0,75 \text{ (R.P.A. 81)}$$

$$V = \sum_{i=1}^n F_i$$

Distribution des Forces latérales :

Niveau	h_i (m)	W_i (t)	$W_i \cdot h_i \cdot t_m$	F_i (t)	$F_{\text{cum.}}$ (t)
IV	15,24	218,05	3323,08	49,4	49,4
III	12,24	223,34	2733,31	33,84	79,98
II	9,18	226,33	2077,71	25,72	100,7
I	6,12	226,33	1385,14	17,15	117,85
					10217,81

$$F_i = V \cdot \frac{W_i \cdot h_i}{\sum W_i \cdot h_i}$$

Calcul de la constante de proportionnalité K

$$\Sigma I_x x^2 = [3^2 + 6,3^2 + 9,6^2 + 12,6^2 + 15,9^2 + 19,2^2 + 22,9^2] \cdot \frac{3 \cdot 35 \cdot 40^3}{12} = 7,918 \text{ m}^6$$

$$\Sigma I_y y^2 = (4,8^2 + 8,4^2) \cdot 8 \cdot \frac{0,140 - 0,35^2}{12} = 1,008 \text{ m}^6$$

$$K = \frac{1}{\Sigma I_x x^2 + \Sigma I_y y^2} = 0,112$$

Pour chaque niveau :

Niveau	F_H (t)	e_0 (m)	M_t (t)	$K M_t$
IV	49,25	1,127	55,50	6,22
III	41,04	1,127	46,25	5,18
II	31,13	1,127	35,08	3,93
I	20,76	1,127	23,40	2,62
	10,38	1,127	11,70	1,31

i : moment d'inertie / axe II à yy'

I : moment d'inertie / axe II à xx'

Les inerties sont exprimées en $\text{m}^4 \cdot 10^{-3}$

$$M_t = F_H \cdot e_0$$

Pot	iy	I_x	Pot	ey	I_x
1	6,81	22,82	13	0,81	0,70
2	6,81	17,22	14	0,81	6,86
3	6,81	11,06	15	0,81	13,02
4	6,81	4,90	16	0,81	18,60
5	6,81	0,70	17	5,19	22,82
6	6,81	6,86	18	5,19	17,22
7	6,81	13,02	19	5,19	11,06
8	6,81	18,60	20	5,19	4,90
9	0,81	22,82	21	5,19	0,70
10	0,81	17,22	22	5,19	6,86
11	0,81	11,06	23	5,19	13,02
12	0,81	4,90	24	5,19	18,60

FORCES HORIZONTALES DANS LES PORTIQUES.

La méthode utilisée est celle de BOWMAN exposée dans l'ouvrage d'ALBERT-FUENTS intitulé "Calcul pratique des ossatures en béton armé".

Exposé de la méthode de BOWMAN.

Cette méthode permet d'obtenir des résultats voisins de ceux obtenus en utilisant les méthodes exactes.

L'effort tranchant total à chaque niveau se partage proportionnellement aux moments d'inertie des poteaux.

les points d'inflexion dans les poteaux de hauteur "h" se situent :

- aux dernier niveau à 0,65 h de la partie supérieure du poteau.
- à l'avant dernier niveau à 0,60 h de la partie supérieure du poteau.
- au niveau immédiatement en dessous à 0,55 h de la partie sup. du pot.
- à tous les niveaux sauf au premier, à 0,50 h de la partie sup. du poteau.
- au premier niveau à 0,60 h à partir de la base du poteau.

Le partage des moments dans les barres sera effectué proportionnellement aux raideurs des barres situées à droite et à gauche du nœud considéré.

La méthode de BOWMAN donne des résultats meilleurs que ceux obtenus par la méthode qui consiste à admettre un point d'inflexion à mi-hauteur du poteau à tous les niveaux.

Hypothèses de calcul :

Dans le cas où les poteaux d'un même étage ont tous la même hauteur, et où les raideurs de différentes travées des poutres porteur du plancher parallèle aux forces appliquées et solidaires des poteaux sont toutes supérieures au $\frac{1}{15}$ de la raideur du poteau le plus raide, on admet :

- que les forces horizontales agissant sur une file de poteaux se répartissent entre les différents poteaux proportionnellement au moments d'inertie des poteaux, les moments d'inertie des poteaux de rive étant toutefois affectés du coefficient 0,8.
- que les poteaux des étages courants sont encastre's au niveau de chacun des plancher et articulés aux hauteurs définies plus haut de

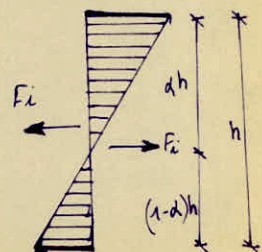
Compte tenu des hypothèses nous pouvons écrire :

$$F_1 = F \cdot 0,8 I_1 \quad ; \quad F_2 = F \cdot I_2 \quad ; \quad F_n = F \cdot 0,8 I_n \\ (0,8 I_1 + I_2 + \dots + 0,8 I_n) \quad (0,8 I_1 + I_2 + \dots + 0,8 I_n) \quad (0,8 I_1 + I_2 + 0,8 I_n)$$

Moments dans les poteaux :

Moment en tête des poteaux: $M = F_i \alpha h$.

Moment en base des poteaux: $M = F_i (1-\alpha) h$.



Efforts horizontaux agissant sur les portiques :

$$F_x = \frac{F_i \cdot I_{y_i}}{\sum I_{x_i}} \quad F_y = F_i \cdot \frac{I_{x_i}}{\sum I_{x_i}}$$

I_{y_i} : I_{y_i} : le moment d'inertie de tous les poteaux composant le portique au niveau considéré.

$\sum I_{x_i}$, $\sum I_{y_i}$: moment d'inertie de tous les poteaux composant le plancher au niveau considéré.

Tous les poteaux ont une même section (35x40) donc même inertie.

Portiques transversaux

$$F_y = F_i \cdot \frac{3 I_{x_i}}{24 \cdot I_{x_i}} = \frac{F_i}{8}$$

Portiques longitudinaux

$$F_x = F_i \cdot \frac{8 I_{y_i}}{24 I_{y_i}} = \frac{F_i}{3}$$

Portiques transversaux

Portique	Niveau	F_i (t)	F_y (t)	F_y cum (t)
A-A	IV	49,25	6,15	6,15
B-B	IV	41,04	5,13	11,28
C-C				
D-D	III	31,13	3,89	15,17
E-E				
F-F	II	20,76	2,60	17,77
G-G				
H-H	I	10,39	1,30	19,07

Portiques longitudinaux

Portique	Niv	F_i (t)	F_x (t)	F_x cum(t)
1-1	IV	49,25	16,42	16,45
2-2	IV	41,04	13,68	30,10
3-3	III	31,13	10,38	40,48
	II	20,76	6,92	47,40
	I	10,39	3,46	50,86

Portiques longitudinaux $(F_t)_x$

Portique	1-1		2-2		3-3	
Niveau	Poteaux	effort(t)	Poteaux	effort(t)	Poteaux	effort(t)
V	2÷7	1,80	15÷10	1,80	18÷23	1,80
	1 et 8	1,44	9 et 16	1,44	17 et 24	1,44
IV	2÷7	1,48	10÷15	1,48	18÷23	1,48
	1 et 8	1,19	9 et 16	1,19	17 et 24	1,19
III	2÷7	1,28	10÷15	1,28	18÷23	1,28
	1 et 8	0,90	9 et 16	0,90	17 et 24	0,90
II	2÷7	0,75	10÷15	0,75	18÷23	0,75
	1 et 8	0,60	9 et 16	0,60	17 et 24	0,60
I	2÷7	0,24	10÷15	0,24	18÷23	0,24
	1 et 8	0,20	9 et 16	0,20	17 et 24	0,20

Portiques longitudinaux $(F_t)_x$ com

Portique	1-1		2-2		3-3	
Niveau	Poteaux	effort(t)	Poteaux	efforts	Poteaux	efforts
V	2÷7	1,80	10÷15	1,80	18÷23	1,80
	1 et 8	1,44	9 et 16	1,44	17 et 24	1,44
IV	2÷7	3,28	10÷15	3,28	18÷23	3,28
	1 et 8	2,63	9 et 16	2,63	17 et 24	2,63
III	2÷7	4,56	10÷15	4,56	18÷23	4,56
	1 et 8	3,53	9 et 16	3,53	17 et 24	3,53
II	2÷7	5,31	10÷15	5,31	18÷23	5,31
	1 et 8	4,13	9 et 16	4,13	17 et 24	4,13
I	2÷7	5,55	10÷15	5,55	18÷23	5,55
	1 et 8	4,33	9 et 16	4,33	17 et 24	4,33

Les Poteaux 1-8-9-16-17-24 sont de rive donc les efforts seront multipliés par un coefficient égal à 0,8 (d'après BOWMAN)

Portiques transversaux (F_t)_y

Portique Niveau	A-A		B-B		C-C		D-D	
	Poteaux	efforts (t)						
IV	1	1,58	2	1,58	3	1,58	4	1,58
	9	1,98	10	1,98	11	1,98	12	1,98
	17	1,58	18	1,58	19	1,58	20	1,58
III	1	1,30	2	1,30	3	1,30	4	1,30
	9	1,63	10	1,63	11	1,63	12	1,63
	17	1,30	18	1,30	19	1,30	20	1,30
II	1	0,99	2	0,99	3	0,99	4	0,99
	9	1,24	10	1,24	11	1,24	12	1,24
	17	0,99	18	0,99	19	0,99	20	0,99
I	1	0,66	2	0,66	3	0,66	4	0,66
	9	0,82	10	0,82	11	0,82	12	0,82
	17	0,66	18	0,66	19	0,66	20	0,66
	1	0,33	2	0,33	3	0,33	4	0,33
	9	0,41	10	0,41	11	0,41	12	0,41
	17	0,33	18	0,33	19	0,33	20	0,33

Portiques transversaux (F_t)_{y Cum.}

Portiques Niveaux	A-A		B-B		C-C		D-D	
	Poteaux	efforts (t)						
IV	1	1,58	2	1,58	3	1,58	4	1,58
	9	1,98	10	1,98	11	1,98	12	1,98
	17	1,58	18	1,58	19	1,58	20	1,58
III	1	2,88	2	2,88	3	2,88	4	2,88
	9	3,61	10	3,61	11	3,61	12	3,61
	17	2,88	18	2,88	19	2,88	20	2,88
II	1	3,87	2	3,87	3	3,87	4	3,87
	9	4,85	10	4,85	11	4,85	12	4,85
	17	3,87	18	3,87	19	3,87	20	3,87
I	1	4,53	2	4,53	3	4,53	4	4,53
	9	5,67	10	5,67	11	5,67	12	5,67
	17	4,53	18	4,53	19	4,53	20	4,53
	1	4,86	2	4,86	3	4,86	4	4,86
	9	6,08	10	6,08	11	6,08	12	6,08
	17	4,86	18	4,86	19	4,86	20	4,86

ETUDE DE LA TORSION

Dans le cas de bâtiments dissymétriques, il arrive que les efforts horizontaux ne passent pas par le centre de gravité du niveau qui sera donc entraîné dans une rotation autour du centre. La résultante de forces horizontales est remplacée par une force F appliquée au centre de torsion et par un couple de torsion ($M = F.d$) d'axe vertical passant par le centre de torsion (d'excentrement de la résultante par rapport au centre de gravité des éléments résistants). Le couple de torsion a pour effet de produire une rotation du plancher supérieur par rapport au plancher inférieur.

Les poteaux vont subir des déplacements dans les deux sens transversal et longitudinal.

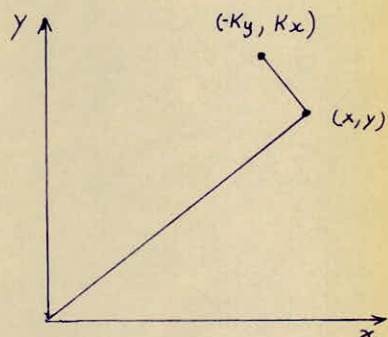
On peut considérer que ces déplacements sont provoqués par des forces appliquées aux extrémités des poteaux.

Le calcul des forces est basé sur deux hypothèses :

- 1- L'effort est proportionnel au déplacement de l'extrémité supérieure du poteau.
- 2- Les déplacements des extrémités supérieures sont proportionnels à la distance ; à la distance de l'extrémité du poteau au centre de torsion.

Le déplacement subit par la tête du poteau de coordonnées (x, y) a pour composante $(-K_y, K_x)$

K : constante de proportionnalité



Moment d'inertie des poteaux. (35-40)

$$I_{T/yy'} = I_y = 1,715 \cdot 10^6 \text{ cm}^4$$

$$I_{T/xx'} = I_x = 1,68 \cdot 10^6 \text{ cm}^4$$

Portiques longitudinaux (Fr_x)

Portiques	1-1		2-2		3-3	
	Niveaux	Poteaux	efforts(t)	Poteaux	efforts(t)	Poteaux
IV	1÷8	0,035	9÷16	0,0040	17÷24	0,027
III	1÷8	0,029	9÷16	0,0030	17÷24	0,022
II	1÷8	0,022	9÷16	0,0026	17÷24	0,017
I	1÷8	0,0150	9÷16	0,0020	17÷24	0,011
	1÷8	0,0070	9÷16	0,0010	17÷24	0,005

Portiques transversaux (Fr_y)

Portique	A-A		B-B		C-C		D-D	
	Niveau	Poteaux	effort(t)	Poteaux	efforts(t)	Poteaux	efforts(t)	Poteaux
IV	1	0,118	2	0,089	3	0,057	4	0,025
	9	0,118	10	0,089	11	0,057	12	0,025
	17	0,118	18	0,089	19	0,057	20	0,025
III	1	0,097	2	0,074	3	0,047	4	0,021
	9	0,097	10	0,074	11	0,047	12	0,021
	17	0,097	18	0,074	19	0,047	20	0,021
II	1	0,074	2	0,056	3	0,036	4	0,016
	9	0,074	10	0,056	11	0,036	12	0,016
	17	0,074	18	0,056	19	0,036	20	0,016
I	1	0,059	2	0,037	3	0,029	4	0,011
	9	0,059	10	0,037	11	0,029	12	0,011
	17	0,059	18	0,037	19	0,029	20	0,011
	1	0,025	2	0,019	3	0,012	4	0,005
	9	0,025	10	0,019	11	0,012	12	0,005
	17	0,025	18	0,019	19	0,012	20	0,005

$$(Fr)_x = K \cdot M_t \cdot i_y$$

$$(Fr)_y = K \cdot M_t \cdot I_x$$

Les valeurs de K , M_t , i_y , I_x sont déjà calculées; voir page:

43

$$F_x = (F_t)_x^{cum} + (Fr)_x$$

Portiques	1-1		2-2		3-3	
Niveaux	Poteaux	efforts(t)	Poteaux	efforts(t)	Poteaux	efforts(t)
II	2÷7	1,835	10÷15	1,804	18÷23	1,827
	1 et 8	1,475	9 et 16	1,444	17 et 24	1,467
IV	2÷7	3,309	10÷15	3,283	18÷23	3,302
	1 et 8	2,659	9 et 16	2,633	17 et 24	2,652
III	2÷7	4,582	10÷15	4,563	18÷23	4,577
	1 et 8	3,552	9 et 16	3,533	17 et 24	3,547
II	2÷7	5,325	10÷15	5,312	18÷23	5,321
	1 et 8	4,145	9 et 16	4,132	17 et 24	4,147
I	2÷7	5,557	10÷15	5,551	18÷23	5,555
	1 et 8	4,337	9 et 16	4,331	17 et 24	4,335

$$F_y = (F_t)_y^{cum} + (Fr)_y$$

Portiques	A-A		B-B		C-C		D-D	
Niveaux	Poteaux	efforts(t)	Poteaux	efforts(t)	Poteaux	efforts(t)	Poteaux	efforts(t)
II	1	1,698	2	1,669	3	1,637	4	1,605
	9	2,098	10	2,069	11	2,037	12	2,005
	17	1,698	18	1,669	19	1,637	20	1,605
IV	1	2,977	2	2,954	3	2,927	4	2,901
	9	3,707	10	3,684	11	3,657	12	3,631
	17	2,977	18	2,954	19	2,927	20	2,902
III	1	3,944	2	3,926	3	3,906	4	3,886
	9	4,924	10	4,906	11	4,886	12	4,866
	17	3,944	18	3,926	19	3,906	20	3,886
II	1	4,579	2	4,567	3	4,554	4	4,541
	9	5,719	10	5,707	11	5,694	12	5,681
	17	4,579	18	4,567	19	4,554	20	4,541
I	1	4,885	2	4,876	3	4,872	4	4,865
	9	6,105	10	6,099	11	6,092	12	6,085
	17	4,885	18	4,876	19	4,872	20	4,865

44

Moments fléchissants dans les poteaux

- Portiques longitudinaux.

Portiques		1-1		2-2		3-3	
Niveaux	Poteaux	Moments	Poteaux	Moments	Poteaux	Moments	
IV	base tête	2÷7 1 et 8	3,650 2,934	10÷15 9 et 16	3,588 2,872	18÷23 17 et 24	3,634 2,918
	base tête	2÷7 1 et 8	1,965 1,579	10÷15 9 et 16	1,932 1,546	18÷23 17 et 24	1,956 1,572
	base tête	2÷7 1 et 8	6,075 4,881	10÷15 9 et 16	6,027 4,834	18÷23 17 et 24	6,062 4,869
	base tête	2÷7 1 et 8	4,050 3,255	10÷15 9 et 16	4,018 3,222	18÷23 17 et 24	4,041 3,246
III	base tête	2÷7 1 et 8	7,712 5,978	10÷15 9 et 16	7,679 5,943	18÷23 17 et 24	7,703 5,969
	base tête	2÷7 1 et 8	6,309 4,891	10÷15 9 et 16	6,283 4,864	18÷23 17 et 24	6,302 4,884
	base tête	2÷7 1 et 8	8,147 6,432	10÷15 9 et 16	8,127 6,322	18÷23 17 et 24	8,141 6,335
	base tête	2÷7 1 et 8	8,147 6,432	10÷15 9 et 16	8,127 6,322	18÷23 17 et 24	8,141 6,335
II	Tete	2÷7 1 et 8	6,802 5,304	10÷15 9 et 16	6,794 5,301	18÷23 17 et 24	6,799 5,306
	base	2÷7 1 et 8	10,203 7,963	10÷15 9 et 16	10,192 7,952	18÷23 17 et 24	10,199 7,959

Les moments fléchissants sont donnés en t.m.

Moments fléchissants dans les poteaux.

- Portiques transversaux.

Portique	AA		B-B		C-C		D-D	
	Poteaux	Moments	Poteaux	Moments	Poteaux	Moments	Poteaux	Moments
V	1	3,380	2	3,320	3	3,256	4	3,192
	9	4,173	10	4,115	11	4,052	12	3,988
	17	3,380	18	3,320	19	3,256	20	3,192
	1	1,818	2	1,787	3	1,753	4	1,719
	9	2,247	10	2,216	11	2,182	12	2,147
	17	1,818	18	1,787	19	1,753	20	1,719
IV	1	5,466	2	5,423	3	5,374	4	5,326
	9	6,806	10	6,764	11	6,714	12	6,666
	17	5,466	18	5,423	19	5,374	20	5,326
	1	3,644	2	3,616	3	3,583	4	3,551
	9	4,1537	10	4,1509	11	4,1476	12	4,1444
	17	3,644	18	3,616	19	3,583	20	3,551
III	1	6,638	2	6,607	3	6,574	4	6,540
	9	8,287	10	8,257	11	8,223	12	8,1830
	17	6,638	18	6,607	19	6,574	20	6,540
	1	5,431	2	5,406	3	5,378	4	5,351
	9	6,780	10	6,607	11	6,728	12	6,728
	17	5,431	18	5,406	19	5,378	20	5,351
II	1	7,006	2	6,987	3	6,968	4	6,948
	9	8,750	10	8,732	11	8,712	12	8,692
	17	7,006	18	6,987	19	6,968	20	6,948
	1	7,006	2	6,987	3	6,968	4	6,948
	9	8,750	10	8,732	11	8,712	12	8,692
	17	7,006	18	6,987	19	6,968	20	6,948
I	1	5,979	2	5,968	3	5,963	4	5,955
	9	4,473	10	7,465	11	7,457	12	7,448
	17	5,979	18	5,968	19	5,963	20	5,955
	1	8,968	2	8,952	3	8,945	4	8,932
	9	11,210	10	11,200	11	11,185	12	11,172
	17	8,968	18	8,952	19	8,945	20	8,932

Les moments fléchissants sont exprimés en t.m.

- Déformations horizontales

Les déplacements relatifs latéraux d'un étage, par rapport aux étages qui lui sont adjacents, ne doivent pas dépasser $0,0075$ fois la hauteur de l'étage à moins qu'il ne puisse être prouvé qu'un plus grand déplacement relatif peut être toléré (R.P.A 81)

On doit donc avoir

$$\frac{1}{2B} \cdot \Delta \leq 0,0075 h$$

$$\Delta = \text{déplacement}$$

$$\frac{1}{2B} \cdot \Delta = \text{déplacement relatif.}$$

B : facteur de comportement de la structure.

$$B = \frac{1}{4}$$

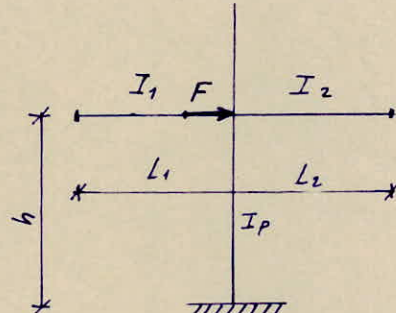
Pour les poteaux :

$$\Delta_1 = \frac{F \cdot h^3}{12 E I_p}$$

Pour les poutres :

$$\Delta_2 = \frac{F \cdot h^2}{6E \left(\frac{I_1}{L_1} + \frac{I_2}{L_2} \right)}$$

$$I_p =$$



$$E = 3 \cdot 10^6 \text{ t/m}^2$$

Dans mon cas : $I_1 = I_2 = I$; $L_1 = L_2 = L$.

$$0,0075 \cdot h = 0,0075 \cdot 3,06 = 2,295 \text{ cm.}$$

Sens longitudinal :

$$F = 6,69 \text{ t en R.D.C}$$

$$I_p = 1,42916 \cdot 10^{-3} \text{ m}^4$$

$$I = 1,33333 \cdot 10^{-3} \text{ m}^4$$

$$\Delta_1 = 0,0041 \text{ m} = 0,37 \text{ cm.}$$

$$\Delta_2 = 0,0047 \text{ m} = 0,47 \text{ cm} \Rightarrow \Delta = \Delta_1 + \Delta_2 = 0,84 \text{ cm} < 2,295 \text{ cm.}$$

Sens transversal

$$F = 6,08 \text{ t en R.D.C.}$$

$$I_p = 1,86666 \cdot 10^{-3} \text{ m}^4$$

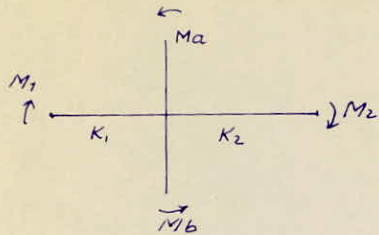
$$I = 1,89843 \cdot 10^{-3} \text{ m}^4$$

$$\Delta_1 = 0,0026 \text{ m} = 0,26 \text{ cm.} \Rightarrow \Delta = \Delta_1 + \Delta_2 = 0,54 \text{ cm} < 2,295 \text{ cm.}$$

$$\Delta_2 = 0,0028 \text{ m} = 0,28 \text{ cm}$$

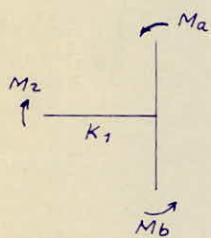
Calcul des moments dans les poutres

Dans un noeud, le moment résultant des poteaux aboutissant à ce noeud est répartie entre les poutres, proportionnellement à leur rigidité linéaire.



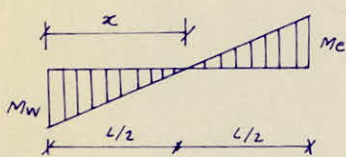
$$M_1 = \frac{K_1}{K_1 + K_2} (M_a + M_b)$$

$$M_2 = \frac{K_2}{K_1 + K_2} (M_a + M_b)$$



$$K_2 = 0 \quad M_2 = M_a + M_b$$

Moment en travée :



$$\frac{x}{M_w} = \frac{l-x}{M_c} \Rightarrow x = \frac{M_w}{M_c + M_w} l \quad (1)$$

$$\frac{x}{M_w} = \frac{l/2 - x}{M_t} \Rightarrow M_t = \frac{M_w}{x} \left(\frac{l}{2} - x \right) \quad (2)$$

$$(1) \text{ et } (2) \Rightarrow M_t = \frac{M_c - M_w}{2} = \frac{M_2 - M_1}{2}$$

Efforts tranchant :

A partir des moments dans les poutres, on peut calculer les efforts tranchants pour une travée indépendante (fig. suivantes)

$$M = ax + b$$

$$T = \frac{dM}{dx} = a$$

$$x=0 \quad M_w = b$$

$$x=l \quad -M_c = al + M_w$$

$$\Rightarrow a = -\frac{M_c - M_w}{l}$$

$$T = -\frac{M_w + M_c}{l}$$

Efforts normaux :

Pour un niveau "i" l'effort normal dans les poteaux sera :

$$N_i = -(T_{ie} - T_{iw})$$

Remarque: On a pris comme convention de signe; $N>0$ pour compression.

48

Moment dans les poutres sous S_{1H}

: Portiques transversaux :

Portiques		A-A			B-B		
Niveaux	nœuds moments	1	9	17	2	10	18
IV	$M_1 (t)$	0	2,0865	3,380	0	2,0565	3,380
	$M_2 (t)$	3,380	2,0865	0	3,320	2,0565	0
III	$M_1 (t)$	0	5,65	7,284	0	4,490	1,850
	$M_2 (t)$	7,284	5,65	0	7,21	4,490	5,360
II	$M_1 (t)$	0	6,412	10,282	0	6,383	2,624
	$M_2 (t)$	10,282	6,412	0	10,223	6,383	7,599
I	$M_1 (t)$	0	8,115	12,985	0	8,0985	3,325
	$M_2 (t)$	12,985	8,115	0	12,955	8,0985	9,630

Portiques		C-C			D-D		
Niveaux	nœuds moments	3	11	19	4	12	20
IV	$M_1 (t)$	0	2,026	3,256.	0	1,994	3,192
	$M_2 (t)$	3,256	2,026	0	3,192	1,994	0
III	$M_1 (t)$	0	4,451	7,829	0	4,4065	7,836
	$M_2 (t)$	7,127	4,451	5,298	7,045	4,4065	5,209
II	$M_1 (t)$	0	6,349	2,607	0	6,334	2,629
	$M_2 (t)$	10,157	6,349	7,550	10,091	6,334	7,462
I	$M_1 (t)$	0	7,720	3,168	0	7,71	3,205
	$M_2 (t)$	12,346	7,720	9,178	12,899	7,71	9,094
	$M_1 (t)$	0	8,085	3,319	0	8,070	3,362
	$M_2 (t)$	12,931	8,085	9,612		8,070	9,541

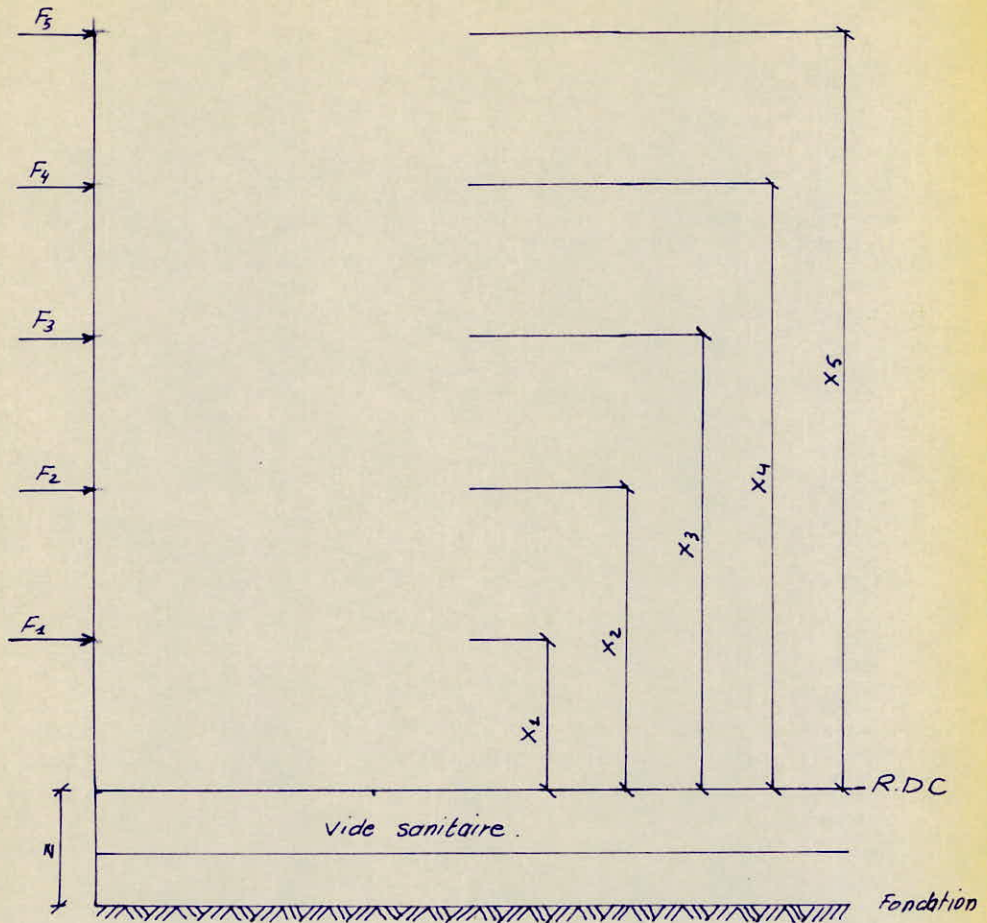
Moments dans les poutres sous S_{1H}

Portiques longitudinaux:

Portique		1-1							
Niveaux	nœuds moments	1	2	3	4	5	6	7	8
I	$M_1 (t)$	0	1,912	1,825	1,738	1,912	1,825	1,738	2,936
	$M_2 (t)$	2,936	1,738	1,825	1,912	1,738	1,825	1,912	0
II	$M_1 (t)$	0	4,211	4,02	7,011	4,211	4,02	3,828	6,46
	$M_2 (t)$	6,46	3,828	4,02	4,211	7,011	4,02	4,211	0
III	$M_1 (t)$	0	6,161	7,906	5,601	6,161	7,906	5,600	9,233
	$M_2 (t)$	9,233	5,600	7,906	6,161	5,601	7,906	6,161	0
IV	$M_1 (t)$	0	7,572	10,383	6,884	7,572	10,383	6,884	11,323
	$M_2 (t)$	11,323	6,884	10,383	7,572	6,884	10,383	7,572	0
V	$M_1 (t)$	0	7,830	11,548	7,118	7,830	11,548	7,119	12,736
	$M_2 (t)$	12,736	7,119	11,548	7,830	7,119	11,548	7,830	0

Portiques		2-2							
Niveaux	nœuds moments	9	10	11	12	13	14	15	16
VI	$M_1 (t)$	0	1,879	1,794	1,709	1,879	1,794	1,709	2,872
	$M_2 (t)$	2,872	1,709	1,794	1,879	1,709	1,794	1,879	0
VII	$M_1 (t)$	0	4,169	7,980	3,790	4,169	7,980	3,790	6,380
	$M_2 (t)$	6,380	3,79	7,980	4,169	3,790	7,980	4,169	0
VIII	$M_1 (t)$	0	6,127	5,849	5,570	6,127	5,849	5,570	9,165
	$M_2 (t)$	9,165	5,570	5,849	6,127	5,570	5,849	6,127	0
IX	$M_1 (t)$	0	7,548	7,205	6,862	7,548	7,205	6,862	11,186
	$M_2 (t)$	11,186	6,862	7,205	7,548	6,862	7,205	7,548	0
X	$M_1 (t)$	0	7,816	7,461	7,105	7,816	7,461	7,105	11,623
	$M_2 (t)$	11,623	7,105	7,461	7,816	7,105	7,461	7,816	0

VERIFICATION AU DEVERSEMENT



Moment de renversement = moment extérieur au console + effort tranchant $\frac{Z}{R.D.C}$ $\frac{Z}{base}$

$$\text{Moment en console} = \sum_{R.D.C} F_i x_i = F_1 x_1 + F_2 x_2 + F_3 x_3 + F_4 x_4 + F_5 x_5$$

$$\text{Moment dû à l'effort tranchant/base} = Z \times \sum F_i = (F_1 + F_2 + F_3 + F_4 + F_5) Z$$

$$\text{Moment résistant : } M_r = b \cdot \sum w_i \quad \text{avec } b = \frac{l}{2}.$$

Sens longitudinal et transversal :

$$\begin{aligned} \text{Moment de renversement} &= 8,57 \cdot 3,06 + 17,15 \cdot 6,12 + 35,72 \cdot 9,18 + 33,84 \cdot 13,24 + 41,14 \cdot 15,24 \\ &\quad + 126,42 \cdot 25,55 = 1606,410 \text{ t.m.} \end{aligned}$$

Moment résistant :

$$M_{rL} = \frac{22,2}{2} \times 1296,49 = 14391,04 \text{ t.m.}$$

$$M_{rT} = \frac{8,40}{2} \times 1296,49 = 5445,26 \text{ t.m.}$$

$M_r > M_{rT}$ donc pas de risque de renversement

DESCENTE DE CHARGE VERTICALE
SUR LES PORTIQUES

A. Portique longitudinal

1. Portique 1-1

Niveau IV (terrasse)

- charges permanentes : travée (1, 2, 4)

- acrotère 331 Kg/ml

- Plancher : $\frac{0,65}{2} \cdot 650 = 211,25$ Kg/ml

- Poutres longitudinales 150 Kg/ml

$$\underline{\underline{G_1 = 692,25 \text{ Kg/ml}}}$$

travée (3)

- acrotère 232 Kg/ml

- Plancher 211,25 Kg/ml

- Poutres longitudinales 150 Kg/ml

$$\underline{\underline{G'_1 = 593,25 \text{ Kg/ml}}}$$

Etage courant

- charges permanentes : travée (1, 2, 4)

- Poutres longitudinales 150 Kg/ml

- Plancher : $\frac{0,65}{2} \cdot 462 = 150,15$ Kg/ml

- mur = 764,98 Kg/ml

$$\underline{\underline{G''_1 = 1065,11 \text{ Kg/ml}}}$$

travée (3)

- Poutres longitudinales 150 Kg/ml

- Plancher 150,15 Kg/ml

- garde-corps sechoir 601,81 Kg/ml

$$\underline{\underline{G'''_1 = 901,196 \text{ Kg/ml}}}$$

2. Portique 2-2

Niveau IV (terrasse)

- charges permanentes : travée (1, 2, 3)

- Poutres longitudinales 150 Kg/ml

- Plancher terrasse : $0,65 \cdot 650 = 422,5$ Kg/ml

$$\underline{\underline{G_2 = 572,5 \text{ Kg/ml}}}$$

travee (4)

- Poutres longitudinales	150 Kg/m ²
- dalle (terrasse)	281,25 Kg/m ²
- Plancher(terrasse)	211,25 Kg/m ²

$$G'_2 = 642,50 \text{ Kg/m}^2$$

Etage courant

charge permanente: travees (1, 2, 3)

- Poutres longitudinales	150 Kg/m ²
- Plancher 0,65 . 462	= 300,3 Kg/m ²

$$G''_2 = 450,30 \text{ Kg/m}^2$$

travee (4)

- Poutres longitudinales	150 Kg/m ²
- Plancher $\frac{0,65}{2} . 462$	= 250 Kg/m ²
- Reaction d'escalier	2008,7 Kg/m ²

$$G'''_2 = 2308,70 \text{ Kg/m}^2$$

Portiques transversaux:

Portique AA

Niveau II (terrasse)

charge permanente:

- Poids de la poutre	250 Kg/m ²
- Reaction des poutrelle	$AB = 910,75 \text{ Kg/m}^2$
	$BC = 810,56 \text{ Kg/m}^2$
- Acrotere	331 Kg/m ²
* travee A-B	= 1491,75 Kg/m ²
* travee BC	= 1392,31 Kg/m ²

Etage courant

charge permanentes:

- Poids propre de la poutre	250 Kg/m ²
- Reaction des poutrelles	$AB = 910,75 \text{ Kg/m}^2$
	$BC = 810,56 \text{ Kg/m}^2$
- mur	764,96 Kg/m ²
* travee AB	= 1925,71 Kg/m ²
* travee BC	= 1825,52 Kg/m ²

Portique BB

Niveau II (terrasse)

charge permanente

- Poids propre de la poutre	250	Kg/m ^l
- Reaction des poutrelles	AB : 2629,86	Kg/m ^l
	BC : 2892,46	Kg/m ^l
* travee AB	2879,86	Kg/m ^l
* travee BC	4449,94	Kg/m ^l

Etage courant

charge permanente

- Poids propre de la poutre	250	Kg/m ^l
- Reaction des poutrelles	AB : 2629,86	Kg/m ^l
	BC : 2892,46	Kg/m ^l
	CD : 266,57	Kg/m ^l
* travee AB	2879,86	Kg/m ^l
* travee BC	3142,46	Kg/m ^l
* travee CD	516,57	Kg/m ^l

Portique CC

Niveau II (terrasse)

charge permanente

- Poids propre de la poutre	250	Kg/m ^l
- Reaction des poutrelles	AB : 2842,85	Kg/m ^l
	BC : 2414,03	Kg/m ^l
* travee AB	3092,85	Kg/m ^l
* travee BC	2664,03	Kg/m ^l

Etage courant

charge permanente

- Poids propre de la poutre	250	Kg/m ^l
- Reaction des poutrelles	AB : 2842,85	Kg/m ^l
	BC : 2414,03	Kg/m ^l
	CD : 266,57	Kg/m ^l
* travee AB	3092,85	Kg/m ^l
* travee BC	2664,03	Kg/m ^l
* travee CD	516,57	Kg/m ^l

charge concentrée :

$$\text{Poutre : } 0,22 \cdot 0,3 \cdot 3,3 \cdot 2500 \cdot \frac{1}{2} = 272,25 \text{ Kg}$$

$$\text{mur : } 764,96 \cdot 3,30 \cdot \frac{1}{2} = 1262,18 \text{ Kg.}$$

$$P = 1534,43 \text{ Kg.}$$

P, située à $x = 1,22 \text{ m.}$

54

Portique DD.

Niveau terrasse

- charge permanente

- Poids propre de la poutre	250 Kg/m ²
- Reaction des poutrelles	{ AB 1023,95 Kg/m ² BC 2429,94 Kg/m ² CD 228,75 Kg/m ²
- acroterie	723,21 Kg/m ²
* travee AB	1997,16 Kg/m ²
* travee BC	2679,94 Kg/m ²
* travee CD	478,75 Kg/m ²

Etage courant

- charge permanente

- Poids propre de la poutre	250 Kg/m ²
- Reaction des Poutrelles	{ AB 1023,95 Kg/m ² BC 2429,94 Kg/m ² CD 933,3 Kg/m ²
* travee AB	1273,95 Kg/m ²
* travee BC	2679,94 Kg/m ²
* travee CD	1183 Kg/m ²

- charge concentrée :

$$P \qquad \qquad \qquad 1534,43 \text{ Kg/m}^2$$

P située à une distance x = 1,22 m.

La charge permanente de la console CD est due au poutre + dalle balcon

Portique longitudinal AA

Niveau terrasse

- surcharges : travée (1,2,3,4) :

$$100 \cdot 0,65/2 = 32,5 \text{ Kg/m}^2$$

Etage courant

- Surcharges : travée (1,2,3,4) $175 \cdot 0,65/2 = 56,87 \text{ Kg/m}^2$

Portique 2-2

Niveau terrasse:

- surcharges : travée (1,2,3,4) :

$$100 \cdot 0,65 = 65 \text{ Kg/m}^2$$

Etage courant:

- surcharges : travée (1,2,3,4)

$$175 \cdot 0,65 = 113,75 \text{ Kg/m}^2$$

Portique transversal AA

Niveau terrasse

- surcharges : travée (1,2)

$$1,5 \cdot 100 = 150 \text{ Kg/m}^2$$

Etage courant

- surcharges : travée (1,2)

$$1,5 \cdot 175 = 262,5 \text{ Kg/m}^2$$

Portique transversal BB

Niveau terrasse

- surcharges : travée (1,2) :

$$100 \times 3,75 = 375 \text{ Kg/m}^2$$

Etage courant

- surcharges : travée (1,2) :

$$175 \cdot 3,15 = 551,25 \text{ Kg/m}^2$$

$$\text{console CD: } 1,03 \cdot 300 = 309 \text{ Kg/m}^2.$$

Portique transversal CC

Niveau terrasse

- surcharges : travée (1,2)

$$100 \cdot 3,3 = 330 \text{ Kg/m}^2$$

Etage courant

- surcharges : travée (1,2)

$$175 \cdot 3,3 = 577,5 \text{ Kg/m}^2$$

$$\text{console CD: } 300 \cdot 1,03 = 309 \text{ Kg/m}^2.$$

Portique transversal DD

Niveau terrasse

Surcharges : travée (1)

$$1,65 \cdot 100 + 0,96 \cdot 100 = 261 \text{ Kg/ml}$$

travée (2)

$$3,15 \cdot 100 = 315 \text{ Kg/ml}$$

Niveau courant

Surcharges : travée (1)

$$1,65 \times 175 = 288,75 \text{ Kg/ml}$$

travée (2)

$$3,15 \cdot 175 = 551,25 \text{ Kg/ml}$$

Résultats sous forme de tableau.

G : charge permanente

Portiques transversaux

P : Surcharge

Q : charge concentrée

Niveau	Travée Portique	1 = AB		2 = BC		
		G (t)	P (t)	G (t)	P (t)	Q (t)
IV	A-A	1,492	0,150	1,392	0,15	/
	B-B	2,880	0,315	4,450	0,315	/
	C-C	3,093	0,330	2,664	0,330	/
	D-D	1,997	0,261	2,680	0,315	/
III	A-A	1,926	0,263	1,826	0,263	/
	B-B	2,880	0,551	3,142	0,551	/
	C-C	3,093	0,578	2,664	0,578	1,534
	D-D	1,274	0,289	2,680	0,551	1,534
II	A-A	1,926	0,263	1,826	0,263	/
	B-B	2,880	0,551	3,142	0,551	/
	C-C	3,093	0,578	2,664	0,578	1,534
	D-D	1,274	0,289	2,680	0,551	1,534
I	A-A	1,926	0,263	1,826	0,263	/
	B-B	2,880	0,551	3,142	0,551	/
	C-C	3,093	0,578	2,664	0,578	1,534
	D-D	1,274	0,289	2,680	0,551	1,534

Portiques Longitudinaux:

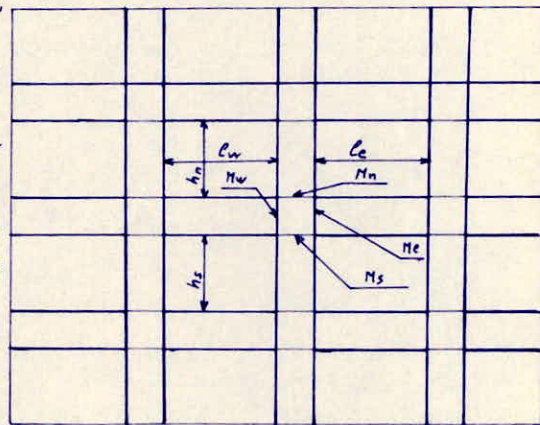
Niveau	travée portique	1		2		3		4	
		G (t)	P (t)						
IV	1-1	0,692	0,325	0,692	0,325	0,593	0,325	0,692	0,325
	2-2	0,573	0,065	0,573	0,065	0,573	0,065	0,643	0,065
	3-3	0,692	0,033	0,592	0,033	0,825	0,033	0,924	0,108
II	1-1	1,065	0,057	1,065	0,057	0,901	0,057	1,065	0,057
	2-2	0,450	0,114	0,450	0,114	0,450	0,114	2,309	0,114
	3-3	1,065	0,057	0,996	0,346	1,065	0,057	5,000	0,690
III	1-1	1,065	0,057	1,065	0,057	0,901	0,057	1,065	0,057
	2-2	0,450	0,114	0,450	0,114	0,450	0,114	2,309	0,114
	3-3	1,065	0,057	0,996	0,346	1,065	0,057	5,000	0,690
II	1-1	1,065	0,057	1,065	0,057	0,901	0,057	1,065	0,057
	2-2	0,450	0,114	0,450	0,114	0,450	0,114	2,309	0,114
	3-3	1,065	0,057	0,996	0,346	1,065	0,057	5,000	0,690
I	1-1	1,065	0,057	1,065	0,057	0,901	0,057	1,065	0,057
	2-2	0,450	0,114	0,450	0,114	0,450	0,114	2,309	0,114
	3-3	1,065	0,057	0,996	0,346	1,065	0,057	5,000	0,690

CHARGES VERTICALES

Le calcul des portiques, sous les charges verticales sera fait par la méthode de CAQUOT exposée en annexe A du CCBA 68.

Exposé de la méthode de CAQUOT.

Les moments de continuité agissant dans les sections des nus d'un appui considéré sont considérés comme section dangereuse, sur les éléments qui se rencontrent en formant un nœud, peuvent être évalués en ne tenant compte que des charges déchargeées encadrant l'appui considéré (travée de gauche indice $l'w$) et travée de droite indice ($l'e$), et la résistance offerte par les tronçons inférieurs et supérieurs des poteaux aboutissant au nœud considéré (tronçon supérieur indice (n) et tronçon inférieur indice (s))



On considère des hauteurs fictives des poteaux :

$$h'n = 0,8 h_n \text{ si le nœud considéré appartient à l'avant dernier plancher}$$

$$h'n = 0,8 h_n \text{ pour les autres cas}$$

$h's = 0,8 h_s$ dans tous les cas hormis le cas exceptionnel où les poteaux seraient articulés sur leur fondations, on prend alors $h's = h_s$

On considère également des travées fictives $l'e$ et $l'w$

Pour les travées intermédiaires ($l'w = 0,8 l_w$; $l'e = 0,8 l_e$)

avec ($l'e$ = portée libre de travée de droite; $l'w$ = portée libre de travée de gauche)

q_w : la charge uniformément répartie par unité de longueur sur la travée de gauche (q_e sur celle de droite)

Q_w : charge concentrée appliquée sur la travée de gauche à la distance a_w du nu de l'appui (q_e , q_e pour la travée de droite)

On pose :

$$M'_w = \frac{q_w l'^w}{8,5} + l'^w R_w Q_w$$

$$M'_e = \frac{q_e \cdot l'^e}{8,5} + l'^e \cdot R_e \cdot q_e$$

Soit I_w , I_e , I_s , et I_n désignant respectivement les moments d'inertie de la travée de gauche, de la travée de droite, de la travée de droite du poteau inférieur et du poteau supérieur

On pose :

$$K_w = \frac{I_w}{l'^w}; K_e = \frac{I_e}{l'^e}; K_s = \frac{I_s}{h's}; K_n = \frac{I_n}{h'n}; D = K_w + K_e + K_n + K_s$$

Les moments dans les sections dangereuses (nus des appuis) sont en valeurs absolues

- Au nu de l'appuis dans la travée de gauche.

$$M_w = M_e \cdot \frac{K_w}{D} + M'_w \left(1 - \frac{K_w}{D}\right)$$

- Au nu de l'appui dans la travée de droite.

$$M_e = M_e \left(1 - \frac{K_e}{D}\right) + M'_w \frac{K_e}{D}$$

- Au nu inférieur des poutres dans le poteau inférieur

$$M_s = \frac{K_s}{D} (M_e - M_w)$$

- Au nu supérieur du plancher dans le poteau supérieur.

$$M_n = \frac{K_n}{D} (M_e - M'_w)$$

Pour les traverses ; les moments M_e et M_w sont négatifs, pour les poteaux la face tendue du tronçon supérieur est du côté correspondant à la plus grande des deux (2) valeurs absolues M'_w , M'_e

La face tendue du tronçon inférieur est du côté opposé.

Travée de rive

- nœud de rive (sans console) (avec console voir CCBA)

$$M_e = M_e \left(1 - \frac{K_e}{D}\right) ; M_s = M_e \frac{K_s}{D} ; M_n = M_e \frac{K_n}{D}$$

- Nœud voisin du nœud de rive

La longueur ℓ_w de la travée fictive de rive est prise égale à :

$$\ell_w = x \ell_w \text{ avec } (x = 0,8 \text{ si } K_s + K_n > 1,5 K_e ; x = 1 - \frac{K_s + K_n}{7,5 K_e} \text{ si } K_s + K_n < 1,5 K_e)$$

- Moment dans les poteaux

On admet que les points de moment nul dans les poteaux se trouvent à h_n au-dessus du plancher et à h_s au-dessous du nu inférieur des poteaux.

- Efforts tranchants dans les poutres.

Conformément à l'annexe A13 du CCBA 68 ; les efforts tranchants seront calculés, en considérant la travée indépendante et en faisant état des moments de continuité et de la charge qui lui est appliquée

$$\Sigma M/B = 0$$

$$R_A \cdot \ell - M_w + M_e - q \frac{\ell^2}{2} = 0$$

$$R_A = \frac{M_w - M_e}{\ell} + q \frac{\ell}{2}$$

d'où l'équation de l'effort tranchant

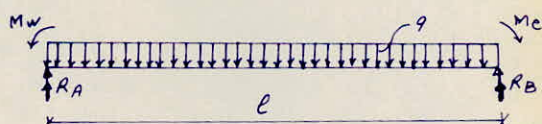
$$T = R_A - qx = q \frac{\ell}{2} + \frac{M_w - M_e}{\ell} - qx$$

$$T_w(x=0) = q \frac{\ell}{2} + \frac{M_w - M_e}{\ell}$$

$$T_e(x=\ell) = -q \frac{\ell}{2} + \frac{M_w - M_e}{\ell}$$

Efforts normaux dans les poutres - Efforts tranchants dans les poteaux.

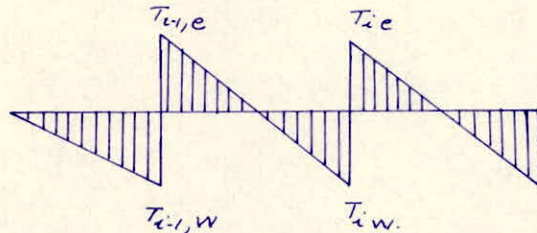
Par simplification ; on ne fait pas état ; dans les calculs des efforts tranchants dans les poteaux, ni des efforts normaux dans les poutres. Ils seront ainsi déterminés à partir des efforts tranchants définis ci-dessus.



Pour les traverses, les moments M_e et M_w sont négatifs. Pour les poteaux la force tendue du tronçon supérieur est du côté', correspondant à la plus grande des 2 valeurs absolues M_e et M_w .

La face tendue du tronçon inférieur est du côté' opposé.

Ainsi pour les charges verticales uniformément réparties provoquant des efforts tranchants schématisés dans les diagramme ci-dessous.



Les réactions développées dans les appuis $(i-1)$ et (i) donnent des efforts de compression dans les poteaux, valant :

$$N_{i-1} = T_{(i-1)e} - T_{(i-1)w}, \quad N_i = T_{ie} - T_{iw}$$

$T_{(i-1)e}$, $T_{(i-1)w}$, T_{ie} et T_{iw} sont en valeurs algébriques.

Caractéristiques géométriques du portique transversal AA

69.

Niveaux	Noeuds	ℓ_w (m)	ℓ_e (m)	h_n (m)	h_s (m)	I_{tw} $10^3 m^4$	I_e $10^3 m^4$	I_n $10^3 m^4$	I_s $10^3 m^4$	ℓ_{lw} (m)	ℓ'_e (m)	h'_n (m)	h'_s (m)	K_w $10^3 N/m$	K_e (m)	K_n $10^3 N/m$	K_s $10^3 N/m$	D $10^3 m^3$
IV	1	/	3,800	/	2,600	/	1,333	/	1,866	/	3,040	/	2,128	/	0,438	/	0,877	1,315
	2	3,800	3,800	/	2,600	1,333	1,333	/	1,866	3,040	3,040	/	2,128	0,438	0,438	/	0,877	1,753
	3	3,800	/	/	2,600	1,333	/	/	1,866	3,040	/	/	2,128	0,438	/	/	0,877	1,315
IV	4	/	3,800	2,600	2,600	/	1,333	1,866	1,866	/	3,040	2,394	2,128	/	0,438	0,779	0,877	2,094
	5	3,800	3,800	2,600	2,600	1,333	1,333	1,866	1,866	3,040	3,040	2,394	2,128	0,438	0,438	0,779	0,877	2,532
	6	3,800	/	2,600	2,600	1,333	/	1,866	1,866	3,040	/	2,394	2,128	0,438	/	0,779	0,877	2,094
III	7	/	3,800	2,600	2,600	/	1,333	1,866	1,866	/	3,040	2,128	2,128	/	0,438	0,877	0,877	2,192
	8	3,800	3,800	2,600	2,600	1,333	1,333	1,866	1,866	3,040	3,040	2,128	2,128	0,438	0,438	0,877	0,877	2,630
	9	3,800	/	2,600	2,600	1,333	/	1,866	1,866	3,040	/	2,128	2,128	0,438	/	0,877	0,877	2,192
II	10	/	3,800	2,600	2,600	/	1,333	1,866	1,866	/	3,040	2,128	2,128	/	0,438	0,877	0,877	2,192
	11	3,800	3,800	2,600	2,600	1,333	1,333	1,866	1,866	3,040	3,040	2,128	2,128	0,438	0,438	0,877	0,877	2,630
	12	3,800	/	2,600	2,600	1,333	/	1,866	1,866	3,040	/	2,128	2,128	0,438	/	0,877	0,877	2,192
I	13	/	3,800	2,600	2,600	/	1,333	1,866	1,866	/	3,040	2,128	2,128	/	0,438	0,877	0,877	2,192
	14	3,800	3,800	2,600	2,600	1,333	1,333	1,866	1,866	3,040	3,040	2,128	2,128	0,438	0,438	0,877	0,877	2,630
	15	3,800	/	2,600	2,600	1,333	/	1,866	1,866	3,040	/	2,128	2,128	0,438	/	0,877	0,877	2,192

62

Portique transversal AA : Moments aux appuis sous G

Niveau	Noeuds	q_c t.m	q_w t.m	M_c t.m	M_w t.m	M_e t.m	M_w t.m	M_f t.m	M_s t.m
II	1	0,150	/	0,163	/	0,109	/	/	0,109
	2	0,150	0,150	0,163	0,163	0,163	0,163	/	/
	3	/	0,150	/	0,163	/	0,109	/	-0,109
IV	4	0,263	/	0,286	/	0,226	/	0,106	0,120
	5	0,263	0,263	0,286	0,286	0,286	0,286	/	/
	6	/	0,263	/	0,286	/	0,226	-0,106	-0,120
III	7	0,263	/	0,286	/	0,229	/	0,114	0,114
	8	0,263	0,263	0,286	0,286	0,286	0,286	/	/
	9	/	0,263	/	0,286	/	0,229	-0,114	-0,114
II	10	0,263	/	0,286	/	0,229	/	0,114	0,114
	11	0,263	0,263	0,286	0,286	0,286	0,286	/	/
	12	/	0,263	/	0,286	/	0,229	-0,114	-0,114
I	13	0,263	/	0,286	/	0,229	/	0,114	0,114
	14	0,263	0,263	0,286	0,286	0,286	0,286	/	/
	15	/	0,263	/	0,286	/	0,229	-0,114	-0,114

Portique transversal AA : Moments aux appuis sous P

Niveau	Noeuds	q_c t.m	q_w t.m	M_c t.m	M_w t.m	M_e t.m	M_w t.m	M_f t.m	M_s t.m
II	1	0,150	/	0,163	/	0,109	/	/	0,109
	2	0,150	0,150	0,163	0,163	0,163	0,163	/	/
	3	/	0,150	/	0,163	/	0,109	/	-0,109
IV	4	0,263	/	0,286	/	0,226	/	0,106	0,120
	5	0,263	0,263	0,286	0,286	0,286	0,286	/	/
	6	/	0,263	/	0,286	/	0,226	-0,106	-0,120
III	7	0,263	/	0,286	/	0,229	/	0,114	0,114
	8	0,263	0,263	0,286	0,286	0,286	0,286	/	/
	9	/	0,263	/	0,286	/	0,229	-0,114	-0,114
II	10	0,263	/	0,286	/	0,229	/	0,114	0,114
	11	0,263	0,263	0,286	0,286	0,286	0,286	/	/
	12	/	0,263	/	0,286	/	0,229	-0,114	-0,114
I	13	0,263	/	0,286	/	0,229	/	0,114	0,114
	14	0,263	0,263	0,286	0,286	0,286	0,286	/	/
	15	/	0,263	/	0,286	/	0,229	-0,114	-0,114

Efforts tranchants sous G Portique AA

Niveau	Travée	q t/mc	M_e t.m	M_w t.m	T_w (t)	T_e (t)
IV	AB	0,15	0,163	0,109	0,328	-0,302
	BC	0,15	0,109	0,163	0,302	-0,328
III	AB	0,263	0,286	0,226	0,567	-0,538
	BC	0,263	0,226	0,286	0,538	-0,567
II	AB	0,263	0,286	0,229	0,566	-0,539
	BC	0,263	0,229	0,286	0,539	-0,566
I	AB	0,263	0,286	0,229	0,566	-0,539
	BC	0,263	0,229	0,286	0,539	-0,566

Efforts tranchants sous P

Niveau	Travée	q t/mc	M_e t.m	M_w t.m	T_w (t)	T_e (t)
IV	AB	0,15	0,163	0,109	0,328	-0,302
	BC	0,15	0,109	0,163	0,302	-0,328
III	AB	0,263	0,286	0,226	0,567	-0,538
	BC	0,263	0,226	0,286	0,538	-0,567
II	AB	0,263	0,286	0,229	0,566	-0,539
	BC	0,263	0,229	0,286	0,539	-0,566
I	AB	0,263	0,286	0,229	0,566	-0,539
	BC	0,263	0,229	0,286	0,539	-0,566

Efforts normaux dans les poteaux sous S_{H^0} , G, P.

Niveau	Poteau	Portique AA			Portique BB			Portique CC			Portique DD		
		S_{H^0}	G	P									
		$N(t)$	$N(t)$	$N(t)$									
V	AA	-1,438	3,255	0,328	-1,415	6,398	0,689	-1,390	6,734	0,722	-1,365	4,410	0,574
	BB	0	5,180	0,604	0	14,772	1,968	0	11,594	1,328	0	9,423	1,344
	CC	1,438	3,049	0,328	1,415	9,627	0,689	1,390	5,852	0,722	+1,365	6,203	0,549
IV	A-A	-3,404	4,145	0,567	-3,079	6,213	1,187	-3,047	6,826	1,245	-3,014	2,984	0,634
	BB	0	7,167	1,076	7,141	12,358	2,271	7,139	11,032	2,382	7,137	7,892	1,721
	CC	3,404	3,938	0,567	-2,029	7,147	1,483	-2,002	6,341	1,542	-1,877	6,700	1,221
III	AA	-4,139	4,140	0,566	-4,137	6,208	1,186	-4,134	6,815	1,244	-4,104	2,980	0,633
	BB	0	7,168	1,078	7,140	12,368	2,272	7,139	11,602	2,383	-0,405	7,917	1,722
	CC	4,139	3,934	0,566	-2,872	7,142	1,483	-2,850	5,777	1,542	-2,683	6,167	1,221
II	A-A	-5,316	4,140	0,566	-5,300	6,208	1,186	-5,281	6,815	1,244	-5,266	2,980	0,633
	BB	0	7,168	1,078	7,142	12,368	2,272	7,141	11,602	2,383	2,394	7,917	1,722
	CC	5,316	3,934	0,566	-3,477	7,142	1,483	-3,465	5,777	1,542	-3,273	6,167	1,221
I	A-A	-5,553	4,100	0,566	5,580	6,208	1,186	-5,531	6,815	1,244	-5,519	2,980	0,633
	BB	0	7,168	1,078	7,134	12,368	2,272	7,130	11,602	2,383	2,511	7,917	1,722
	CC	5,553	3,934	0,566	-3,635	7,142	1,483	-3,628	5,777	1,542	-3,439	6,167	1,221

Niveau	Poteau	Portique 11			Portique 2-2		
		S_{H^0}	G	P	S_{H^0}	G	P
		$N(t)$	$N(t)$	$N(t)$	$N(t)$	$N(t)$	$N(t)$
V	1-9	-7,829	7,074	0,504	-7,793	0,896	0,1
	2-10	0,622	2,145	1,009	0,606	1,778	0,204
	3-11	0	2,115	1,068	0	1,886	0,213
	4-12	-0,835	2,015	1,025	-0,831	1,912	0,205
IV	9-17	-4,102	7,163	0,108	-3,981	0,689	0,180
	10-18	1,367	6,516	0,178	-0,009	1,611	0,352
	11-19	-1,079	3,238	0,188	0	1,592	0,374
	12-20	0,562	3,09	0,180	0,844	3,892	0,357
III	17-25	-5,809	7,163	0,087	-5,772	0,852	0,179
	18-26	1,232	6,518	0,178	1,900	1,448	0,353
	19-27	0	3,241	0,188	0	1,309	0,374
	20-28	-0,072	3,086	0,180	-0,753	4,175	0,357
II	25-33	-7,130	7,630	0,087	-7,069	0,852	1,790
	26-34	1,277	6,516	0,178	2,302	1,448	0,353
	27-35	0	3,241	0,188	0	1,309	0,374
	28-36	0,138	3,086	0,180	-0,989	4,175	0,357
I	33-41	-7,762	7,630	0,087	-7,335	0,852	1,790
	34-42	1,433	6,516	0,178	2,397	1,448	0,353
	35-43	0	3,241	0,188	0	1,309	0,374
	36-44	0,419	3,086	0,180	-9962	4,175	0,357

COMBINAISON DES EFFORTS

Moment en travée

$$\text{sous } (G + 1,2P) \quad M_t = M_o(G+1,P) - \underset{2}{M_w(G)} + M_e(G)$$

$$\text{sous } (G+P+S_{1H}) \quad M_t = M_o(G+P) - \underset{2}{M_w(G)} + M_e(G) + M_t(S_{1H})$$

$$\text{sous } (0,8G+S_{1H}) \quad M_t = M_o(0,8G) - \underset{2}{M_w(0,8G)} + M_e(0,8G) + M_t(S_{1H})$$

$$\text{sous } S_{1H} \quad M_t = \underset{2}{M_e - M_w}$$

Moment aux appuis

$$\text{sous } (G+1,2P) \quad M_a = M_o(G) + 1,2 M_a(P)$$

$$\text{sous } (G+P+S_{1H}) \quad M_a = M_o(G) + M_a(P) + M_a(S_{1H})$$

$$\text{sous } (0,8G+S_{1H}) \quad M_a = M_a(0,8G) + M_a(S_{1H})$$

Effort tranchant (T)

$$\text{sous } (G+1,2P) \quad T = T(G) + 1,2 T(P)$$

$$\text{sous } (G+P+S_{1H}) \quad T = T(G) + T(P) + T(S_{1H})$$

$$\text{sous } (0,8G+S_{1H}) \quad T = 0,8 T(G) + T(S_{1H})$$

Portique AA.

Moments fléchissants dans les poutres. (Combinaison)

La charge γ est exprimée en tonne, les moments en t.m.

66

Niv	Travee	ℓ	sous G	G + 1,2P				G + P + \overleftarrow{SiH}				G + p + \overleftarrow{SiH}				0,8G + \overleftarrow{SiH}				0,8G + \overleftarrow{SiH}				
				$\frac{M_c + M_w}{2}$	q_o	M_o	M_t	M_w	M_e	M_w	M_t	M_e	M_w	M_t	M_e	M_w	M_t	M_e	M_w	M_t	M_e	M_w	M_t	M_e
II	A-B	4,20	1,338	1,672	3,687	2,349	1,212	1,791	2,190	2,930	-3,844	-9,570	1,636	0,329	3,515	2,209	-3,363	-4,245	0,915	0,810				
	B-C	4,20	1,874	1,572	3,466	2,192	1,736	1,139	0,382	1,477	-4,497	-3,788	2,773	2,263	0,853	0,790	-4,186	-3,317	2,084	2,574				
IV	A-B	4,20	1,865	2,321	5,118	3,253	1,926	2,418	5,403	3,779	-8,011	-9,165	2,145	3,289	5,360	2,723	-3,310	-8,608	1,089	3,990				
	B-C	4,20	1,786	2,221	4,897	3,111	2,347	1,840	3,360	2,003	-9,079	-7,940	3,637	5,489	4,047	0,975	-8,539	-7,253	2,609	6,029				
III	A-B	4,20	1,876	2,321	5,118	3,253	1,950	1,419	8,378	4,886	-8,774	-12,186	1,016	4,050	8,942	3,832	-8,073	-11,622	0,038	4,751				
	B-C	4,20	1,796	2,221	4,897	3,111	2,346	1,863	4,183	0,875	-13,687	-8,701	4,745	6,877	4,810	-0,151	-11,552	-8,014	3,719	9,02				
II	A-B	4,20	1,876	2,321	5,118	3,253	1,950	2,419	10,533	5,887	-10,727	-14,341	0,615	5,403	11,097	4,707	-9,426	-13,777	0,035	6,104				
	B-C	4,20	1,796	2,221	4,897	3,111	2,346	1,863	5,476	0,474	-15,842	-10,054	5,746	8,432	6,163	-0,106	-13,707	-9,367	4,516	13,867				
I	A-B	4,20	1,876	2,321	5,118	3,253	1,950	2,419	11,081	5,386	-10,477	-14,889	0,516	5,753	11,645	4,806	-9,776	-14,325	0,064	6,454				
	B-C	4,20	1,796	2,221	4,897	3,111	2,346	1,863	5,826	0,375	-16,390	-10,404	5,245	9,580	6,513	-0,805	-14,257	-9,717	4,665	11,713				

Combinaison des efforts branquants dans les poutres. Port. A.A.

Les efforts branquants sont exprimés en (t)

N°V	Traveé	G + 1,2P		G + P + $\overleftarrow{S.H}$		G + P + $\overleftarrow{S.H}$		0,8G + $\overleftarrow{S.H}$		0,8G + $\overleftarrow{S.H}$	
		T _w	T _e	T _w	T _e	T _w	T _e	T _w	T _e	T _w	T _e
I	A - B	3,649	- 3,373	2,145	- 4,751	5,021	- 1,875	1,166	- 3,847	4,042	- 0,971
	B - C	3,160	- 3,443	1,661	- 4,815	4,537	- 1,936	0,799	- 3,877	3,676	- 7,001
II	A - B	4,825	- 4,590	1,308	- 7,886	8,116	- 1,078	- 0,088	- 6,559	6,720	0,249
	B - C	4,377	- 4,618	0,865	- 7,909	7,673	- 1,101	- 0,419	- 6,884	6,389	0,254
III	A - B	4,819	- 4,596	0,313	- 8,881	9,099	- 1,095	- 1,081	- 7,552	7,705	1,134
	B - C	4,382	- 4,613	- 0,119	- 8,893	8,667	- 0,107	- 1,405	- 7,540	7,381	1,246
IV	A - B	4,819	- 4,596	- 0,610	- 9,804	10,022	+ 0,828	- 2,004	- 8,475	8,628	2,157
	B - C	4,382	- 4,613	- 1,042	- 9,816	9,590	+ 0,816	- 2,328	- 8,663	8,304	2,169
I	A - B	4,819	- 4,596	- 0,847	- 10,041	10,259	+ 2,065	- 2,291	- 8,712	8,865	2,394
	B - C	4,382	- 4,613	- 1,279	- 10,053	9,827	+ 1,053	- 2,565	- 8,700	8,541	2,406

Niveau	Pôleau	G		P		$S_1 \vec{H}$		G+1,2P		G+P+ $S_1 \vec{H}$		G+P+ S_1^L		$0,8G+S_1 \vec{H}$		$0,8G+S_1 \vec{H}$		G+P+1,2S ₁ \vec{H}		G+P+1,2S ₁ \vec{H}^L	
		$H_E(t)$	$H_B(t)$	$H_E(t)$	$H_B(t)$	$M_E(t)$	$M_B(t)$	$M_E(t)$	$M_B(t)$	$M_E(t)$	$M_B(t)$	$M_E(t)$	$M_B(t)$	$M_E(t)$	$M_B(t)$	$M_E(t)$	$M_B(t)$	$M_E(t)$	$M_B(t)$	$M_E(t)$	$M_B(t)$
V	AA	1,081	0,779	0,109	0,106	-3,380	1,818	1,212	0,906	-2,19	2,703	4,1570	-0,933	-2,152	2,942	4,1608	-0,696	-2,866	3,067	3,894	-0,569
IV	AA	0,876	0,837	0,120	0,114	-5,466	3,644	1,020	0,974	-4,147	4,1595	6,462	-2,693	-4,1763	4,184	6,167	-2,974	-5,563	5,324	5,369	-1,964
III	AA	0,837	0,837	0,114	0,114	-6,638	5,431	0,974	0,974	-5,687	6,382	7,1589	-4,480	-5,968	6,100	7,308	-4,762	-7,015	7,468	6,261	-3,394
II	AA	0,837	0,837	0,114	0,114	-7,006	7,006	0,974	0,974	-6,055	7,957	9,957	-6,055	-6,336	7,676	9,676	-6,336	-7,456	9,358	8,556	-4,654
I	AA	0,837	0,837	0,114	0,114	-5,979	8,968	0,974	0,974	-5,028	9,919	8,930	8,017	-5,309	9,638	8,649	-8,298	-6,224	11,720	7,734	-6,226
V	BB	-0,054	-0,034	—	—	-4,173	8,247	-0,054	-0,034	-4,127	8,213	4,119	-2,281	-4,216	8,220	4,130	-2,274	-5,062	2,662	3,284	-1,832
IV	BB	-0,073	-0,036	—	—	-6,806	4,537	-0,073	-0,036	-6,879	4,1501	6,733	-4,573	-6,864	4,508	6,748	4,1566	-8,240	5,408	5,372	-3,666
III	BB	-0,036	-0,036	—	—	-8,287	6,780	-0,036	-0,036	-8,323	6,744	8,252	-6,816	-8,316	6,751	8,258	-6,809	-9,980	8,1	6,594	-5,460
II	BB	-0,036	-0,036	—	—	-8,750	8,750	-0,036	-0,036	-8,786	8,714	8,714	-8,786	-8,779	8,721	8,721	-8,779	-10,536	10,464	6,964	-7,036
I	BB	-0,036	-0,036	—	—	-7,473	11,210	-0,036	-0,036	-7,509	11,174	7,437	-4,246	-7,502	11,181	7,444	-11,239	-9,004	13,416	5,942	-9,004
V	AA	2,088	1,165	0,288	0,233	-3,200	1,187	2,439	1,433	-0,824	3,174	5,576	-0,399	-3,530	2,719	4,890	-0,855	-1,464	2,822	6,936	-0,752
IV	AA	1,311	1,1253	0,251	0,240	-5,423	3,616	1,612	1,1541	-3,861	5,109	6,985	-2,123	-4,374	4,618	6,472	-2,614	-4,946	5,832	5,900	-1,400
III	AA	1,253	1,253	0,240	0,240	-6,607	5,406	1,541	1,1541	-5,714	6,899	8,100	-3,913	+5,605	6,408	7,609	-4,403	-6,935	7,980	6,779	-2,832
II	AA	1,253	1,253	0,240	0,240	-6,987	6,987	1,541	1,1541	-5,494	8,480	8,480	-5,494	-5,985	7,957	7,989	-5,984	-6,891	9,877	7,083	-4,093
I	AA	1,253	1,253	0,240	0,240	-5,968	8,952	1,541	0,945	-4,475	9,265	7,461	-7,939	-4,934	9,954	6,962	-7,943	-5,669	9,849	6,287	-8,655
V	BB	0,854	0,088	—	—	-4,115	8,816	0,854	0,088	-3,262	2,304	4,969	-2,728	-3,432	2,286	4,798	-2,146	-4,084	2,747	4,146	-1,685
IV	BB	0,099	0,095	—	—	-6,764	4,509	0,099	0,095	-6,685	4,604	6,863	-4,414	-6,685	4,583	6,843	-4,433	-8,018	5,506	5,510	-3,512
III	BB	0,095	0,095	—	—	-8,257	6,760	0,095	0,095	-8,112	6,855	8,352	-6,665	-8,181	6,836	8,333	-6,684	-9,813	8,207	6,701	5,313
II	BB	0,095	0,095	—	—	-8,732	8,732	0,095	0,095	-8,637	8,827	8,827	-8,637	-8,656	8,808	8,808	-8,656	-10,383	10,573	7,081	6,891
I	BB	0,095	0,095	—	—	-7,465	11,200	0,095	0,095	-7,370	11,295	7,560	-11,105	-7,389	11,276	7,541	-11,124	-8,863	13,345	6,067	-9,055
V	AA	1,448	0,524	0,189	0,117	-3,792	1,719	0,664	-1,675	-1,1555	2,360	4,829	-1,078	-8,034	2,738	4,1350	-1,209	-2,193	2,704	5,467	-1,422
IV	AA	0,590	0,563	0,132	0,126	-5,326	3,551	0,714	0,748	-4,1604	4,240	6,048	-2,862	-4,954	4,001	5,798	-3,00	-5,669	4,950	7,113	-3,572
III	AA	0,563	0,563	0,126	0,126	-6,540	5,351	0,714	0,714	-5,851	6,040	7,229	-4,662	-6,089	5,801	6,990	-4,900	-7,159	7,110	8,537	-5,732
II	AA	0,563	0,563	0,126	0,126	-6,948	6,948	0,714	0,714	-6,289	7,637	7,637	-6,289	-6,497	7,388	7,398	-6,497	-7,648	9,027	9,027	-7,648
I	AA	0,563	-0,563	0,126	-0,126	-5,955	8,932	-0,714	0,714	-5,266	7,943	6,644	-9,921	-5,505	8,481	6,405	-9,382	-6,457	9,729	7,835	-11,707
V	BB	0,372	0,189	0,029	0,088	-3,988	2,147	0,299	0,406	-3,587	2,423	4,389	-1,871	-3,690	2,297	4,286	-1,997	-4,385	2,852	5,187	-2,300
IV	BB	0,211	0,203	0,099	0,095	-6,666	4,444	0,317	0,330	-6,356	4,742	6,976	-4,146	-6,497	5,057	6,835	-3,831	-7,689	5,631	8,309	-5,035
III	BB	0,203	0,203	0,095	0,095	-8,223	6,728	0,317	0,317	-7,925	7,026	8,521	-6,430	-8,061	7,340	8,385	-6,115	-9,569	8,372	10,166	-7,776
II	BB	0,203	0,203	0,095	0,095	-8,692	8,692	0,317	0,317	-8,394	8,990	8,990	-8,394	-8,529	9,305	8,854	-8,079	-10,130	10,728	10,728	-10,132
I	BB	0,203	-0,203	0,095	-0,095	-7,448	11,172	-0,317	0,317	-7,150	10,874	7,746	-11,470	-7,286	7,109	7,610	-11,335	-8,639	13,108	9,236	-13,704

Partigue A-A.

Partigue BB

Partigue DD

Portique 11

NIVEAUX PORTIQUE	NIVEAUX PORTIQUE	G		P		S _{1H}		G+1,2P		G+P+S _{1H}		G+P+S _{1H} [←]		0,8G+S _{1H}		0,8G+S _{1H} [↑]		G+P+1,2S _{1H}		G+P+1,2S _{1H} [↑]	
		M _E (E)	M _b (E)	M _E (E)	M _b (E)	M _E (E)	M _b (E)	M _E (E)	M _b (E)	M _E (E)	M _b (E)	M _E (E)	M _b (E)								
V	1-9	0,276	0,226	0,13	0,012	-2,934	2,579	0,432	0,240	-1,594	1,817	4,274	-1,347	-2,713	1,760	3,111	-1,400	-3,111	2,133	3,927	-1,657
IV	9-17	0,254	0,242	0,014	0,013	-4,881	3,255	0,272	0,25+	-4,613	3,540	5,149	-3,030	-4,678	3,479	5,084	-3,091	-5,589	4,193	6,125	-3,687
III	17-25	0,242	0,242	0,013	0,013	-5,978	4,891	0,257	0,257	-5,723	5,146	6,233	-4,636	-5,784	5,085	6,172	-4,697	-6,919	6,124	7,429	-5,614
II	25-33	0,242	0,242	0,013	0,013	-6,432	6,432	0,257	0,257	-6,177	6,687	6,687	-6,177	-6,238	6,626	6,626	-6,238	-7,463	7,973	7,973	-7,463
I	33-41	0,242	-0,242	0,013	-0,013	-5,304	7,983	0,257	-0,257	-5,049	7,708	5,559	-8,218	-5,110	7,721	5,1500	-8,205	-6,110	9,301	6,120	-9,811
V	2-10	0,147	0,048	0,025	0,002	-3,650	1,965	0,177	0,050	-3,478	2,015	3,822	-1,915	-3,532	2,003	3,768	-1,927	-4,208	2,408	4,552	-2,309
IV	10-18	0,054	0,051	0,003	0,003	-6,075	4,050	0,057	0,054	-6,018	4,104	6,132	-3,996	-6,032	4,091	6,118	-4,009	-7,233	4,911	7,342	-4,806
III	18-26	0,051	0,051	0,003	0,003	-7,712	6,309	0,054	0,054	-7,658	6,364	7,766	-6,255	-7,671	6,350	7,753	-6,268	-9,200	7,625	9,308	-7,517
II	26-34	0,051	0,051	0,003	0,003	-8,147	8,147	0,054	0,054	-8,093	8,202	8,202	-8,093	-8,106	8,188	8,188	-8,106	-9,722	9,830	9,830	-9,722
I	34-42	0,051	-0,051	0,003	-0,003	-6,802	10,203	0,054	-0,054	-6,748	10,149	6,856	-10,257	-6,761	10,152	6,843	-10,259	-8,108	12,190	8,216	-12,288
V	3-11	-0,04	0,025	—	—	-3,650	1,965	-0,04	-0,039	-3,69	1,926	3,610	-2,004	-3,682	1,926	-3,618	-2,004	-4,420	2,319	4,340	-2,397
IV	11-19	-0,044	0,003	—	—	-6,075	4,050	-0,044	-0,042	-6,119	4,008	6,032	-4,092	-6,110	4,016	6,040	-4,084	-7,334	4,918	7,246	-4,902
III	19-27	-0,042	0,003	—	—	-7,712	6,309	-0,042	-0,042	-7,754	6,267	7,67	-6,351	-7,754	6,275	7,670	-6,343	-9,296	7,520	9,212	-7,613
II	27-35	-0,042	0,003	—	—	-8,147	8,147	-0,042	-0,042	-8,189	8,105	8,105	-8,189	-8,181	8,113	8,113	-8,181	-9,818	9,734	9,734	-9,818
I	35-43	-0,042	-0,003	—	—	-6,802	10,203	-0,042	0,042	-6,844	10,245	6,76	-10,161	-6,836	10,237	6,768	-10,169	-8,204	12,186	8,120	-12,202
V	4-12	-0,014	-0,012	-0,005	-0,002	-3,660	1,965	-0,044	-0,014	-3,689	1,952	3,611	-1,979	-3,661	1,955	3,639	-1,955	-4,419	2,344	4,342	-2,372
IV	12-20	-0,013	-0,013	-0,003	-0,003	-6,075	4,050	-0,017	-0,017	-6,093	4,034	6,059	-4,066	-6,085	4,040	-6,061	-4,060	-7,306	4,844	7,274	-4,876
III	20-28	-0,013	-0,013	-0,003	-0,003	-7,712	6,309	-0,017	-0,017	-7,728	6,293	7,696	-6,325	-7,729	6,229	7,702	-6,319	-9,270	7,555	9,238	-7,587
II	28-36	-0,013	-0,013	-0,003	-0,003	-8,147	8,147	-0,017	-0,017	-8,163	8,132	8,132	-8,163	-8,157	8,137	8,137	-8,157	-9,792	9,760	9,760	-9,792
I	36-44	-0,013	0,013	-0,003	0,003	-6,802	10,203	-0,014	0,017	-6,898	10,219	6,786	-10,187	-6,813	10,213	6,790	-10,193	-8,178	12,260	8,147	-12,228

60

Portique 2-2

Niveau X	Pôleaux	G		P		S1H ⁺		G+1/2P		G+P+S1H ⁺		G+P+S1H ⁻		0,8G+S1H ⁺		0,8G+S1H ⁻		G+P+1,2S1H ⁺		G+P+1,2S1H ⁻	
		M _t (t)	M _b (t)	M _t (t)	M _b (t)																
I	1-9	0,228	0,095	0,026	0,024	-2,872	11,546	0,289	0,124	-2,618	1,691	3,126	-1,401	-2,690	1,622	3,054	-1,470	-3,192	2,334	2,552	-3,758
II	9-17	0,107	0,102	0,026	0,026	-4,834	3,222	0,139	0,133	-4,700	3,350	4,968	-3,094	-4,748	3,304	4,920	-3,40	-5,667	3,994	4,001	-2,450
III	17-25	0,102	0,102	0,026	0,026	-5,943	4,184	0,128	0,133	-5,815	4,992	6,071	-4,736	-5,861	4,946	6,025	-4,782	-6,644	5,965	5,242	-3,763
IV	25-33	0,102	+0,102	0,026	0,026	-6,322	6,322	0,128	0,133	-6,194	6,450	6,450	-6,194	-6,240	6,404	6,404	-6,240	-7,458	7,714	5,186	-4,930
I	33-41	0,102	-0,102	0,026	-0,026	-5,302	7,952	0,128	-0,133	-5,173	7,824	5,429	-8,080	-5,218	7,870	5,383	-8,034	-6,233	3,418	4,369	-6,486
II	4-10	0,044	0,020	0,006	0,005	-3,588	1,932	0,051	0,026	-3,538	1,957	3,638	-1,907	-3,535	1,950	3,640	-1,900	-4,256	2,343	2,920	-1,521
IV	10-18	0,023	0,022	0,006	0,006	-6,027	4,018	0,030	0,029	-5,998	4,046	6,056	-3,39	-5,999	4,036	6,055	-4,000	-7,203	4,850	4,851	-3,186
II	18-26	0,022	0,022	0,006	0,006	-7,672	6,283	0,028	0,029	-7,654	6,311	7,633	-6,255	-7,654	6,300	7,690	-6,266	-9,178	7,568	6,166	-4,998
II	26-34	0,022	0,022	0,006	0,006	-8,127	8,127	0,028	0,029	-8,099	8,155	8,155	-8,099	-8,109	8,145	8,145	-8,109	-9,724	3,780	6,530	-6,474
I	34-42	0,022	-0,022	0,006	-0,006	-6,794	10,192	0,028	-0,029	-6,766	10,164	6,882	-10,220	-6,776	10,174	6,812	-10,210	-8,125	12,202	5,463	-8,182
II	3-11	/	/	/	/	-3,588	1,932	/	/	-3,588	1,932	3,588	-1,932	-3,588	1,932	3,588	-1,932	-3,588	1,932	3,588	-1,932
IV	11-19	/	/	/	/	-6,027	4,018	/	/	-6,027	4,018	6,027	-4,018	-6,027	4,018	6,027	-4,018	-6,027	4,018	6,027	-4,018
III	19-27	/	/	/	/	-7,672	6,283	/	/	-7,672	6,283	-6,283	-6,283	-7,672	6,283	-7,672	-6,283	-7,672	6,283	-7,672	-6,283
II	27-35	/	/	/	/	-8,127	8,127	/	/	-8,127	8,127	8,127	-8,127	-8,127	8,127	8,127	-8,127	-8,127	8,127	8,127	-8,127
I	35-43	/	/	/	/	-6,794	10,192	/	/	-6,794	10,192	10,192	-10,192	-6,794	10,192	10,792	-10,192	-6,794	10,192	10,192	-10,192
II	4-12	0,022	0,305	-0,006	-0,005	-3,588	1,932	0,014	0,319	-3,585	2,252	3,611	-1,672	-3,563	2,192	3,613	-1,672	-4,291	3,638	2,385	-1,226
IV	12-20	0,364	0,349	-0,006	-0,006	-6,027	4,018	0,357	0,342	-5,669	4,1361	6,385	-3,675	-5,748	4,1297	6,306	-3,739	-6,874	5,165	5,180	-2,871
III	20-28	0,349	0,349	-0,006	-0,006	-7,692	6,283	0,342	0,342	-7,336	6,626	8,022	-5,940	-7,400	6,562	7,958	-6,004	-8,872	7,883	6,486	-4,683
II	28-36	0,349	0,349	-0,006	-0,006	-8,127	8,127	0,342	0,342	-7,784	8,470	8,470	-7,784	-7,848	8,406	8,406	-7,848	-9,409	10,095	6,845	-2,847
I	36-44	0,349	-0,349	-0,006	0,006	-6,794	10,192	0,342	-0,342	-6,451	9,1849	7,137	-10,535	-6,575	3,913	7,073	-10,471	-7,810	11,887	5,778	-8,497

70

Partique 1.1

Partique 2.2.

Niv	Pct	G+1,2P		G+P+Si _H ⁺		G+P+Si _H ⁻		0,8G+Si _H ⁺		0,8G+Si _H ⁻		G+P+1,2Si _H ⁺		G+P+1,2Si _H ⁻		
		N(t)	Nc(t)	N(t)	Nc(t)	N(t)	Nc(t)	N(t)	Nc(t)	N(t)	Nc(t)	N(t)	Nc(t)	N(t)	Nc(t)	
II	1-9	1,679	1,679	-0,251	-0,251	3,407	3,407	-0,969	-0,969	2,688	2,688	-0,617	-0,617	3,773	3,773	
IV	9-17	1,735	3,414	-2,303	-2,560	5,745	9,152	-2,722	-3,691	5,332	8,020	-3,114	-3,731	6,550	10,323	
III	17-25	1,734	5,148	-4,092	-6,652	7,526	16,678	-4,105	-8,196	7,113	15,133	-5,254	-8,385	8,620	19,013	
II	25-33	1,734	6,882	-5,413	-12,065	8,847	25,525	-5,826	-14,022	8,434	23,567	-6,839	-15,824	10,27	29,283	
I	33-41	1,734	8,616	-6,044	-18,109	9,478	35,003	-6,457	-20,479	9,065	32,632	-7,600	-23,424	11,03	40,313	
IV	8-10	3,356	3,356	3,775	3,775	25,33	25,33	2,337	2,337	1,095	1,095	3,899	3,899	2,409	2,409	
IV	10-18	6,730	10,086	8,061	11,836	5,387	7,860	6,580	8,917	3,846	4,941	8,334	12,833	5,327	7,736	
III	18-26	6,732	16,818	7,927	19,763	6,853	14,713	6,452	15,368	3,977	8,918	8,173	20,406	5,220	12,958	
II	26-34	6,730	23,548	7,973	27,736	5,419	20,132	6,492	21,859	3,937	12,1855	8,1226	28,632	5,162	18,118	
I	34-42	6,730	30,278	8,129	35,865	5,263	25,395	6,647	28,506	3,781	16,636	8,414	37,046	4,974	23,092	
II	3-11	3,397	3,397	5,883	5,883	3,183	3,183	1,692	1,692	1,692	1,692	3,183	3,183	3,183	3,183	
IV	11-19	3,464	6,861	2,337	8,22	4,495	7,678	1,511	3,203	3,689	5,381	2,131	5,314	4,721	7,904	
III	19-27	3,467	10,328	3,429	11,649	3,429	11,107	2,586	5,789	2,599	7,980	3,429	8,743	3,929	11,333	
II	27-35	3,467	13,795	3,429	15,078	3,429	14,536	2,593	8,382	2,593	10,573	4,077	12,820	3,429	14,782	
I	35-43	3,467	17,262	3,425	18,503	3,425	17,962	2,590	10,972	2,590	13,163	3,429	16,249	3,429	19,792	
IV	4-12	3,245	3,245	2,811	3,811	3,281	3,281	1,381	1,381	1,851	1,851	2,758	2,758	3,322	3,322	
IV	12-20	3,306	6,551	3,851	6,662	3,913	7,194	3,033	4,414	1,911	3,762	3,943	6,701	8,60	5,922	
III	20-28	3,302	9,853	3,194	9,856	3,338	10,532	2,397	6,811	2,541	6,303	3,180	9,881	3,352	9,274	
II	28-36	3,302	13,155	3,404	13,260	3,128	13,660	2,607	9,418	2,331	8,634	3,432	13,313	3,106	12,374	
I	36-44	3,302	16,457	3,689	16,949	2,851	16,511	2,892	12,31	2,103	10,1687	3,770	17,083	2,763	15,137	
II	1-9	1,01	1,01	-0,803	-0,803	-4,389	-4,389	-1,081	-1,081	2,1505	2,1505	-1,162	-1,162	3,142	3,142	
IV	9-17	0,905	1,915	-3,112	-3,915	4,185	4,185	0,461	-3,420	-4,1501	0,156	2,662	-3,910	-5,072	5,650	8,792
III	17-25	3,000	4,915	-4,740	-8,655	6,802	7,263	-5,089	-9,159	6,453	9,114	-5,294	-10,366	6,802	15,594	
II	25-33	3,000	7,915	-6,038	-14,693	5,504	12,767	-6,387	-15,977	7,752	16,865	-5,840	-16,206	11,125	26,719	
I	33-41	3,000	10,915	-6,304	-20,997	7,1834	20,1601	-6,653	-22,630	8,017	24,1872	-6,160	-22,366	11,440	38,159	
II	2-10	2,023	2,023	2,588	2,588	1,376	1,376	2,028	2,028	0,816	0,816	2,703	2,703	1,854	1,854	
IV	10-18	2,033	4,056	1,954	4,1542	1,972	3,348	1,280	3,308	1,28	2,096	1,952	4,661	1,974	3,228	
III	18-26	1,872	5,928	3,701	8,243	-0,099	3,249	3,058	6,366	0,742	2,838	4,081	8,742	-0,479	2,749	
II	26-34	1,872	7,800	4,102	12,345	-2,294	9,955	3,459	9,828	-1,142	7,695	4,562	13,304	-0,96	1,789	
I	34-42	1,872	9,672	4,198	16,543	-0,936	0,019	3,552	13,377	-1,239	0,458	4,677	17,981	-1,075	8,714	
II	3-11	2,142	2,142	2,099	2,099	2,099	2,099	1,509	1,509	1,509	1,509	2,099	2,099	2,099	2,099	
IV	11-19	2,041	4,183	1,966	4,165	1,966	4,165	1,274	2,783	1,274	2,783	1,966	4,065	1,966	4,065	
III	19-27	1,758	5,941	1,683	5,748	1,683	5,748	1,047	3,830	1,047	3,830	1,683	5,748	1,683	5,748	
II	27-35	1,758	7,699	1,683	7,1431	-0,111	5,1637	1,047	4,877	1,047	4,877	1,683	7,1431	1,683	7,1431	
I	35-43	1,758	9,457	1,683	9,114	1,343	6,980	1,047	5,924	1,047	5,924	1,683	9,114	1,683	9,114	
II	4-12	2,158	2,158	1,880	1,880	2,348	2,348	1,299	1,299	1,762	1,767	1,400	1,400	1,862	1,862	
IV	12-20	4,320	6,478	4,119	5,999	2,491	4,779	3,957	5,856	3,079	4,780	5,962	6,662	3,236	5,098	
III	20-28	4,683	11,081	3,779	9,778	5,246	10,065	2,587	7,843	4,093	8,873	3,628	10,29	5,436	10,536	
II	28-36	4,603	15,684	3,603	13,383	3,315	13,380	2,471	10,284	4,1269	13,742	3,420	13,710	5,650	16,784	
I	36-44	4,603	20,287	3571	16,952	5,089	18,469	2,879	12,633	4,1301	17,443	3,38	17,09	5,685	21,869	
P/V	Pct	N(t)		Nc(t)		N(t)		Nc(t)		N(t)		Nc(t)		N(t)		
		G+1,2P		G+P+Si _H ⁺		G+P+Si _H ⁻		0,8G+Si _H ⁺		0,8G+Si _H ⁻		G+P+1,2Si _H ⁺		G+P+1,2Si _H ⁻		

Portique A-A.

Niv.	Poteau	G+1,2P		G+P+S _{1H}		G+P+S _{1H} [←]		0,8G+S _{1H}		0,8G+S _{1H} [←]		G+P+1,2S _{1H}		G+P+1,2S _{1H} [←]	
		N(t)	Nc(t)	N(t)	Nc(t)	N(t)	Nc(t)	N(t)	Nc(t)	N(t)	Nc(t)	N(t)	Nc(t)	N(t)	Nc(t)
II	AA	3,649	3,649	8,145	2,145	5,021	5,021	1,166	1,166	4,042	4,042	1,860	1,860	5,309	5,309
III	AA	4,825	8,474	1,308	3,453	8,116	13,137	-0,088	1,078	6,1720	10,762	0,621	2,487	8,800	14,109
III	AA	4,819	13,293	0,303	3,766	9,099	22,236	-1,081	-0,003	7,705	18,467	-0,566	-1,922	9,980	24,089
II	AA	4,819	18,112	-0,62	3,156	10,022	38,258	-8,044	-2,047	6,147	24,614	-1,673	0,248	11,085	35,174
I	AA	4,779	22,891	-0,847	2,1309	10,259	42,517	-8,242	-4,288	8,865	33,479	-1,998	-1,750	11,330	46,504
IV	BB	6,533	6,533	6,412	6,412	6,412	6,412	4,646	4,646	4,647	4,647	6,412	6,412	0,412	0,412
IV	BB	8,966	15,499	8,751	15,163	8,751	15,163	6,140	10,786	6,140	10,787	8,751	15,163	8,751	9,163
III	BB	8,978	24,477	8,762	23,925	8,762	23,925	6,147	16,933	6,147	16,934	8,762	23,925	8,762	17,925
II	BB	8,978	33,455	8,762	32,687	8,762	32,687	6,147	23,080	6,147	23,081	8,762	32,687	8,762	26,687
I	BB	8,978	42,433	8,762	4195	8,762	41,450	6,147	29,227	6,147	29,228	8,762	41,450	8,762	35,45

Portique BB

Niveau	Poteau	G+1,2P		G+P+S _{1H}		G+P+S _{1H} [←]		0,8G+S _{1H}		0,8G+S _{1H} [←]		G+P+1,2S _{1H}		G+P+1,2S _{1H} [←]	
		N(t)	Nc(t)	N(t)	Nc(t)	N(t)	Nc(t)	N(t)	Nc(t)	N(t)	Nc(t)	N(t)	Nc(t)	N(t)	Nc(t)
II	AA	7,225	7,225	5,672	5,672	8,502	8,502	3,703	3,703	6,533	6,533	5,385	5,385	8,785	8,785
IV	AA	7,637	14,862	4,321	9,930	10,479	18,981	1,891	5,194	8,049	14,582	3,705	9,090	11,095	19,880
III	AA	7,631	22,493	3,024	13,017	11,764	30,745	0,596	5,790	9,336	23,918	2,150	11,240	12,638	32,518
II	AA	7,631	30,124	2,094	15,177	12,684	43,439	-0,334	5,456	10,934	34,852	1,034	12,274	13,750	46,268
I	AA	7,631	37,755	1,854	16,965	12,934	56,373	-0,574	4,882	11,654	46,506	0,746	13,020	14,042	60,310
II	BB	16,293	16,293	16,039	16,039	16,039	16,039	11,546	11,546	11,546	11,546	16,040	16,040	16,040	16,040
IV	BB	15,083	31,376	16,040	32,079	13,218	29,257	11,297	22,843	8,475	20,021	16,320	32,380	12,934	28,974
III	BB	15,094	46,470	16,640	48,719	12,640	47,897	11,894	34,737	7,894	27,875	17,040	49,400	12,240	41,214
II	BB	15,094	61,564	17,064	65,783	12,216	54,193	12,318	47,055	7,470	35,345	17,550	66,950	11,730	52,944
I	BB	15,094	76,658	17,174	82,957	12,106	62,219	12,428	51,483	7,360	42,305	17,68	84,630	11,600	64,544

Portique DD.

Niveau	Poteau	G+1,2P		G+P+S _{1H}		G+P+S _{1H} [←]		0,8G+S _{1H}		0,8G+S _{1H} [←]		G+P+1,2S _{1H}		G+P+1,2S _{1H} [←]	
		N(t)	Nc(t)	N(t)	Nc(t)	N(t)	Nc(t)	N(t)	Nc(t)	N(t)	Nc(t)	N(t)	Nc(t)	N(t)	Nc(t)
II	AA	5,099	5,099	3,619	3,619	6,349	6,349	2,737	2,737	5,467	5,467	3,364	3,364	6,622	6,622
III	AA	3,745	8,844	0,604	4,223	6,432	12,981	0,007	2,744	6,035	11,502	0,001	3,365	7,855	13,857
III	AA	3,740	12,584	7,659	5,882	5,567	18,548	1,063	3,807	4,971	16,473	7,268	4,633	5,958	19,815
II	AA	3,740	16,324	-7,653	4,223	8,879	27,1427	-2,249	1,558	8,983	24,758	-2,706	1,927	9,932	29,747
I	AA	3,740	20,064	-1,906	8,323	9,132	36,559	-2,502	-0,944	8,1536	33,892	-3,010	-1,093	10,23	39,977
II	BB	11,036	11,036	10,767	10,767	10,767	10,767	8,883	8,883	8,883	8,883	10,767	10,767	10,767	10,767
IV	BB	9,957	20,993	10,984	21,751	8,242	19,009	9,406	18,899	6,664	15,547	11,280	22,027	7,970	18,757
III	BB	9,983	30,976	9,834	30,985	10,044	29,053	7,652	8,940	9,462	24,008	9,234	37,262	10,206	28,943
II	BB	9,983	40,95	12,033	43,018	7,245	36,198	10,450	36,390	5,662	29,670	12,512	43,773	6,766	35,709
I	BB	9,983	50,942	12,115	55,168	7,128	43,326	10,587	46,957	5,145	35,215	12,650	56,423	6,624	42,333

FERRAILLAGE DES POUTRES

Conformément à l'article A15 du CCBA 68, il ne sera pas fait état dans les calculs des efforts normaux dans les poutres. les poutres seront donc ferrailées en flexion simple sous la combinaison la plus défavorable entre les sollicitations du premier genre (SP_1) : $G+1,2P$ et les sollicitations du deuxième genre (SP_2) la plus défavorable avec les conditions suivantes :

- Si $\max[1,5 M(SP_1); M(SP_2)] = 1,5 M(SP_2)$; on calcule la section sous SP_1 .
- Si $\max[1,5 M(SP_1); M(SP_2)] = M(SP_2)$; on calcule la section sous SP_2 .

Calcul des armatures longitudinales :

Afin d'obtenir la valeur minimale pour la section des armatures on prendra $\bar{\sigma}_a = \sigma_a$

On calcule $M = \frac{nM}{\bar{\sigma}_a b h^2}$ $\xrightarrow{\text{tableau}} K \text{ et } E$

$$\Rightarrow \sigma_b' = \frac{\bar{\sigma}_a}{K}$$

. Si $\sigma_b' < \bar{\sigma}_b'$ les armatures comprimées ne sont pas nécessaires, la section des armatures tendues est donnée par :

$$A = \frac{M}{\bar{\sigma}_a E h}$$

. Si $\sigma_b' > \bar{\sigma}_b'$ il est nécessaire de prévoir des armatures comprimées, on calcule alors : $K_1 = \frac{15 \cdot \bar{\sigma}_a}{n \bar{\sigma}_b'}$; $K_2 = \frac{15(h-d')}{\bar{\sigma}_a'(h+d')}$

Par conséquent si $K_1 > K_2$ on prend K_1

et $\sigma_b' = \bar{\sigma}_b' \xrightarrow{\text{tableau}} \alpha, M', E$, on aura :

$$\begin{aligned} M_1 &= M' \sigma_b' b h^2 \quad \longrightarrow M_2 = M - M_1 \\ y &= \alpha h \quad \longrightarrow \sigma_a' = \frac{15(y-d')}{y} \bar{\sigma}_b' \end{aligned}$$

La section des armatures comprimées sera : $A' = \frac{M_2}{(h-d') \bar{\sigma}_a'}$

La section des armatures tendues sera : $A = \frac{M_1}{\bar{\sigma}_a \cdot E h} + \frac{M_2}{(h-d') \bar{\sigma}_a'}$; avec $\sigma_a = K \bar{\sigma}_b'$

Si $K_1 < K_2$ on prend K_2 et $\sigma_b' = \frac{\bar{\sigma}_a}{K_2} \xrightarrow{\text{tableau}} M'; E$

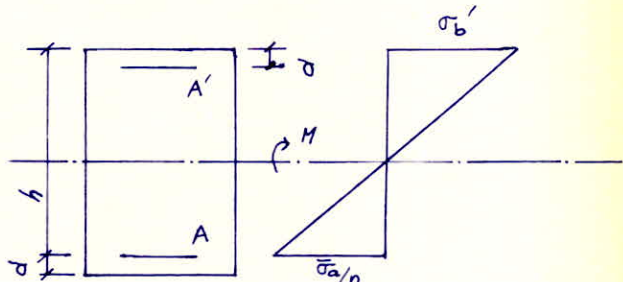
$$\Rightarrow M_1 = M' \sigma_b' b h^2 \rightarrow M_2 = M - M_1$$

La section des armatures comprimées sera : $A' = \frac{M_2}{(h-d') \bar{\sigma}_a'}$

La section des armatures tendues sera : $A = A' + \frac{M_1}{\bar{\sigma}_a \cdot E h}$

Armatures transversales :

Les armatures transversales seront calculées avec l'effort tranchant maximal du niveau. Les armatures seront adoptées pour toutes les travées du niveau considéré.



Contrainte de cisaillement

la contrainte tangente du plan neutre $\bar{\epsilon}_b$ est donnée par : $\bar{\epsilon}_b = \frac{T}{b \cdot z}$

T: effort tranchant maximal

b: Largeur de la nervure

z : bras de levier = $\frac{7}{8}h$.

Contrainte de cisaillement admissible

$$\text{Si } \sigma_b' \leq \bar{\sigma}_{b_0}' \rightarrow \bar{\epsilon}_b = 3,5 \bar{\sigma}_b$$

$$\text{Si } \bar{\sigma}_{b_0}' \leq \sigma_b' < 2\bar{\sigma}_{b_0}' \rightarrow \bar{\epsilon}_b = (4,5 - \frac{\sigma_b'}{\bar{\sigma}_{b_0}'}) \bar{\sigma}_b$$

si $\bar{\epsilon}_b < \bar{\epsilon}_b$ on utilise des cadres et étriers droits

si $\bar{\epsilon}_b < \epsilon_b < 5\bar{\sigma}_b$ on emploie des cadres et étriers droits plus de armatures

Si $\bar{\epsilon}_b < \epsilon$ on doit changer le béton. [inclinées]

Contrainte admissible des armatures transversales :

La contrainte admissible de traction $\bar{\sigma}_{at}$ des armatures transversales droites est :
 $\bar{\sigma}_{at} = \rho_a \bar{\sigma}_{en}$ ave $\rho_a = \max[\frac{2}{3}; 1 - \frac{\bar{\epsilon}_b}{5\bar{\sigma}_b}]$ si la section comporte de reprise de [bentonage].

Ecartement des armatures transversales :

Elle est donnée par : $t = 3 \cdot \bar{\sigma}_{at} \cdot A_t$ A_t : section d'armature transvers. l'écartement maximal admissible E . T_{max}

1 Disposition pratique des armatures (cadres)

Le premier plan d'armatures transversales sera placé à une distance de l'appui égal à $\frac{t}{2}$,

Verifications

Condition de non fragilité :

$$A \geq 0,69 b h \cdot \frac{\bar{\sigma}_b}{\bar{\sigma}_{en}} = 0,69 \cdot \frac{5,9}{4200} =$$

Pourcentage d'armatures

Le pourcentage total minimal des aciers longitudinales sur toute la longueur de la poutre doit être de 0,3% pour les aciers de haute adhérence.
 Le pourcentage total maximum doit être de 8,5% b.h.

Condition de non fissuration .

Dans les justifications de calcul relatives à la fissuration du béton, on prend en compte les sollicitations de service uniquement soit $G + 1, P.P = S$

On calcule :

$$\sigma_1 = \frac{K \eta \bar{\omega}_f}{\phi} ; \sigma_2 = 2,4 \left(\frac{K \eta \bar{\sigma}_b}{\phi} \right)^{1/2} ; K = 1,5 \cdot 10^6 \text{ fissuration peu visible.}$$

$\eta = 1,6$ barres hautes adhérence

$$\bar{\omega}_f = \frac{A}{B_f} = \frac{A}{2b \cdot d}$$

et on doit vérifier que $\sigma_a \leq \min \left[\max(\sigma_1, \sigma_2) ; \frac{2}{3} \sigma_{en} = 8800 \text{ Kg/cm}^2 \right]$

Vérification à la flèche :

La justification de flèche se fait également sous l'effet des sollicitations de service. Les calculs ne comprennent pas l'action des surcharges climatiques soit $S = G + 1,2P$.

Il n'est pas nécessaire de donner une justification de flèche pour les poutres si les conditions suivantes sont vérifiées

$$1. \frac{h_t}{\ell} \geq \frac{1}{16}$$

h_t : hauteur totale de la section

$$2. \frac{h_t}{\ell} \geq \frac{1}{10} \frac{M_t}{M_0}$$

ℓ : portée libre de la poutre.

$$3. \frac{A}{bh} \leq \frac{43}{\sigma_{en}}$$

M_t : moment max en travée

M_0 : moment max dans les travées supposées indépendantes

A : section des armatures tendues.

b : Largeur de la portée.

h : hauteur utile de la section.

σ_{en} : limite d'élasticité nominale des armatures.

Vérification de l'adhérence.

La contrainte de l'adhérence vis-à-vis de l'entrainement des armatures est :

$$\bar{\epsilon}_d = \frac{T}{P \cdot z}$$

T : effort tranchant

P : périmètre utile de l'armature.

La contrainte d'adhérence admissible $\bar{\epsilon}_b = 2,4 \cdot \bar{\epsilon}_d$. $\bar{\epsilon}_b = 2 \cdot 1,5 \cdot 5,9 = 17,7 \text{ Kg/cm}^2$.

Condition de non écrasement du béton.

Dans une partie courbe d'une barre tendue (encrage ou changement de direction de l'armature de traction), le rayon de courbure se doit satisfaire à l'eniglette suivante

$$r \geq 0,10 \frac{\phi}{\bar{\sigma}_{b0}} \left(1 - \frac{\phi}{d} \right) N$$

ϕ : diamètre de barre

d : distance du centre de courbure de la barre à la paroi dont la proximité augmente le danger d'écartement du béton ($d=3,5 \text{ cm}$)

$N=1$ barre faisant partie d'un ensemble de barres disposées en un seul

[P.M.]

$$\text{Pour } \phi = 26 \text{ mm}, r \geq 0,10 \phi \frac{8800}{68,8} \left(1 + \frac{7,6}{3,5} \right) + 1 = 10 \text{ cm}$$

Conditions aux appuis.

a) l'effort tranchant créé des efforts de compression dans des bielles de béton inclinées à 45° : $T \sqrt{2}$

Pour que $\sigma_b' \leq \bar{\sigma}_{b_0}'$ on doit avoir: $C > \frac{2T}{b_0 \cdot \bar{\sigma}_{b_0}'} = C_0$

T: effort tranchant maximal (au rapprochement dérivé)

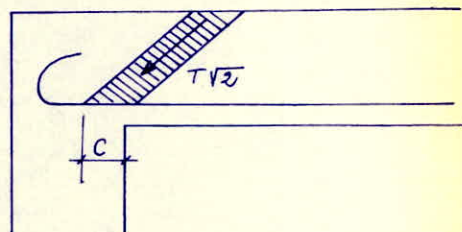
b_0 : Largeur minimale de la poutre.

C: distance du nu de l'appui au point où commence l'ancre de l'armature.

$$\text{inférieure: } C = a - (d + r).$$

a: Largeur du poteau.

r: rayon de courbure.



b) Conditions sur les armatures inférieures:

La section minimale des armatures de traction inférieures, qui doivent être conduites jusqu'à cet appui et ancrées totalement au-delà, doit être susceptible d'équilibrer un effort admissible égal à $T + \frac{M}{3}$.

M: moment fléchissant considéré en valeur algébrique.

T: effort tranchant considéré comme positif.

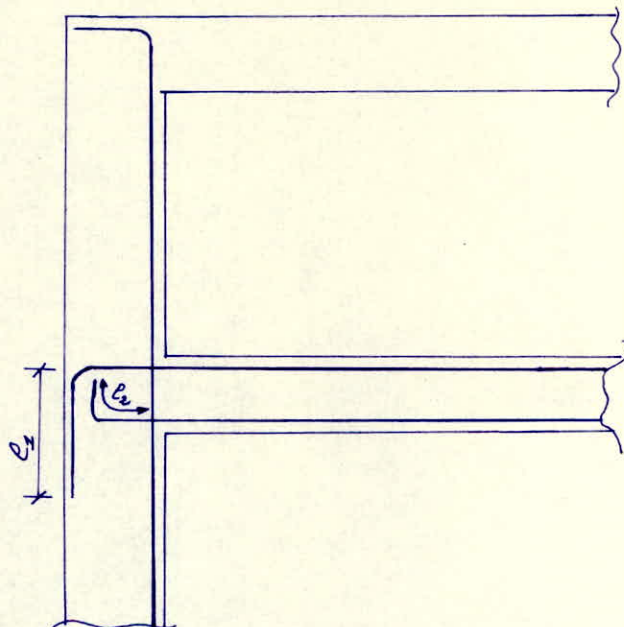
$T + \frac{M}{3}$ doit résulter de la combinaison la plus défavorable.

c) Anchorage des armatures:

L'ancre des armatures longitudinales dans les poteaux de rive et d'angle doit être effectuée conformément à la figure suivante.

$l_2 \geq \max(30\phi, 50\text{cm})$

$l_1 \geq 20\phi$



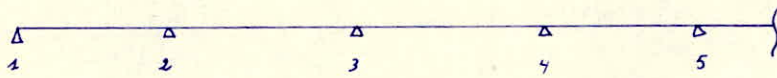
Ferraillage des poutres du portique longitudinal 2-2

Niveau	Section	M t.m	Origine	μ	K	E	A cm ²	Ferraillage adop.
V	1	-3,194	SP ₂	0,0333	48,8	0,9216	2,230	4,62
	1-2	0,942	SP ₂	0,0098	97,5	0,9556	0,634	4,62
	2	-2,831	SP ₂	0,0233	60	0,9334	1,538	4,62
	2-3	0,517	SP ₂	0,0080	109	0,9597	0,52	4,62
	3	-2,212	SP ₂	0,0230	60,5	0,9338	1,524	4,62
	3-4	0,514	SP ₂	0,0080	109	0,9597	0,517	4,62
	4	-2,262	SP ₂	0,0236	59,5	0,9329	1,560	4,62
	4-5	0,464	SP ₂	0,0072	115	0,9615	0,465	4,62
	5	-2,26	SP ₂	0,0235	59,5	0,9329	1,558	4,62
IV	9	-6,634	SP ₂	0,0692	31,5	0,8920	4,785	5,65
	9-10	1,690	SP ₂	0,0176	70,5	0,9415	1,152	4,62
	10	-4,474	SP ₂	0,0466	41	0,9108	3,161	4,62
	10-11	2,819	SP ₂	0,0294	52,5	0,9259	1,956	4,62
	11	-8,350	SP ₂	0,0871	27,1	0,8812	6,097	6,88
	11-12	2,865	SP ₂	0,0299	52	0,9254	1,992	4,62
	12	-5,331	SP ₂	0,0556	35,8	0,9026	3,805	4,62
	12-13	2,958	SP ₂	0,0308	51	0,9242	2,059	4,62
	13	-5,329	SP ₂	0,0556	35,8	0,9016	3,803	4,62
III	17	-9,429	SP ₂	0,0983	25	0,8750	6,928	7,70
	17-18	2,104	SP ₂	0,0219	62	0,9351	1,447	4,62
	18	-6,432	SP ₂	0,0671	31,9	0,8934	4,632	5,65
	18-19	0,864	SP ₂	0,0090	102	0,9573	0,581	4,62
	19	-6,219	SP ₂	0,0648	32,6	0,8950	4,471	5,65
	19-20	0,908	SP ₂	0,0094	99,6	0,9563	0,610	4,62
	20	-7,294	SP ₂	0,0761	29,5	0,8876	5,288	5,65
	20-21	2,962	SP ₂	0,0309	51	0,9242	2,002	4,62
	21	-7,299	SP ₂	0,0761	29,5	0,8876	5,291	5,65
II	25	-11,442	SP ₂	0,1193	22	0,8649	8,513	10,05
	25-26	2,406	SP ₂	0,0251	57,5	0,9310	1,663	4,62
	26	-7,853	SP ₂	0,0819	28,1	0,8840	5,8716	6,88
	26-27	0,896	SP ₂	0,0091	102	0,9573	0,602	4,62
	27	-7,575	SP ₂	0,0790	28,8	0,8858	5,503	5,65
	27-28	0,940	SP ₂	0,0098	97,5	0,9556	0,633	4,62
	28	-8,715	SP ₂	0,0909	26,3	0,8789	6,381	6,88
	28-29	2,962	SP ₂	0,0309	51	0,9242	2,062	4,62
	29	-8,713	SP ₂	0,0909	26,3	0,8789	6,379	6,88
I	33	-11,879	SP ₂	0,1239	21,5	0,8630	8,857	10,05
	33-34	2,764	SP ₂	0,0288	53	0,9265	1,919	4,62
	34	-7,466	SP ₂	0,0779	29,1	0,8866	5,419	5,05
	34-35	0,902	SP ₂	0,0094	99,5	0,9563	0,607	4,62
	35	-8,186	SP ₂	0,0854	27,4	0,8821	5,972	6,88
	35-36	0,946	SP ₂	0,0098	97,5	0,9556	0,637	4,62
	36	-8,983	SP ₂	0,0937	25,8	0,8774	6,588	6,88
	36-37	2,962	SP ₂	0,0309	51	0,9242	2,062	4,62
	37	-8,981	SP ₂	0,0937	25,8	0,8774	6,587	6,88

Verification des contraintes.

Niveau	section	A (cm ²)	M t.m	\bar{w}	E	K	σ_a	σ_b'
V	1	4,62	3,194	0,499	0,8936	32	2090,97	65,34
	1-2	4,62	0,942	0,499	0,8936	32	616,68	19,27
	2	4,62	2,231	0,499	0,8936	32	1460,53	45,64
	2-3	4,62	0,517	0,499	0,8936	32	338,46	10,58
	3	4,62	2,212	0,499	0,8936	32	1448,1	45,25
	3-4	4,62	0,514	0,499	0,8936	32	336,50	10,51
	4	4,62	2,262	0,499	0,8936	32	1480,83	46,27
	4-5	4,62	0,464	0,499	0,8936	32	303,76	9,50
IV	5	4,62	2,26	0,499	0,8936	32	1479,52	46,23
	9	5,65	6,634	0,611	0,8845	28,3	3587,79	126,77
	9-10	4,62	1,690	0,499	0,8936	32	1106,36	34,57
	10	4,62	4,474	0,499	0,8936	32	2928,9	91,53
	10-11	4,62	2,819	0,499	0,8936	32	1845,48	57,67
	11	6,88	8,350	0,743	0,8753	25,1	3747,48	149,30
	11-12	4,62	2,865	0,499	0,8936	32	1875,59	58,61
	12	4,62	5,331	0,499	0,8936	32	3489,97	109,06
	12-13	4,62	2,958	0,499	0,8936	32	1936,47	60,51
	13	4,62	5,329	0,499	0,8936	32	3488,66	109,02
	17	7,70	9,421	0,832	0,8698	23,4	3807,76	162,47
	17-18	4,62	2,104	0,499	0,8936	32	1377,4	43,04
	18	5,65	6,432	0,611	0,8845	28,3	3478,55	122,91
III	18-19	4,62	0,864	0,499	0,8936	32	565,62	17,67
	19	5,65	6,219	0,611	0,8845	28,3	3363,35	118,85
	19-20	4,62	0,908	0,499	0,8936	32	594,43	18,58
	20	5,65	7,294	0,611	0,8845	28,3	3944,70	139,40
	20-21	4,62	2,962	0,499	0,8936	32	1939,09	60,60
	21	5,65	7,299	0,611	0,8845	28,3	3947,4	139,48
	25	10,05	11,442	1,086	0,8563	19,8	3593,42	181
	25-26	4,62	2,406	0,499	0,8936	32	1575,10	49,22
	26	6,88	7,853	0,743	0,8753	25,1	3524,42	140,41
	26-27	4,62	0,896	0,499	0,8936	32	586,57	18,33
II	27	5,65	7,575	0,611	0,8845	28,3	4096,70	144,76
	27-28	4,62	0,940	0,499	0,8936	32	615,38	19,23
	28	6,88	8,715	0,743	0,8753	25,1	3911,29	155,82
	28-29	4,62	2,962	0,499	0,8936	32	1939,09	60,60
	29	6,88	8,713	0,743	0,8753	25,1	3910,39	155,79
	33	10,05	11,879	1,083	0,8563	19,8	3730,66	188,42
	33-34	4,62	12,764	0,499	0,8936	32	8356,03	261,12
	34	5,65	7,466	0,611	0,8845	28,3	4037,75	142,68
	34-35	4,62	0,902	0,499	0,8936	32	590,50	18,45
	35	6,88	8,186	0,743	0,8753	25,1	3673,87	146,37
I	35-36	4,62	0,946	0,499	0,8936	32	619,30	19,35
	36	6,88	8,983	0,743	0,8753	25,1	4031,57	160,62
	36-37	4,62	2,962	0,499	0,8936	32	1939,09	60,60
	37	6,88	8,981	0,743	0,8753	25,1	4030,67	160,58

Armatures inférieures aux appuis.



Niveau	Section	M t.m	Origine	M	K	E	$A (cm^2)$	Ferrailage (cm)
II	1	2,462	SP ₂	0,0275	54,5	0,9281	1,830	(3,39) 3T ₂
	2	1,607	SP ₂	0,0167	72,5	0,9429	1,090	3,39 3T ₂
	3	1,494	SP ₂	0,0156	75,5	0,9448	1,077	3,39 3T ₂
	4	1,496	SP ₂	0,0156	75,5	0,9448	1,019	3,39 3T ₂
	5	1,601	SP ₂	0,0167	72,5	0,9429	1,092	3,39 3T ₂
IV	9	6,218	SP ₂	0,0648	32,6	0,8950	4,470	5,65 3T ₂ +2T ₄
	10	3,973	SP ₂	0,0414	42,8	0,9135	2,790	4,62 3T ₄
	11	7,744	SP ₂	0,0808	28,4	0,8848	5,630	6,88 3T ₄ +2T ₂
	12	3,467	SP ₂	0,0362	46,4	0,9186	2,430	4,62 3T ₄
	13	3,289	SP ₂	0,0343	48	0,9206	2,890	4,62 3T ₄
III	17	9,002	SP ₂	0,0939	25,8	0,8774	6,602	7,70 3T ₄ +2T ₄
	18	5,931	SP ₂	0,0618	33,6	0,8971	4,250	5,65 3T ₂ +2T ₂
	19	5,613	SP ₂	0,0585	34,8	0,8996	4,015	5,65 3T ₂ +2T ₂
	20	5,251	SP ₂	0,0547	36,2	0,9023	3,740	5,65 3T ₂ +2T ₂
	21	5,243	SP ₂	0,0547	36,2	0,9023	3,739	4,62 3T ₄
II	25	11,023	SP ₂	0,1150	22,5	0,8667	8,184	9,11 3T ₆ +2T ₄
	26	7,352	SP ₂	0,0767	29,3	0,8871	5,330	6,88 3T ₄ +2T ₂
	27	6,969	SP ₂	0,0727	30,3	0,8896	5,040	6,88 3T ₄ +2T ₂
	28	6,664	SP ₂	0,0695	31,2	0,8918	3,820	6,88 3T ₄ +2T ₂
	29	6,664	SP ₂	0,0695	31,2	0,8918	3,820	6,88 3T ₄ +2T ₂
I	33	11,46	SP ₂	0,1196	22	0,8649	8,530	10,05 3T ₆ +2T ₄
	34	8,222	SP ₂	0,0858	27,3	0,8818	6,000	7,70 3T ₄ +2T ₄
	35	7,580	SP ₂	0,0791	28,8	0,8858	5,500	6,88 3T ₄ +2T ₂
	36	6,932	SP ₂	0,0723	30,4	0,8899	5,010	6,88 3T ₄ +2T ₂
	37	6,932	SP ₂	0,0723	30,4	0,8899	5,010	6,88 3T ₄ +2T ₂

Armatures inférieures

Niveaux	Appuis	M (t.m)	T (t)	$T + \frac{M}{3}$ (t)	A (cm^2)	$A\bar{\sigma}_a$ kg.
IV	1	-3,194 2,642	4,389	<0 11578	4,62 3,39	19404 14238
	2	-2,832 1,607	2,717	<0 7089	4,62 3,39	19404 14238
	3	-2,212 1,494	2,235	<0 6300	4,62 3,39	19404 14238
	4	-2,262 1,496	2,480	<0 6550	4,62 3,39	19404 14238
	5	-2,260 1,601	3,098	<0 7454	4,62 3,39	19404 14238
II	9	-6,634 6,218	4,850	<0 21769	5,65 5,65	23730 23730
	10	-4,474 3,973	5,130	<0 15940	4,62 4,62	19404 19404
	11	-8,350 7,744	4,836	<0 25908	6,88 6,88	28896 28896
	12	-5,331 3,467	6,667	<0 16101	4,62 4,62	19404 19404
	13	-5,329 3,289	6,782	<0 15731	4,62 4,62	19404 19404
III	17	-9,421 9,002	6,802	<0 31297	7,70 7,70	32340 32340
	18	-6,432 5,931	6,432	<0 22570	5,65 5,65	23730 23730
	19	-6,819 5,613	4,833	<0 20106	5,65 5,65	23730 23730
	20	-7,294 5,251	8,257	<0 22545	5,65 5,65	23730 23730
	21	-7,299 5,243	8,260	<0 16526	5,65 4,62	23730 19404
II	25	-11,442 11,023	7,752	<0 37745	10,05 9,11	42210 38262
	26	-7,853 7,352	7,730	<0 27735	6,88 6,88	28896 28896
	27	-7,575 6,969	5,489	<0 24452	6,65 6,88	23730 28896
	28	-8,715 6,664	8,468	<0 26601	6,88 6,88	28896 28896
	29	-8,713 6,664	9,333	<0 27466	6,88 6,88	28896 28896
I	33	-11,879 11,46	8,017	<0 39200	4,62 10,05	19404 42210
	34	-7,466 8,222	7,996	<0 30368	4,62 7,70	19404 32340
	35	-8,186 7,580	5,659	<0 26284	4,62 6,88	19404 28896
	36	-8,383 6,932	9,128	<0 27991	6,88 6,88	28896 28896
	37	-8,981 6,932	9,535	<0 28397	6,88 6,88	28896 28896

Armatures transversales portique 22.

(SP₂)

Niveau	Appui	$T_{max}(t)$	$\sigma_b' \text{ kg/cm}^2$	ε_b	$\bar{\varepsilon}_b$	$A_t \text{ cm}^2$	$t \text{ (cm)}$	$E \text{ (cm)}$	$t_{\text{adopté}} \text{ (cm)}$
IV	1	4,389	65,34	8,13	31	2,01	41,51	21,70	20
	2	2,717	45,64	5,03	31	2,01	67,06	27,54	20
	3	2,235	45,25	4,14	31	2,01	81,52	23,81	20
	4	2,480	46,27	4,59	31	2,01	73,47	28,36	20
	5	3,098	46,27	5,74	31	2,01	58,81	26,20	20
V	9	4,850	126,77	8,99	28,95	2,01	37,56	20,09	20
	10	5,130	91,53	9,50	31	2,01	35,51	19,13	19
	11	4,836	149,30	8,96	27,02	2,01	37,67	20,14	20
	12	6,667	109,06	12,35	30,47	2,01	27,32	13,78	10
	13	6,782	109,02	12,56	30,47	2,01	26,86	13,87	10
III	17	6,802	162,47	12,60	25,89	2,01	26,78	13,89	10
	18	6,432	122,91	11,92	29,28	2,01	28,32	14,57	10
	19	4,833	118,81	8,96	29,63	2,01	37,70	20,14	20
	20	8,257	139,40	15,30	27,87	2,01	22,06	8,21	8
	21	8,260	139,48	15,31	27,86	2,01	22,05	8,19	8
II	25	7,751	181	74,36	24,30	2,01	33,50	9,98	8
	26	7,730	140,41	14,32	27,78	2,01	33,57	10,08	8
	27	5,489	144,76	10,77	27,41	2,01	33,19	7,40	7
	28	8,468	155,82	15,69	26,46	2,01	31,51	7,40	7
	29	9,333	155,79	17,29	26,46	2,01	19,52	7,40	7
I	33	8,017	188,42	14,86	23,66	2,01	22,72	7,40	7
	34	7,996	142,68	14,82	27,59	2,01	22,78	7,40	7
	35	5,659	146,37	10,49	27,27	2,01	32,19	7,40	7
	36	9,128	160,62	16,91	26,05	2,01	19,96	7,40	7
	37	9,535	160,62	17,67	26,05	2,01	19,10	7,40	7

zone nodule: $t \leq \min(\frac{b}{4}, 12\phi, 30\text{cm}) = 8,6\text{cm}$; zone courante $t \leq \frac{b}{2} = 20\text{cm}$.

Conditions aux appuis

$$c_0 = \frac{2.8468 \cdot 10^3}{25 \cdot 68,5} = 9,85 \text{ cm.}$$

$c > c_0$ vérifiée.

$$c = 40 - (4 + 10) = 26 \text{ cm.}$$

Condition de non entraînement de barres.

$$T_{\max} = 8,462 t.$$

$$\bar{\sigma}_d = \frac{8,468 \cdot 10^3 \cdot 8}{20,51 \cdot 7 \cdot 37} = 12,75 \text{ Kg/cm}^2 < \bar{\sigma}_d = 17,7 \text{ Kg/cm}^2$$

vérifiée.

Vérification à la fissuration

$$\omega_f = \frac{3,39}{2 \cdot 25 \cdot 3,5} = 0,019$$

$$K = 1,5 \cdot 10^6$$

$$\sigma_1 = K \cdot \frac{n}{\phi} \cdot \frac{\omega_f}{1+10\omega_f} = 23949,58 \text{ Kg/cm}^2$$

$$\eta = 1,6$$

$$\phi_{\max} = 1,6 \text{ cm.}$$

$$\sigma_2 = 2,4 \left(\frac{Kn}{\phi} \bar{\sigma}_b \right)^{1/2} = 7139,74 \text{ Kg/cm}^2$$

$$\sigma_a \leq \min \{ \max (\sigma_1, \sigma_2), 2800 \text{ Kg/cm}^2 \} = 2800 \text{ Kg/cm}^2.$$

Vérification à la flèche

$$1- \frac{h_t}{l} \geq \frac{1}{16} \Leftrightarrow 0,112 > 0,065$$

$$2- \frac{h_t}{l} \geq \frac{M_b}{10 M_o} \Leftrightarrow 0,112 > 0,107.$$

$$3- \frac{A}{b \cdot h} \leq \frac{43}{\sigma_{en}} \Rightarrow A \leq \frac{43 \cdot b \cdot h}{\sigma_{en}} \Leftrightarrow A \leq \frac{43 \cdot 25 \cdot 37}{4200} = 9,47$$

c'est vérifiée, il n'est pas utile de donner une justification de flèche.

Condition de non fragilité.

$$A \geq \begin{cases} A_0 : \text{la plus petite section d'armature adoptée : } 3,39 \text{ cm}^2 \\ \min \begin{cases} A_1 = 1,2 A_0 = 4,068. \\ A_2 = 0,69 \cdot \frac{\bar{\sigma}_b}{\sigma_{en}} b \cdot h = 0,896 \text{ cm}^2 \end{cases} \end{cases}$$

vérifié.

Condition de non écrasement du béton:

Le rayon de courbure r doit être ou satisfaire à l'inégalité suivante:

$$r \geq 0,10 \cdot \frac{\bar{\sigma}_a}{\bar{\sigma}'_{bo}} \left(1 + \frac{\bar{\sigma}_a}{\bar{\sigma}_{bo}} \right) v$$

$$\phi_{\max} = 16 \text{ mm ; } v = 1.$$

$$r \geq 0,1 \cdot 1,6 \cdot \frac{2800}{68,8} \left(1 + \frac{1,6}{3,5} \right) = 9,48 \approx 10 \text{ cm.}$$

Ferraillage des poutres du portique longitudinal t-1

Niv.	section	M. t.m	origine	α_s	K	E	$A(\text{cm}^2)$	(cm^2) acciers adoptés.
IV	1	-3,1342	SP ₂	0,0348	47,6	0,9201	2,337	3,39
	1-2	0,887	SP ₂	0,0138	80,5	0,9476	0,90	3,39
	2	-2,476	SP ₂	0,0258	56,5	0,9301	1,713	3,39
	2-3	1,034	SP ₂	0,0161	74	0,9438	1,06	3,39
	3	-2,439	SP ₂	0,0254	57	0,9306	1,686	3,39
	3-4	0,945	SP ₂	0,0148	77,5	0,9460	0,96	3,39
	4	-2,463	SP ₂	0,0257	56,5	0,9301	1,704	3,39
	4-5	0,846	SP ₂	0,0132	82,5	0,9487	0,860	3,39
	5	-2,463	SP ₂	0,0257	56,5	0,9301	1,704	3,39
	9	-6,966	SP ₂	0,0726	30,4	0,8899	5,037	5,65
IV	9-10	1,856	SP ₂	0,0193	67	0,9390	1,270	3,39
	10	-4,823	SP ₂	0,0503	38,2	0,9060	3,425	4,62
	10-11	0,858	SP ₂	0,0134	82	0,9485	0,870	3,39
	11	-4,742	SP ₂	0,0494	38,6	0,9067	5,229	5,65
	11-12	2,202	SP ₂	0,0289	60,5	0,9338	1,520	3,39
	12	7,639	SP ₂	0,0797	28,6	0,8853	5,551	5,65
	12-13	0,708	SP ₂	0,0110	91,5	0,9531	0,720	3,39
	13	-4,809	SP ₂	0,0501	38,2	0,9060	3,415	4,62
	17	-9,743	SP ₂	0,1016	24,5	0,8734	6,569	6,88
	17-18	2,265	SP ₂	0,0236	59,5	0,9329	1,562	3,39
III	18	-6,778	SP ₂	0,0407	30,9	0,8911	4,894	5,65
	18-19	1,995	SP ₂	0,0208	64	0,9367	1,370	3,39
	19	-8,629	SP ₂	0,0900	26,5	0,8795	6,313	6,88
	19-20	1,860	SP ₂	0,0194	67	0,9390	1,270	3,39
	20	-10,336	SP ₂	0,1078	23,6	0,8705	7,640	7,70
	20-21	0,708	SP ₂	0,0110	91,5	0,9531	0,720	3,39
	21	-6,759	SP ₂	0,0705	31	0,8913	4,879	5,65
	25	-11,533	SP ₂	0,1834	21,5	0,8630	8,823	9,11
	25-26	2,605	SP ₂	0,0271	55	0,9286	1,805	3,39
	26	-8,183	SP ₂	0,0850	27,5	0,8824	5,967	6,88
II	26-27	2,592	SP ₂	0,0270	55	0,9286	1,796	3,39
	27	-11,106	SP ₂	0,1158	22,5	0,8667	8,242	9,11
	27-28	2,457	SP ₂	0,0256	57	0,9306	1,690	3,39
	28	-11,620	SP ₂	0,1212	21,8	0,8641	8,653	9,11
	28-29	0,708	SP ₂	0,0110	91,5	0,9531	0,720	3,39
	29	-8,170	SP ₂	0,0852	27,4	0,8821	5,960	6,88
	33	-12,246	SP ₂	0,1015	24,5	0,8734	8,04	9,11
	33-34	3,182	SP ₂	0,0332	48,8	0,9216	2,220	3,39
	34	-8,441	SP ₂	0,0880	26,9	0,8807	6,167	6,88
	34-35	3,057	SP ₂	0,0319	50	0,9231	2,130	3,39
I	35	-12,271	SP ₂	0,1280	21	0,8611	9,170	10,05
	35-36	2,922	SP ₂	0,0305	51,5	0,9248	2,033	3,39
	36	-11,855	SP ₂	0,1237	21,5	0,8630	8,839	9,11
	36-37	0,708	SP ₂	0,0110	91,5	0,95	0,720	3,39
	37	-8,428	SP ₂	0,0879	26,9	0,8807	6,158	6,88
								3 T ₁₄ + 2 T ₁₂

Verification des contraintes.

P. 1-1

N°IV	Sect.	M t/m	A cm²	W	E	K	σ_a Kg/cm²	σ_b Kg/cm²
IV	1	-3,342	3,39	0,366	0,9064	38,4	2939,5	76,55
	1-2	0,887	3,39	0,366	0,9064	38,4	780,19	20,38
	2	-3,476	3,39	0,366	0,9064	38,4	2177,8	56,31
	2-3	1,034	3,39	0,366	0,9064	38,4	909,49	23,68
	3	-2,439	3,39	0,366	0,9064	38,4	2145,3	55,87
	3-4	0,945	3,39	0,366	0,9064	38,4	831,21	21,65
	4	-2,453	3,39	0,366	0,9064	38,4	2166,42	56,42
	4-5	0,846	3,39	0,366	0,9064	38,4	744,13	19,38
	5	-2,463	3,39	0,366	0,9064	38,4	2166,42	56,42
	9	-6,966	5,65	0,611	0,8845	28,3	3767,34	133,12
IV	9-10	1,856	3,39	0,366	0,9064	38,4	1638,51	42,51
	10	-4,823	4,62	0,499	0,8936	32	3157,40	98,67
	10-11	0,858	3,39	0,366	0,9064	38,4	754,68	19,65
	11	-4,742	5,65	0,611	0,8845	28,3	2564,56	90,62
	11-12	2,202	3,39	0,366	0,9064	38,4	1936,85	50,44
	12	-7,639	5,65	0,611	0,8845	28,3	4131,30	145,98
	12-13	0,708	3,39	0,366	0,9064	38,4	622,75	16,22
	13	-4,809	4,62	0,499	0,8936	32	3748,24	98,38
	17	-9,743	6,88	0,743	0,8753	25,1	4372,66	174,20
	17-18	2,265	3,39	0,366	0,9064	38,4	1998,26	51,88
III	18	-6,778	5,65	0,611	0,8845	28,3	3665,67	129,53
	18-19	1,995	3,39	0,366	0,9064	38,4	1754,77	45,69
	19	-8,629	6,88	0,743	0,8753	25,1	3872,69	154,29
	19-20	1,860	3,39	0,366	0,9064	38,4	1636,03	42,60
	20	-10,336	7,70	0,832	0,8698	23,4	4772	178,25
	20-21	0,708	3,39	0,366	0,9064	38,4	622,75	16,22
	21	-6,759	5,65	0,611	0,8845	28,3	3655,40	129,16
	25	-11,833	9,11	0,985	0,8615	21,1	4074,92	193,12
	25-26	2,605	3,39	0,366	0,9064	38,4	2891,32	59,67
	26	-8,183	6,88	0,743	0,8753	25,1	3672,53	146,31
II	26-27	2,592	3,39	0,366	0,9064	38,4	2279,89	59,37
	27	-11,106	9,11	0,985	0,8615	21,1	3824,56	181,25
	27-28	2,457	3,39	0,366	0,9064	38,4	2161,14	56,28
	28	-11,620	9,11	0,985	0,8615	21,1	4001,75	189,65
	28-29	0,708	3,39	0,366	0,9064	38,4	622,75	16,22
	29	-8,170	6,88	0,743	0,8753	25,1	3666,69	146,08
	33	-12,246	9,11	0,985	0,8615	21,1	3759,86	178,19
	33-34	3,182	3,39	0,366	0,9064	38,4	2798,80	72,88
	34	-8,441	6,88	0,743	0,8753	25,1	3788,32	150,93
	34-35	3,057	3,39	0,366	0,9064	38,4	2688,90	70,02
I	35	-12,271	10,05	1,086	0,8567	19,9	3851,97	193,56
	35-36	2,922	3,39	0,366	0,9064	38,4	2570,15	66,93
	36	-11,855	9,11	0,985	0,8615	21,1	4082,50	193,48
	36-37	0,708	3,39	0,366	0,9064	38,4	622,75	16,22
	37	-8,428	6,88	0,743	0,8753	25,1	3782,49	150,70

Armatures inférieures aux appuis.

P. 11.

Niveau	Section	M (t.m)	M	K	E	A	Aciers adoptés.	
V	1	2,715	0,0283	53,5	0,9270	1,884	3,39	$3T_{12}$
	2	1,348	0,0140	80	0,9474	0,915	3,39	$3T_{12}$
	3	1,505	0,0157	75	0,9445	1,025	3,39	$3T_{12}$
	4	1,615	0,0168	72	0,9425	1,10	3,39	$3T_{12}$
	5	1,441	0,0150	77	0,9457	0,98	3,39	$3T_{12}$
IV	9	6,076	0,0634	33,1	0,8960	4,36	5,65	$3T_{12} + 2T_{14}$
	10	3,747	0,0391	44,4	0,9158	2,63	4,62	$3T_{14}$
	11	3,538	0,0369	46	0,9180	2,48	3,39	$3T_{12}$
	12	6,537	0,0682	37,6	0,8927	4,71	5,65	$3T_{12} + 2T_{14}$
	13	3,757	0,0392	44,4	0,9158	2,64	4,62	$3T_{14}$
III	17	8,846	0,0923	26	0,8780	6,48	7,70	$3T_{14} + 2T_{16}$
	18	5,697	0,0594	34,4	0,8988	4,08	6,88	$3T_{14} + 2T_{12}$
	19	7,424	0,0774	29,2	0,8869	5,39	6,88	$3T_{14} + 2T_{12}$
	20	5,707	0,0595	34,4	0,8988	4,08	5,65	$3T_{12} + 2T_{14}$
	21	5,707	0,0595	34,4	0,8988	4,08	6,88	$3T_{14} + 2T_{12}$
II	25	10,936	0,1141	22,7	0,8674	8,11	10,05	$3T_{16} + 2T_{14}$
	26	7,108	0,0741	30	0,8889	5,15	7,70	$3T_{14} + 2T_{14}$
	27	9,836	0,1026	24,3	0,8728	7,25	9,11	$3T_{16} + 2T_{14}$
	28	7,118	0,0742	29,9	0,8886	5,15	6,88	$3T_{14} + 2T_{12}$
	29	7,118	0,0742	29,9	0,8886	5,15	7,70	$3T_{14} + 2T_{14}$
I	33	12,226	0,1275	21,1	0,8615	9,13	9,11	$3T_{16} + 2T_{14}$
	34	7,366	0,0768	29,3	0,8871	5,34	9,11	$3T_{16} + 2T_{14}$
	35	11,006	0,1148	22,6	0,8671	8,16	9,11	$3T_{16} + 2T_{14}$
	36	11,006	0,1148	22,6	0,8671	8,16	9,11	$3T_{16} + 2T_{14}$
	37	7,376	0,0769	29,3	0,8871	5,35	5,65	$3T_{12} + 2T_{12}$

Armatures inférieures.

Niveau	Appuis	M (t.m)	T (t)	$T + M/3$ Kg	A (cm^2)	$A \bar{T}_a$ Kg
IV	1	-3,342 2,715	3,407	<0 10794	3,39 3,39	14238 14238
	2	-2,476 1,348	3,302	<0 6970	3,39 3,39	14238 14238
	3	-2,439 1,1505	2,883	<0 6978	3,39 3,39	14238 14238
	4	-2,463 1,615	2,968	<0 7362	3,39 3,39	14238 14238
	5	-2,463 1,441	2,974	<0 6895	3,39 3,39	14238 14238
III	9	-6,966 6,076	5,745	<0 22278	5,65 5,65	23730 23730
	10	-4,823 3,747	8,870	<0 19065,9	4,62 4,62	19404 19404
	11	-4,742 3,538	4,1502	<0 14129	5,65 3,39	23730 14238
	12	-7,639 0,1537	6,065	<0 17793	5,65 5,65	23730 23730
	13	-4,809 3,757	8,057	<0 18280	4,62 4,62	19404 19404
II	17	-9,743 8,846	7,526	<0 31596	6,88 7,70	28896 32340
	18	-6,778 5,697	10,653	<0 26152	5,65 6,88	23730 28896
	19	-8,629 7,424	6,429	<0 26630	6,88 6,88	28896 28896
	20	-10,336 5,707	6,333	<0 21862	7,70 5,65	32340 23730
	21	-6,759 5,707	9,529	<0 25058	5,65 6,88	23730 28896
I	25	-11,833 10,936	8,847	<0 38604	9,11 10,05	38262 42210
	26	-8,183 7,109	11,974	<0 31315	6,88 7,70	28896 32340
	27	-11,106 9,836	7,704	<0 34468	7,70 9,11	32340 38262
	28	-11,62 7,118	7,398	<0 26766	9,11 6,88	38262 28896
	29	-8,170 7,118	9,672	<0 29040	6,88 7,70	28896 32340
	33	-12,146 12,226	9,478	<0 42746	9,11 72,31	38262 51702
	34	-8,442 7,366	12,607	<0 32650	6,88 9,11	28896 38262
	35	-12,271 11,006	8,179	<0 38127	10,05 9,11	42210 38262
	36	-11,855 11,006	7,915	<0 37863	9,11 9,11	38262 38262
	37	-8,428 7,376	10,788	<0 30858,7	6,88 5,65	28896 23730

Ferraillage des poutres des portiques transversaux.

Portique A-A.

Niv	sect	M	origine	μ	K	E	A cm ²	Ferraillage adopté
I	A	-4,570	SP ₂	0,0370	45,8	0,9178	2,822	4,62 3T ₁₄
	A-B	8,349	SP ₁	0,0285	53,5	0,9270	2,154	4,62 3T ₁₄
	B	-3,844	SP ₂	0,0311	51	0,9242	2,357	4,62 3T ₁₄
	B-C	2,192	SP ₁	0,0226	55,5	0,9291	2,006	4,62 3T ₁₄
	C	-4,497	SP ₂	0,0364	46,4	0,9186	2,775	4,62 3T ₁₄
II	A	9,165	SP ₃	0,0740	30	0,8889	3,845	6,88 3T ₁₄ +2T ₁₂
	A-B	3,253	SP ₁	0,0395	44,2	0,9155	3,021	4,62 3T ₁₄
	B	-8,011	SP ₂	0,0648	32,6	0,8950	5,074	5,65 3T ₁₂ +2T ₁₂
	B-C	3,111	SP ₁	0,0378	45,2	0,9169	2,885	4,62 3T ₁₄
	C	-9,079	SP ₂	0,0735	30,1	0,8891	5,788	6,88 3T ₁₄ +2T ₁₂
III	A	-12,186	SP ₂	0,0987	25	0,8750	7,895	10,05 3T ₁₆ +2T ₁₆
	A-B	4,886	SP ₂	0,0397	44	0,9153	3,026	4,62 3T ₁₄
	B	-8,774	SP ₂	0,0710	30,8	0,8908	5,585	5,65 3T ₁₂ +2T ₁₂
	B-C	4,745	SP ₂	0,0384	44,8	0,9164	2,935	4,62 3T ₁₄
	C	-13,687	SP ₂	0,1108	23,1	0,8686	8,931	10,05 3T ₁₆ +2T ₁₆
IV	A	14,341	SP ₂	0,1161	22,4	0,8663	3,385	10,05 3T ₁₆ +2T ₁₆
	B-A	5,287	SP ₂	0,0428	42	0,9123	3,885	4,62 3T ₁₄
	B	-10,127	SP ₂	0,0820	28,1	0,8840	6,494	6,88 3T ₁₄ +2T ₁₂
	B-C	5,146	SP ₂	0,0417	42,8	0,9135	3,793	4,62 3T ₁₄
	C	-15,842	SP ₂	0,1283	21	0,8611	10,429	12,31 3T ₁₆ +2T ₂₀
V	A	14,889	SP ₂	0,1206	21,9	0,8645	3,763	10,05 3T ₁₆ +2T ₁₆
	A-B	5,386	SP ₂	0,0436	41,6	0,9117	3,349	4,62 3T ₁₄
	B	-10,477	SP ₂	0,0848	27,5	0,8824	6,730	6,88 3T ₁₄ +2T ₁₂
	B-C	5,245	SP ₂	0,0425	42,2	0,9126	3,858	4,62 3T ₁₄
	C	-16,370	SP ₂	0,1327	20,5	0,8592	10,813.	12,31 3T ₁₆ +2T ₂₀

88

Chapeaux inférieurs aux appuis.

Niv	Section	M (t.m)	origine	ϵ_s	K	E	A cm^2	Ferrailage adopté cm^2
V	A	2,515	SP_2	0,0203	65	0,9375	1,52	3,39
	B	2,853	SP_2	0,007	117	0,9621	0,50	3,39
	C	2,574	SP_2	0,0208	64	0,9367	1,55	3,39
IV	A	5,96	SP_2	0,0482	39,2	0,9077	3,72	3,39 + 2T ₁₂
	B	4,047	SP_2	0,0327	49,2	0,9221	2,48	4,62
	C	6,029	SP_2	0,0488	38,8	0,9071	3,76	6,88 + 2T ₁₄ + 2T ₁₂
III	A	8,942	SP_2	0,0724	30,4	0,8899	5,69	9,11
	B	4,81	SP_2	0,0389	44,6	0,9161	2,97	5,65
	C	9,012	SP_2	0,0729	30,9	0,8896	5,74	9,11
II	A	11,097	SP_2	0,0898	26,5	0,8795	7,15	10,05
	B	6,763	SP_2	0,0499	38,4	0,9064	3,85	6,88
	C	11,167	SP_2	0,0904	26,4	0,8792	7,3	10,05
I	A	11,645	SP_2	0,0943	25,7	0,8771	7,5	10,05
	B	6,513	SP_2	0,0527	37	0,9038	4,08	6,88
	C	11,713	SP_2	0,0948	25,6	0,8768	7,57	10,05

Armatures transversales portique AA.

Niv	APPuis	T_{max} (t)	σ'_b	\mathcal{E}_b	$\bar{\mathcal{E}}_b$	A_t (cm^2)	t (cm)	\bar{t} (cm)	t adopt
IV	A	5,021	76,17	8,19	31	2,01	41,19	24,52	20
	B	4,751	64,75	7,75	31	2,01	43,53	25,42	20
	C	4,815	74,95	7,86	31	2,01	42,95	25,21	20
II	A	8,116	132,81	13,25	28,43	2,01	25,48	13,70	20
	B	7,886	123,92	12,87	29,20	2,01	26,22	14,51	10
	C	7,909	131,57	12,91	28,54	2,01	26,15	14,42	10
III	A	9,099	155,60	14,86	26,48	2,01	22,73	10,27	10
	B	8,881	137,72	14,50	28,19	2,01	23,28	11,03	10
	C	8,893	174,76	14,51	24,84	2,01	23,25	11,01	10
II	A	10,022	183,11	16,36	24,12	2,01	20,63	7,40	7
	B	9,804	146,75	16,00	27,24	2,01	21,09	7,83	7
	C	9,816	190,17	16,03	23,52	2,01	21,07	7,76	7
I	A	10,259	190,11	16,75	23,52	2,01	20,16	7,40	7
	B	10,041	151,83	16,39	26,80	2,01	20,59	7,40	7
	C	10,053	196,75	16,41	22,95	2,01	20,57	7,40	7

Verification des contraintes portique A-A.

Niveau	Section	A (cm^2)	$M(\text{kg})$	$\hat{\omega}$	ε	K	$\sigma_a \text{ kg/cm}^2$	$\sigma_b' \text{ kg/cm}^2$
II	A	4,62	5,57	0,440	0,8988	34,4	2620,36	76,17
	AB	4,62	8,350	0,440	0,8988	34,4	1346,87	39,15
	B	4,62	3,844	0,440	0,8988	34,4	2227,24	64,75
	BC	4,62	8,192	0,440	0,8988	34,4	1256,86	36,53
	C	4,62	4,497	0,440	0,8988	34,4	2578,5	74,95
IV	A	6,88	9,165	0,655	0,8812	27,1	3599,32	132,81
	AB	4,62	3,253	0,440	0,8988	34,4	1865,22	54,22
	B	5,65	8,011	0,538	0,8903	30,6	3791,86	123,92
	BC	4,62	3,111	0,440	0,8988	34,4	1783,80	51,85
	C	6,88	9,079	0,655	0,8812	27,1	3565,54	131,57
III	A	10,05	12,186	0,957	0,8630	21,5	3345,29	155,60
	AB	4,62	4,886	0,440	0,8988	34,4	8801,55	81,44
	B	5,65	8,774	0,538	0,8903	30,6	4253,01	135,72
	BC	4,62	4,745	0,440	0,8988	34,4	2720,70	79,09
	C	10,05	13,687	0,957	0,8630	21,5	3757,35	174,76
II	A	20,05	14,342	0,957	0,8630	21,5	3936,89	183,11
	AB	4,62	5,287	0,440	0,8988	34,4	3031,48	88,12
	B	6,88	10,127	0,655	0,8812	27,1	3977,12	146,75
	BC	4,62	5,146	0,440	0,8988	34,4	2950,63	85,77
	C	18,31	15,842	1,172	0,8525	18,9	3534,25	190,17
I	A	10,05	14,889	0,957	0,8630	21,5	4087,33	190,11
	AB	4,62	5,386	0,440	0,8988	34,4	3088,24	89,77
	B	6,88	10,477	0,655	0,8812	27,1	4114,57	151,83
	BC	4,62	5,845	0,440	0,8988	34,4	3007,40	87,42
	C	18,31	16,390	1,172	0,8525	18,9	3718,58	196,75

Armatures inférieures portique A-A.

Niveau	Appuis	$M \cdot (t.m)$	$T (t)$	$T + \frac{M}{z} (kg)$	$A (cm^2)$	$A \bar{\sigma}_a (kg)$
IV	A	-4,57 2,515	5,021	<0 11869	3,39 3,39	14238 14238
	B	-3,844 0,853	4,751	<0 7072	3,39 3,39	14238 14238
	C	-4,447 2,574	4,815	<0 11819	3,39 3,39	14238 14238
V	A	-9,765 5,96	8,116	<0 243336	6,88 6,88	28896 28896
	B	-8,011 4,047	7,886	<0 18858,2	5,65 4,62	23730 19404
	C	-9,079 6,029	7,909	<0 24314,4	6,88 6,88	28896 28896
III	A	-12,186 8,942	9,009	<0 33341	10,05 9,11	42210 38262
	B	-8,774 4,81	8,881	<0 21969	5,65 5,65	23730 23730
	C	-13,687 9,012	8,893	<0 33415,4	10,05 9,11	42210 38262
II	A	-14,342 11,097	10,022	<0 40218	10,05 10,05	42210 42210
	B	-10,127 6,163	9,804	<0 26574	6,88 6,88	28896 28896
	C	-15,842 11,167	9,816	<0 40202	12,31 10,05	51702 42210
I	A	-14,889 11,645	10,259	<0 41946	10,05 10,05	42210 42210
	B	-10,477 6,513	10,041	<0 27763	6,88 6,88	28896 28896
	C	-16,39 11,713	10,053	<0 42925	12,31 10,05	51702 42210

Portique BB.

Niv	sect	M (t)	origine	rs	K	E	A cm²	Ferraillage adopté	
II	A	5,636	SP ₂	0,0457	40,4	0,9098	3,5	4,62	3T ₁₄
	AB	4,361	SP ₂	0,0529	37,0	0,9038	4,10	4,62	3T ₁₄
	B	4,821	SP ₁	0,0586	34,7	0,8994	4,56	4,62	3T ₁₄
	BC	6,827	SP ₁	0,0889	27,9	0,8834	6,57	6,88	3T ₁₄ +2T ₁₂
	C	6,775	SP ₂	0,0548	36,2	0,9023	4,26	4,62	3T ₁₄
IV	A	10,160	SP ₂	0,0822	28,1	0,8840	6,52	6,88	3T ₄ +2T ₁₂
	AB	5,278	SP ₁	0,0642	32,8	0,8954	5,01	5,65	3T ₁₂ +2T ₁₂
	B	8,456	SP ₂	0,0684	31,5	0,8925	5,38	5,65	3T ₁₂ +2T ₁₂
	BC	5,278	SP ₁	0,0641	32,8	0,8954	5,01	5,65	3T ₁₂ +2T ₁₂
	C	6,389	SP ₂	0,0517	37,6	0,9049	4,00	4,62	3T ₁₄
III	A	13,207	SP ₂	0,1069	23,7	0,8708	9,59	10,05	3T ₁₆ +2T ₁₆
	AB	4,966	SP ₂	0,0603	31,1	0,8982	4,70	5,65	3T ₁₂ +2T ₁₂
	B	10,361	SP ₂	0,0839	27,7	0,8829	6,62	6,88	3T ₁₄ +2T ₁₂
	BC	5,264	SP ₁	0,0639	32,9	0,8956	5,00	5,65	3T ₁₂ +2T ₁₂
	C	8,628	SP ₂	0,0698	31,1	0,8915	5,50	5,65	3T ₁₂ +2T ₁₂
II	A	15,377	SP ₂	0,1245	21,4	0,8626	10,10	12,31	3T ₁₆ +2T ₂₀
	AB	4,966	SP ₁	0,0603	31,1	0,8982	4,70	5,65	3T ₁₂ +2T ₁₂
	B	11,523	SP ₂	0,0933	25,9	0,8777	7,45	7,70	3T ₁₄ +2T ₁₄
	BC	5,264	SP ₁	0,0639	32,9	0,8956	5,08	5,65	3T ₁₂ +2T ₁₂
	C	10,241	SP ₂	0,0829	27,9	0,8834	6,58	6,88	3T ₁₄ +2T ₁₂
I	A	15,936	SP ₂	0,1290	20,9	0,8607	10,49	12,32	3T ₁₆ +2T ₂₀
	AB	7,596	SP ₂	0,0615	33,7	0,8973	4,79	5,65	3T ₁₂ +2T ₁₂
	B	11,876	SP ₂	0,0961	25,4	0,8762	7,68	7,70	3T ₁₄ +2T ₁₄
	BC	5,264	SP ₂	0,0639	32,9	0,8956	5,08	5,65	3T ₁₂ +2T ₁₂
	C	10,619	SP ₂	0,0863	27,2	0,8815	6,86	6,88	3T ₁₄ +2T ₁₂

chapeaux inférieurs au niveau des appuis.

Portique. BB.

Niv.	section	M _t , t)	origine	21	K	E	A	Ferraillage adopté
II	A	1,165	SP ₂	0,01333	82,5	0,9487	0,985	3,39
	B	-	-	-	-	-	-	-
	C	0,738	SP ₂	0,0059	128	0,9650	0,43	3,39
IV	A	5,229	SP ₂	0,0423	42,4	0,9129	3,24	6,88
	B	1,946	SP ₂	0,0157	75	0,9445	1,16	4,62
	C	4,331	SP ₂	0,0350	47,4	0,9199	2,66	4,62
III	A	8,219	SP ₂	0,0665	32,1	0,8938	5,21	9,11
	B	3,841	SP ₂	0,0311	50,5	0,9237	2,35	5,65
	C	7,036	SP ₂	0,0569	35,4	0,9008	4,42	7,70
II	A	10,389	SP ₂	0,0842	27,7	0,8829	6,67	10,05
	B	5,204	SP ₂	0,0421	48,4	0,9129	3,23	6,88
	C	8,649	SP ₂	0,0700	37,1	0,8915	5,50	9,11
I	A	10,915	SP ₂	0,0884	26,8	0,8804	7,02	12,31
	B	5,556	SP ₂	0,0449	40,8	0,9104	3,46	6,88
	C	9,067	SP ₂	0,0734	30,2	0,8894	5,78	9,11

Pour la vérification des contraintes et armatures inférieures ainsi que d'autres vérifications, sont toutes faites et vérifiées. (Voir exemple portique AA).

Portique CC

Niv	Sect	M _(E)	origine	α	K	E	A (cm ²)	Ferrailage adopté
I	A	5,738	SP ₂	0,0464	40	0,9091	3,578	4,62
	A-B	4,948	SP ₁	0,0601	34,2	0,8984	4,683	5,65
	B	5,631	SP ₂	0,0536	40,4	0,9098	3,509	4,62
	B-C	4,275	SP ₁	0,0519	37,4	0,9046	4,019	4,62
	C	5,426	SP ₂	0,0439	41,4	0,9114	3,375	4,62
II	A	10,303	SP ₂	0,0834	27,8	0,8832	6,613	6,88
	A-B	4,990	SP ₁	0,0606	34	0,8980	4,725	5,65
	B	9,121	SP ₂	0,0738	27,8	0,8832	5,854	6,88
	B-C	4,634	SP ₁	0,0563	35,6	0,9012	4,372	4,62
	C	6,327	SP ₂	0,0512	37,8	0,9053	3,962	4,62
III	A	13,369	SP ₂	0,1082	23,5	0,8701	8,710	20,05
	A-B	4,970	SP ₁	0,0603	34,1	0,8982	4,705	5,65
	B	11,028	SP ₂	0,0893	26,6	0,8798	7,106	7,70
	B-C	4,629	SP ₁	0,0562	35,6	0,9012	4,367	4,62
	C	8,579	SP ₂	0,0634	37,3	0,8920	5,452	5,65
IV	A	15,558	SP ₂	0,12599	21,2	0,8619	10,233	12,31
	A-B	4,970	SP ₁	0,0603	34,1	0,8982	4,705	5,65
	B	12,399	SP ₂	0,1004	24,7	0,8741	8,041	10,05
	B-C	4,629	SP ₁	0,0562	35,6	0,9012	4,367	4,62
	C	10,207	SP ₂	0,0826	28	0,8837	6,548	6,88
I	A	16,743	SP ₂	0,1307	20,7	0,8599	10,642	12,31
	A-B	4,970	SP ₁	0,0603	34,1	0,8982	4,705	5,65
	B	12,764	SP ₂	0,1033	22,8	0,8677	8,339	10,05
	B-C	4,629	SP ₁	0,0562	35,6	0,9012	4,367	4,62
	C	10,641	SP ₂	0,0862	27,3	0,8812	6,841	6,88

Chevaux inférieurs aux niveau des appuis.

Portique CC.

Niveau	Sect.	M(t)	ouignu	η	K	E	A	Ferrailage adopté	
IV	A	7,223	SP ₂	0,0090	102	0,9573	0,72	3,39	3T ₁₂
	B	-	-	-	-	-	-	-	-
	C	11472	SP ₂	0,0119	87,5	0,9512	0,87	3,39	3T ₁₂
III	A	4,488	SP ₂	0,0363	46,4	0,9186	1,77	5,65	3T ₁₂ +2T ₁₂
	B	7,314	SP ₂	0,0106	93,5	0,9539	0,78	3,39	3T ₁₂
	C	4,410	SP ₂	0,0357	46,8	0,9191	2,72	5,65	3T ₁₂ +2T ₁₂
II	A	7,487	SP ₂	0,0606	34	0,8980	4,72	9,11	3T ₁₆ +2T ₁₄
	B	3,219	SP ₂	0,0260	56,5	0,9301	1,96	5,65	3T ₁₂ +2T ₁₂
	C	6,662	SP ₂	0,0539	36,4	0,9031	4,18	6,88	3T ₁₄ +2T ₁₂
I	A	9,676	SP ₂	0,0783	29	0,8864	6,18	10,05	3T ₁₆ +2T ₁₆
	B	4,590	SP ₂	0,0371	45,8	0,9178	2,83	6,88	3T ₁₄ +2T ₁₂
	C	8,290	SP ₂	0,0671	31,9	0,8934	5,26	9,11	3T ₁₆ +2T ₁₄
I	A	10,261	SP ₂	0,0831	27,9	0,8834	6,58	12,31	3T ₁₆ +2T ₂₀
	B	4,955	SP ₂	0,0401	43,8	0,9150	3,069	6,88	3T ₁₄ +2T ₁₂
	C	8,724	SP ₂	0,0706	30,9	0,8911	5,55	9,11	3T ₁₆ +2T ₁₄

remarque : toutes les vérifications sont satisfaites. (Voir Port. AA.)

Poutres à mis-hauteur du portique 3-3 (transversal)

On suppose que les efforts sismiques sont repris par les deux portiques de part et d'autre des poutres à mis-hauteur, d'où ces dernières seront ferrailleées sous les charges verticales uniquement, soit sous $G + 1,2P$. (1^{er} genre)

Pour: $P_3 - P_4 - P_3 - P_2$

- Réaction d'escalier + poids propre de la poutre égale à :

$$4850,13 + 150 = 5000,13 \text{ Kg/ml} \approx 5 \text{ t/ml.} = G$$

Pour. P_1 ou R.D.C.

- Réaction d'escalier + poids propre de la poutre. égale à :

$$3533,56 + 150 = 3683,56 \text{ Kg/ml.} = 3,7 \text{ t/ml.} = G$$

Surcharges pour $P_1 - P_2 - P_3 - P_4 - P_5$: $(0,75 + 1,22) \cdot 350 = 689,5 \text{ Kg/ml.}$

$$G + 1,2P = 5 + 1,2 \cdot 0,69 = 5,828 \text{ t/ml.} = Q.$$

$$M_C = \frac{Ql^2}{20} = \frac{5,828 \times 3^2}{20} = 2,623 \text{ t.m.}$$

$$M_{ap} = \frac{Ql^2}{10} = \frac{5,828 \times 3^2}{10} = 5,245 \text{ t.m.}$$

$$\frac{\epsilon}{t} = \frac{15 M}{\sigma_a b h^2} = 0,0483 \rightarrow (K=42,4 \quad \epsilon=0,9129)$$

$$\epsilon_{ap} = 0,0843 \rightarrow (K=27,6 \quad \epsilon=0,8826.)$$

$$\sigma_b' = \frac{\sigma_a'}{K} < \bar{\sigma}_b'$$

$$A = \frac{2,623 \cdot 10^5}{2800 \cdot 0,9129 \cdot 36,5} = 2,81 \text{ cm}^2 \quad (\text{en traveé}).$$

$$A = 5,81 \text{ cm}^2 \quad (\text{aux appuis})$$

$$\text{en traveé } 3T_{12} \quad (3,39)$$

$$\text{aux appuis } 3T_{14} + 3T_{12} (6,88 \text{ cm}^2)$$

Remarque: toutes les conditions sont vérifiées. (Voir ex. P. AA.)

P_i désigne les poutres à mis-hauteur du portique 3-3. (transversal).

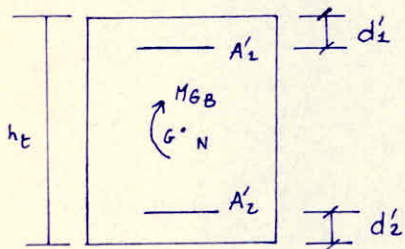
FERRAILLAGE DES POTEAUX.

Les poteaux seront calculés en flexion composée ; chaque poteau est soumis à un effort normal N et à des moments fléchissants en tête et à la base, dans le sens longitudinal et dans le sens transversal.

Le calcul se fera sous la sollicitation du 1^{er} genre ($G + 1,2P$) et sous la plus défavorable des sollicitations du 8^e genre, et ils seront ferrailés symétriquement, deux cas peuvent se présenter

Exposé de la méthode.

a) section rectangulaire entièrement comprimée $A'_1 = A'_2$.



M_{GB} = moment de flexion/G.G du béton seul de la section.

La section est entièrement comprimée si :

$$e_0 = \frac{M_{GB}}{N'} < \frac{h_t}{6} = e_1 \quad \text{avec :}$$

N' = effort normal au CDG du béton seul.
 e_0 = excentricité de la charge.

Dans ce cas, la section sera armée symétriquement ; $A'_1 = A'_2$.
 La détermination des armatures se fera par les formules suivantes :

$$\rho = \frac{\bar{\sigma}_b' \cdot b h_t}{N'} ; \quad \beta = \frac{6 M_{GB}}{N' h_t} ; \quad C = 0,27 (1 - 2 \delta') \rho.$$

$$D = 0,30 (\rho - \beta) - 0,50 (1 - \rho) (1 - 2 \delta')^2 ; \quad E = - (1 + \beta - \rho)$$

$$\hat{\omega} = \frac{-D + \sqrt{D^2 - 4EC}}{2C} ; \quad A'_1 = A'_2 = \hat{\omega} \frac{b h_t}{100}$$

b) Section partiellement comprimée :

La section est rectangulaire, on applique la méthode de P. Charon pour la détermination des armatures A et A' de manière que $A'_1 = A'_2$ (page 280) au moyen des abaques.

Exposé de la méthode.

M_{at} : moment des forces extérieures situées à gauche de la section / aux armatures

M_{a^c} : moment des forces extérieures par rapport aux armatures comprimées. [comprimées]

$M_{a^t} = M + N_a$ avec $N > 0$ dans le cas d'une compression

$M_{a^c} = M - N_a$ $N < 0$ dans le cas d'une traction.

Posons $d = \delta h$

$$K_o = \frac{\bar{\sigma}_a}{\bar{\sigma}_b}$$

$$y_1 = \frac{n \cdot Ma^t}{\bar{a} \cdot b h^2} ; y_2 = \frac{n \cdot Ma^c}{\bar{a} \cdot b h^2}$$

$$h_f = h + d$$

On utilisera l'abaque; établi à partir de σ_0

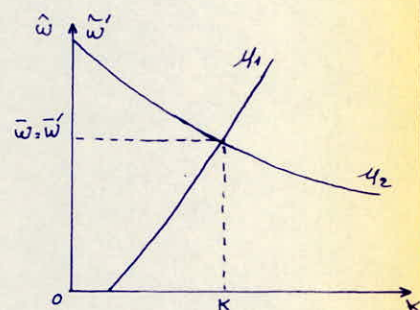
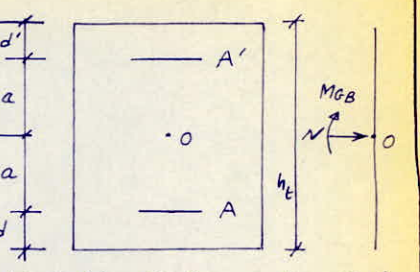
Correspondant à la valeur de δ' relative à la section étudiée. La valeur de \bar{w} et \bar{w}' sera obtenue à l'intersection C des courbes H_1 et H_2 à condition que l'on ait pour l'abscisse K du point C, $K_s K_0 = \bar{K} \Rightarrow A = \frac{\bar{w} b h}{100}$. Si $K < K_0$, on calculera alors

$$M_1' = \frac{Ma^t}{\bar{\tau}_h' bh^2} ; M_2' = \frac{Ma^c}{\bar{\tau}_h' bh^2}$$

et on utilisera l'abaque, établi à partir de σ_b , et correspondant à la valeur de δ' et on tire \bar{w} .

$$A' = A = \hat{\omega} \cdot \frac{bh}{100}$$

Evaluation de la contrainte admissible du béton



Pour une section rectangulaire

$$\bar{\sigma}_b' = \left(1 + \frac{e_0}{3e_1}\right) \bar{\sigma}_{b_0}' \quad \text{si} \quad e_0 \leq \frac{h_t}{2}$$

$$\bar{\sigma}_b' = -2\bar{\sigma}_{b_0}' \quad \text{si } c_0 > \frac{h_L}{z_1}$$

Sections soumises à la compression simple.

$$A'_e \geq \frac{1}{n} \left(\frac{N'}{\bar{\sigma}'_{k_0}} - B' \right)$$

N' : effort de compression.

B' = section du béton comprimé

$\bar{\sigma}_{bo}'$ = contrainte de compression simple.

Aé = sections d'aciés longitudinaux.

Pourcentage minimale

$$\frac{A}{B} = \hat{\omega}' \geq \frac{125}{1000} \quad \theta_1 \quad \theta_2 \quad \theta_3 \quad \frac{\bar{\sigma}_m'}{\bar{\sigma}_{b_0}}$$

$\theta_1 = 1,8$ poteau d'angle.

θ_1 depend de la position du poteau : $\theta_2 = 1,4$ poteau de rive

$\partial_1 = 1$ Poteau quelconque.

lc = longueur de flambelement

$a = \text{la plus petite dimension de la section}$

c = enrahazc

σ_{en} = contrainte limite des aciers longitudinaux.

$$\theta_2 = 1 + \frac{c}{4a - 2c}$$

$$\theta_3 = 1 + \frac{2160}{\sigma_{\text{en}}}$$

$\sigma_m' = \frac{N'}{B}$ pour les sections entièrement comprimées ou les sections soumises à la compression simple.

$$B = b \cdot h_t$$

$\sigma_m' = \frac{N'}{B} = \frac{N'}{b \cdot y_2}$ pour les sections partiellement comprimées, on se référera au diagramme de Navier

$$y_1 = h \cdot \frac{\bar{\sigma}_b'}{\bar{\sigma}_b' + \frac{\sigma_a}{n}}$$

- La distance entre les barres verticales sur une face du poteau ne doit pas dépasser 25 cm en Zone I et II et 20 cm en Zone III.
- La longueur minimale de recouvrement est 50φ.
- Les armatures transversales doivent être des cadres et des étriers fermés.

Espacement des armatures transversales.

Zone nodale $b_s \min (10\phi; 15 \text{ cm}) = 14 \text{ cm}$.

Zone courante $b \leq 12\phi = 16,8 \text{ cm}$.

c) Flambement des poteaux.

Tous les poteaux ne sont pas sujet au flambement car $\frac{l_c}{a} \leq 14,4 \text{ cm}$.

$$l_c = 0,7 l_o$$

l_c : longueur de flambement

l_o : longueur libre du poteau.

a : plus petite dimension de la section.

Armatures transversales.

- Ces armatures sont destinées à s'opposer au gonflement du béton et au flambement des armatures.

- Positionner les armatures longitudinales.

- reprendre l'effort tranchant dans les poteaux.

- Dans ce cas-ci, les armatures transversales sont : (cadres + étriers fermés)

Recommandation du CTC.

Armature longitudinale : ces barres doivent être des barres à haute adhérence.
La longueur minimale de recouvrement est 50φ. = 70 cm.

- Diamètre minimum est 12 mm en Zone I et 14 en Zone II et III

- Pourcentage minimal total des armatures est de :

Zone I et II	0,8 % S	Poteaux intérieurs
	0,9 % S	Poteaux courants (de façade)
	1,0 % S	Poteaux d'angle.

100

- Zone III 1,0% S poteaux intérieurs.
 1,1% S Poteaux courants (de façade)
 1,25% S Poteaux d'angle.

Pourcentage maximum dans ce cas-ci.

Pour les poteaux :

$$\text{zone nodale : } 4\% = 904 \cdot 40.35 = 56 \text{ cm.}$$

$$\text{zone courante : } 8,5\% = 9025 \cdot 40.35 = 35 \text{ cm.}$$

Vérification à l'effort tranchant :

$$T = T_{\max} (T_e, \bar{T}_e) = 6,092 \text{ t} = 6092 \text{ Kg.}$$

$$\text{Pour un cadre + 1 étier. } A_t = 8,01 \text{ cm}^2, \quad z = \frac{7}{8} h = \frac{7}{8} 36,5 \\ \bar{G}_t = 2400 \text{ Kg/cm}^2.$$

$$t = \frac{2400 \cdot \frac{7}{8} \cdot 36,5 \cdot 8,01}{6092} = 25 \text{ cm.}, 37,8 \text{ cm.}$$

$$\text{zone courante : } t' \leq 12 \phi. = 14 \text{ cm.}$$

$$\text{zone nodale } t \leq \text{Min}(10 \phi, 15 \text{ cm}) = 12 \text{ cm.}$$

$$\text{zone nodale on prend } t = 10 \text{ cm.}$$

Armatures transversales

$$\sigma_b = \frac{n T}{b_2} < \bar{\sigma}_b = 0,15 \text{ } \sigma_{28}' = 0,15 \cdot 273 = 40,91 \text{ Kg/cm}^2.$$

$$\sigma_b = \frac{0,15 \cdot 6092}{35 \cdot \frac{7}{8} \cdot 35} = 10,84 \text{ Kg/cm}^2 < 40,91 \text{ Kg/cm}^2.$$

$$n = \begin{cases} 0 & \text{si } \lambda \geq 15 \\ 3 & \text{si } \lambda < 15 \end{cases} \quad \text{dans la direction considérée.}$$

$$\lambda = \frac{e_c}{\sqrt{s/b}}.$$

Portique AA

	Niveaux	Poteaux	M (t/m)	N (kN)	e _o (cm)	e _z (cm)	Solicitation	G _b ' Kg/cm ²
Met N. SP ₂	IV	AA	1,292	51,328	22,75	6,66	P.C	137,60
	IV	AA	1,020	12,958	7,87	6,66	P.C	95,87
	III	AA	0,974	20,581	41,73	6,66	E.C	85,07
	II	AA	0,974	28,804	3,45	6,66	E.C	80,67
	I	AA	0,974	35,787	2,72	6,66	E.C	77,23
	IV	BB	0,054	7,543	0,007	6,66	E.C	68,82
	IV	BB	0,073	18,484	0,004	6,66	E.C	68,81
	III	BB	0,036	31,1532	0,001	6,66	E.C	68,80
	II	BB	0,036	44,158	0,0008	6,66	E.C	68,80
	I	BB	0,036	57,1628	0,0006	6,66	E.C	68,80
M corr. Nmax. SP ₂	IV	AA	3,894	6,988	55,72	6,66	P.C	206,4
	IV	AA	5,369	18,593	28,88	6,66	P.C	206,4
	III	AA	6,261	31,377	19,95	6,66	P.C	206,14
	II	AA	8,556	45,266	18,90	6,66	P.C	200,72
	I	AA	7,734	59,400	13,02	6,66	P.C	170,38
	IV	BB	5,062	7,422	68,20	6,66	P.C	206,4
	III	BB	8,240	18,748	45,40	6,66	P.C	206,4
	III	BB	9,980	30,980	32,81	6,66	P.C	206,4
	II	BB	10,536	43,812	24,01	6,66	P.C	206,4
	I	BB	13,416	56,645	23,68	6,66	P.C	206,4
M corr. Nmin. SP ₂	IV	AA	2,940	2,845	103,34	6,66	P.C	206,4
	IV	AA	4,765	5,562	85,67	6,66	P.C	206,4
	III	AA	7,468	9,209	81,09	6,66	P.C	206,4
	II	AA	9,358	10,399	90,51	6,66	P.C	206,4
	I	AA	9,919	15,205	65,24	6,66	P.C	206,4
	IV	BB	3,284	11,422	830,94	6,66	P.C	206,4
	IV	BB	5,372	12,148	44,22	6,66	P.C	206,4
	III	BB	8,316	23,988	34,67	6,66	P.C	206,4
	II	BB	8,779	34,205	36,60	6,66	P.C	206,4
	I	BB	11,182	44,422	25,17	6,66	P.C	206,4
M max Ncorr. SP ₂	IV	AA	64,57	6,700	68,20	6,66	P.C	206,4
	IV	AA	6,462	17,621	36,67	6,66	P.C	206,4
	III	AA	7,589	29,524	25,70	6,66	P.C	206,4
	II	AA	9,957	42,350	23,51	6,66	P.C	206,4
	I	AA	9,919	15,205	65,24	6,66	P.C	206,4
	IV	BB	5,062	7,422	68,19	6,66	P.C	206,4
	IV	BB	8,240	18,748	45,40	6,66	P.C	206,4
	III	BB	9,980	30,980	32,81	6,66	P.C	206,4
	II	BB	10,536	43,812	24,05	6,66	P.C	206,4
	I	BB	13,416	56,645	23,68	6,66	P.C	206,4

Portique BB.

Niveaux	Poteaux	M(Et)	N(E)	e _o cm	e ₁ (cm)	Solicitation	\bar{f}_b' Kg/cm ²
M_{et-N} SP ₂	V AA	2,434	10,581	23,00	6,66	P.C	137,60
	IV AA	1,612	26,018	6,19	6,66	E.C	90,09
	III AA	1,541	41,451	3,72	6,66	E.C	81,60
	II AA	1,541	56,882	8,71	6,66	E.C	78,12
	I AA	1,541	72,313	2,13	6,66	E.C	76,13
	V BB	0,854	18,316	4,66	6,66	E.C	84,83
	IV BB	0,099	36,502	0,003	6,66	E.C	68,81
	III BB	0,095	54,538	0,002	6,66	E.C	68,81
	II BB	0,095	72,574	0,001	6,66	E.C	68,80
	I BB	0,095	90,610	0,001	6,66	E.C	68,80
$M_{corr. Nmax} SP_2$	V AA	4,936	12,141	40,65	6,66	P.C	206,4
	IV AA	5,900	31,036	19,01	6,66	P.C	207,29
	III AA	6,779	51,476	13,17	6,66	P.C	171,16
	II AA	7,083	73,026	9,70	6,66	P.C	153,25
	I AA	8,655	94,870	9,12	6,66	P.C	150,26
	V BB	4,084	18,063	22,61	6,66	P.C	206,4
	IV BB	8,018	37,486	21,39	6,66	P.C	206,4
	III BB	9,813	57,468	17,08	6,66	P.C	191,33
	II BB	10,573	77,960	13,56	6,66	P.C	173,17
	I BB	13,345	98,582	13,54	6,66	P.C	173,07
$M_{corr. Nmin} SP_2$	V AA	2,719	7,059	38,52	6,66	P.C	206,4
	IV AA	4,618	16,350	28,24	6,66	P.C	206,4
	III AA	6,408	24,748	25,89	6,66	P.C	206,4
	II AA	7,957	32,814	24,70	6,66	P.C	206,4
	I AA	9,954	39,440	25,24	6,66	P.C	206,4
	V BB	4,798	13,569	35,36	6,66	P.C	206,4
	IV BB	6,843	25,147	27,21	6,66	P.C	206,4
	III BB	8,333	35,943	23,18	6,66	P.C	206,4
	II BB	8,808	46,355	19,00	6,66	P.C	201,24
	I BB	11,124	56,657	19,63	6,66	P.C	204,49
$M_{max} SP_2$	V AA	5,576	11,858	49,02	6,66	P.C	206,0
	IV AA	6,985	30,137	23,18	6,66	P.C	206,4
	III AA	8,100	49,703	16,30	6,66	P.C	187,30
	II AA	9,877	39,032	25,30	6,66	P.C	206,4
	I AA	9,965	51,523	19,34	6,66	P.C	203,0
	V BB	4,969	18,062	27,51	6,66	P.C	206,4
	IV BB	6,863	34,383	19,96	6,66	P.C	206,2
	III BB	9,813	57,468	17,08	6,66	P.C	191,3
	II BB	10,383	77,96	13,32	6,66	P.C	171,9
	I BB	13,345	98,582	13,54	6,66	P.C.	173,1

Portique CC

	Niveaux	Poteaux	M(t.m)	N(t)	e ₀ (cm)	e _z (cm)	Sollicitati-	\bar{f}_b Kg/cm ²
M et N SP ₂	IV	AA	2,529	10,997	23,000	6,66	P.C	137,16
	IV	AA	1,734	20,380	8,1510	6,66	P.C	98,07
	III	AA	1,565	36,690	4,960	6,66	EC	83,45
	II	AA	1,565	49,1540	3,1160	6,66	EC	79,67
	I	AA	1,565	62,1380	2,510	6,66	EC	77,43
	IV	BB	0,426	15,330	2,780	6,66	EC	78,36
	IV	BB	0,480	32,331	11,480	6,66	EC	73,89
	III	BB	0,462	49,1620	0,009	6,66	EC	68,83
	II	BB	0,462	66,910	0,007	6,66	EC	68,82
	I	BB	0,462	84,198	0,005	6,66	EC	68,81
M corr. Nmax SP ₂	IV	AA	6,388	12,1521	51,02	6,66	P.C	206,4
	IV	AA	8,130	28,1777	28,125	6,66	P.C	206,4
	III	AA	9,495	46,1586	20,138	6,66	P.C	206,4
	II	AA	9,968	65,1523	15,81	6,66	P.C	181,68
	I	AA	12,340	84,1760	14,156	6,66	P.C	178,33
	IV	BB	11,096	15,1064	73,66	6,66	P.C	206,4
	IV	BB	8,537	33,262	25,67	6,66	P.C	206,4
	III	BB	10,329	52,460	19,69	6,66	P.C	204,80
	II	BB	10,916	72,168	15,13	6,66	P.C	181,87
	I	BB	13,884	92,017	15,09	6,66	P.C	181,06
M corr. Nmin SP ₂	IV	AA	2,761	7,394	37,34	6,66	P.C	206,4
	IV	AA	4,667	14,337	32,55	6,66	P.C	206,4
	III	AA	6,462	19,982	32,34	6,66	P.C	206,4
	II	AA	8,052	24,982	32,23	6,66	P.C	206,4
	I	AA	7,1861	29,306	26,82	6,66	P.C	206,4
	IV	BB	8,864	11,418	77,63	6,66	P.C	206,4
	IV	BB	6,330	21,961	28,82	6,66	P.C	206,4
	III	BB	7,853	32,084	24,48	6,66	P.C	206,4
	II	BB	9,084	41,778	21,74	6,66	P.C	206,4
	I	BB	10,1815	51,358	21,06	6,66	P.C	206,4
Mmax N/corr. SP ₂	IV	AA	6,388	12,1521	51,02	6,66	P.C	206,4
	IV	AA	8,130	28,1777	28,125	6,66	P.C	206,4
	III	AA	9,495	46,1586	20,138	6,66	P.C	206,4
	II	AA	9,968	65,1523	15,81	6,66	P.C	181,68
	I	AA	12,340	84,1760	14,156	6,66	P.C	178,33
	IV	BB	11,096	15,1065	73,66	6,66	P.C	206,4
	IV	BB	8,537	33,262	25,67	6,66	P.C	206,4
	III	BB	10,329	52,460	19,69	6,66	P.C	204,80
	II	BB	10,916	72,168	15,13	6,66	P.C	181,87
	I	BB	13,884	92,017	15,09	6,66	P.C	181,06

Portique DD

Niveaux Max. Mcorr. et Nmin Mmax.	Poteaux SPz	M (kNm)	N (k)	e0 (cm)	e1 (cm)	sollicita-	\bar{G}_b kg/cm ²
							II
II	AA	7,675	81,344	20,07	6,66	P.C	137,6
IV	AA	0,748	16,465	41,54	6,66	EC	84,42
III	AA	0,714	24,1580	21,90	6,66	EC	78,178
II	AA	0,714	32,690	21,18	6,66	EC	76,130
I	AA	0,714	40,1800	7,75	6,66	EC	74,182
II	BB	0,406	13,194	31,08	6,66	EC	79,40
IV	BB	0,330	28,481	11,16	6,66	EC	72,79
III	BB	0,317	44,197	0,007	6,66	EC	68,182
II	BB	0,317	59,1853	0,005	6,66	EC	68,182
I	BB	0,317	75,509	0,004	6,66	EC	68,182
II	AA	5,467	9,867	55,41	6,66	P.C	206,4
III	AA	7,113	21,478	33,12	6,66	P.C	206,4
II	AA	8,1537	31,808	26,84	6,66	P.C	206,4
II	AA	9,027	46,112	19,58	6,66	P.C	204,123
I	AA	11,707	60,714	19,78	6,66	P.C	202,68
II	BB	4,385	12,925	33,93	6,66	P.C	206,4
IV	BB	7,689	29,1575	26,00	6,66	P.C	206,4
III	BB	9,1569	44,1482	21,51	6,66	P.C	206,4
II	BB	10,728	62,1667	17,12	6,66	P.C	191,154
I	BB	13,108	80,99	16,185	6,66	P.C	186,171
II	AA	2,138	5,982	35,74	6,66	P.C	206,4
IV	AA	4,1854	10,365	46,83	6,66	P.C	206,4
III	AA	6,089	15,1800	38,54	6,66	P.C	206,4
II	AA	7,1398	17,923	41,28	6,66	P.C	206,4
I	AA	7,943	23,1060	34,44	6,66	P.C	206,4
II	BB	4,1286	11,042	38,82	6,66	P.C	206,4
IV	BB	6,1835	23,095	29,60	6,66	P.C	206,4
III	BB	8,1385	37,1929	22,52	6,66	P.C	206,4
II	BB	8,854	48,1564	18,23	6,66	P.C	197,127
I	BB	11,335	59,1818	18,95	6,66	P.C	200,98
II	AA	5,467	9,867	55,41	6,66	P.C	206,4
IV	AA	7,113	21,478	33,12	6,66	P.C	206,4
III	AA	8,1537	31,808	26,84	6,66	P.C	206,4
II	AA	9,027	46,112	19,58	6,66	P.C	204,123
I	AA	11,707	60,714	19,78	6,66	P.C	202,68
II	BB	5,187	12,925	40,13	6,66	P.C	206,4
IV	BB	8,309	24,285	34,21	6,66	P.C	206,4
III	BB	10,166	42,164	24,11	6,66	P.C	206,4
II	BB	10,728	54,1603	19,65	6,66	P.C	204,159
I	BB	13,704	66,900	20,48	6,66	P.C	206,4

Portique 1-1

	Niveau	Poteaux	M (l.m)	N (k)	e ₀ (cm)	e ₁ (cm)	Sollicitat.	σ_b' Kg/cm ²
P ₂	II	1-9	3,927	7,422	58,90	5,83	P.C	206,40
	IV	9-17	6,125	19,1867	30,83	5,83	P.C	206,40
	III	17-25	7,429	34,1463	21,55	5,83	P.C	206,40
	II	25-33	7,1973	50,605	15,75	5,83	P.C	196,08
	I	33-41	9,811	67,1484	14,54	5,83	P.C	188,94
	II	2-10	4,908	11,124	37,83	5,83	P.C	206,40
	IV	10-18	7,233	28,165	25,68	5,83	P.C	206,40
	III	18-26	9,200	40,039	22,97	5,83	P.C	206,40
	II	26-34	9,722	61,966	15,90	5,83	P.C	196,96
	I	34-42	12,190	79,081	15,41	5,83	P.C	194,07
N _{max}	II	3-11	3,690	13,483	27,36	5,83	P.C	206,40
	IV	11-19	6,119	25,904	24,28	5,83	P.C	206,40
	III	19-27	7,754	38,011	20,40	5,83	P.C	206,40
	II	27-35	8,189	50,818	16,11	5,83	P.C	198,20
	I	35-43	10,245	63,621	16,10	5,83	P.C	198,14
	II	4-12	4,341	8,421	51,55	5,83	P.C	206,40
	IV	12-20	7,274	17,108	42,52	5,83	P.C	206,40
	III	20-28	9,238	25,256	36,58	5,83	P.C	206,40
	II	28-36	9,760	33,194	29,40	5,83	P.C	206,40
	I	36-44	12,1228	41,293	29,61	5,83	P.C	206,40
S ₂	II	1-9	3,755	6,337	49,78	5,83	P.C	206,40
	IV	9-17	5,084	17,564	28,95	5,83	P.C	206,40
	III	17-25	6,172	30,566	20,19	5,83	P.C	206,40
	II	25-33	6,626	44,189	14,76	5,83	P.C	190,24
	I	33-41	8,205	59,803	13,72	5,83	P.C	184,11
	II	2-10	3,768	8,320	45,28	5,83	P.C	206,40
	IV	10-18	6,118	20,873	29,31	5,83	P.C	206,40
	III	18-26	7,753	33,551	23,11	5,83	P.C	206,40
	II	26-34	8,188	46,179	17,73	5,83	P.C	206,40
	I	34-42	10,254	58,671	17,48	5,83	P.C	206,28
N _{min}	II	3-11	3,682	9,292	39,62	5,83	P.C	206,40
	IV	11-19	6,110	20,187	30,27	5,83	P.C	206,40
	III	19-27	7,754	32,751	24,12	5,83	P.C	206,40
	II	27-35	8,181	44,124	18,54	5,83	P.C	206,40
	I	35-43	10,237	56,090	18,28	5,83	P.C	206,40
	II	4-12	3,639	6,950	52,36	5,83	P.C	206,40
	IV	12-20	6,065	13,676	44,35	5,83	P.C	206,40
	III	20-28	7,702	21,027	36,63	5,83	P.C	206,40
	II	28-36	8,157	28,168	28,96	5,83	P.C	206,40
	I	36-44	10,193	35,031	29,30	5,83	P.C	206,40
M _{corr}	II	1-9	3,682	9,292	39,62	5,83	P.C	206,40
	IV	11-19	6,110	20,187	30,27	5,83	P.C	206,40
	III	19-27	7,754	32,751	24,12	5,83	P.C	206,40
	II	27-35	8,181	44,124	18,54	5,83	P.C	206,40
	I	35-43	10,237	56,090	18,28	5,83	P.C	206,40
	II	4-12	3,639	6,950	52,36	5,83	P.C	206,40
	IV	12-20	6,065	13,676	44,35	5,83	P.C	206,40
	III	20-28	7,702	21,027	36,63	5,83	P.C	206,40
	II	28-36	8,157	28,168	28,96	5,83	P.C	206,40
	I	36-44	10,193	35,031	29,30	5,83	P.C	206,40

Portique 22

	niveaux	Poteaux	M(t.m)	N(t)	e _o (cm)	e _r (cm)	solicitation	$\bar{\sigma}_b$ Kg/cm ²
<i>M et N</i>	V	1-9	0,259	7,543	3,43	5,83	EC	82,28
	IV	9-17	0,139	18,484	0,008	5,83	EC	68,83
	III	17-25	0,128	31,532	0,004	5,83	EC	68,82
	II	25-33	0,128	44,58	0,003	5,83	EC	68,81
	I	33-41	0,128	57,628	0,002	5,83	EC	68,81
	V	2-10	0,051	18,316	0,003	5,83	EC	68,81
	IV	10-18	0,030	36,502	0,0008	5,83	EC	68,80
	III	18-26	0,029	54,538	0,0005	5,83	EC	68,80
	II	26-34	0,029	72,574	0,0004	5,83	EC	68,80
	I	34-42	0,029	90,610	0,0003	5,83	EC	68,80
	V	3-11	—	15,330	—	5,83	CS	68,80
	IV	11-19	—	32,331	—	5,83	CS	68,80
	III	19-27	—	49,620	—	5,83	CS	68,80
	II	27-35	—	66,910	—	5,83	CS	68,80
	I	35-43	—	84,198	—	5,83	CS	68,80
<i>M corr</i>	V	4-12	0,319	13,194	2,42	5,83	EC	78,31
	IV	12-20	0,357	28,481	1,25	5,83	EC	73,71
	III	20-28	0,342	44,197	0,008	5,83	EC	68,83
	II	28-36	0,342	59,853	0,006	5,83	EC	68,82
	I	36-44	0,342	75,509	0,005	5,83	EC	68,82
	V	1-9	3,126	9,675	32,31	5,83	PC	206,4
	IV	9-17	4,001	25,361	15,78	5,83	PC	196,26
	III	17-25	5,262	42,211	12,42	5,83	PC	176,44
	II	25-33	5,186	63,384	8,18	5,83	PC	151,44
	I	33-41	6,486	84,872	7,64	5,83	PC	148,25
	V	2-10	4,256	19,002	22,40	5,83	PC	206,4
	IV	10-18	7,203	37,107	19,41	5,83	PC	206,4
	III	18-26	9,178	57,352	16,00	5,83	PC	197,55
	II	26-34	9,780	78,072	12,53	5,83	PC	177,09
	I	34-42	12,202	98,919	12,34	5,83	PC	175,97
	V	3-11	3,588	15,287	23,47	5,83	PC	206,4
	IV	11-19	6,027	32,213	18,71	5,83	PC	206,4
	III	19-27	7,672	49,427	15,52	5,83	PC	194,72
	II	27-35	8,127	66,641	12,20	5,83	PC	175,15
	I	35-43	10,192	83,855	12,15	5,83	PC	174,85
<i>N_{max}</i>	V	4-12	3,611	13,474	26,80	5,83	PC	206,4
	IV	12-20	6,874	28,725	23,93	5,83	PC	206,4
	III	20-28	6,486	43,65	14,86	5,83	PC	190,83
	II	28-36	6,845	60,353	11,34	5,83	PC	170,07
	I	36-44	8,497	77,091	11,02	5,83	PC	168,19

Portique 2-2

Niveaux	Poteaux	M(tm)	N(t)	e ₀ (cm)	e ₁ (cm)	Sollicit	$\bar{\sigma}_b' k_g/cm^2$
V	1-9	3,192	5,371	59,43	5,83	P.C.	206,4
IV	9-17	5,667	11,497	49,29	5,83	P.C.	206,4
III	17-25	6,644	16,251	40,88	5,83	P.C.	206,4
II	25-33	7,714	20,459	37,70	5,83	P.C.	206,4
I	33-41	9,418	24,347	38,68	5,83	P.C.	206,4
V	2-10	4,256	19,002	22,40	5,83	P.C.	206,4
IV	10-18	7,203	37,107	19,41	5,83	P.C.	206,4
III	18-26	9,178	57,352	16,00	5,83	P.C.	197,55
II	26-34	9,780	78,078	12,53	5,83	P.C.	177,09
I	34-42	12,202	98,919	12,33	5,83	P.C.	175,91
V	3-11	3,588	15,287	23,47	5,83	P.C.	206,4
IV	11-19	6,027	32,213	18,71	5,83	P.C.	206,4
III	19-27	7,672	49,427	15,52	5,83	P.C.	194,72
II	27-35	8,127	66,641	12,20	5,83	P.C.	175,15
I	35-43	10,192	83,855	12,15	5,83	P.C.	174,85
V	4-12	4,291	12,436	34,50	5,83	P.C.	206,4
IV	12-20	6,874	28,725	24,79	5,83	P.C.	206,4
III	20-28	8,872	43,406	20,44	5,83	P.C.	206,4
II	28-36	10,095	57,879	17,44	5,83	P.C.	206,05
I	36-44	11,887	72,312	16,44	5,83	P.C.	200,15
V	1-9	3,054	9,038	33,80	5,83	P.C.	206,40
IV	9-17	4,968	17,030	29,17	5,83	P.C.	206,40
III	17-25	6,071	33,880	17,92	5,83	P.C.	206,40
II	25-33	6,450	49,432	13,05	5,83	P.C.	180,16
I	33-41	8,080	67,314	12,00	5,83	P.C.	173,97
V	2-10	3,640	17,109	21,28	5,83	P.C.	206,40
IV	10-18	6,055	34,542	17,53	5,83	P.C.	206,40
III	18-26	6,966	51,136	12,06	5,83	P.C.	174,32
II	26-34	8,145	66,469	12,25	5,83	P.C.	175,44
I	34-42	10,810	81,394	12,54	5,83	P.C.	177,15
V	3-11	3,588	14,697	24,41	5,83	P.C.	206,40
IV	11-19	6,027	30,931	19,49	5,83	P.C.	206,40
III	19-27	7,672	47,509	16,15	5,83	P.C.	198,44
II	27-35	8,727	64,087	12,68	5,83	P.C.	177,98
I	35-43	10,192	80,665	12,63	5,83	P.C.	177,68
V	4-12	3,563	12,335	28,89	5,83	P.C.	206,40
IV	12-20	6,385	26,842	23,79	5,83	P.C.	206,40
III	20-28	7,400	40,959	18,07	5,83	P.C.	206,40
II	28-36	8,406	54,423	16,45	5,83	P.C.	194,51
I	36-44	9,913	67,855	14,61	5,83	P.C.	189,36

109

Niveau	Pente	M t.m	N(t)	C ₀ cm	C _z cm	Sollici- tū _b kg	Y, cm	R	M _{t.m}	M ₂	M _{t.m}	M ₂	K	\tilde{w}'	\tilde{M}_2'	\tilde{M}_2	\tilde{w}	$\tilde{w}_{\text{cm}} = A'_2$	M corr. / N/min	SP ₂
V	AA	2,94	2,85	103,34	6,66	P.C.	206,4	15,49	20,35	3,41	0,0261	2,47	0,0189	59,5	0,12	/	/	/	1,53	
IV	AA	7,77	5,56	85,67	6,66	P.C.	206,4	15,49	20,35	5,69	0,044	3,85	0,0295	44,5	0,20	/	/	/	2,56	
III	AA	7,47	9,21	81,09	6,66	P.C.	206,4	15,49	20,35	8,99	0,0688	5,95	0,0456	36	0,33	/	/	/	4,22	
II	AA	9,36	10,40	90,51	6,66	P.C.	206,4	15,49	20,35	11,09	0,0849	7,64	0,0586	32,5	0,44	/	/	/	5,62	
I	AA	9,92	15,21	65,24	6,66	P.C.	206,4	15,49	20,35	12,43	0,0952	7,41	0,0567	30	0,42	/	/	/	5,37	
V	BB	3,28	1,42	230,34	6,66	P.C.	206,4	15,49	20,35	3,51	0,0269	3,05	0,0233	59,5	0,16	/	/	/	2,04	
IV	BB	5,37	12,15	44,22	6,66	P.C.	206,4	15,49	20,35	7,37	0,0564	3,37	0,0258	38	0,19	/	/	/	2,43	
III	BB	8,32	23,99	34,67	6,66	P.C.	206,4	15,49	20,35	12,28	0,0940	4,36	0,0334	28	0,25	/	/	/	3,19	
II	BB	8,78	34,21	36,60	6,66	P.C.	206,4	15,49	20,35	14,42	0,1104	3,14	0,0240	25	0,20	/	/	/	2,56	
I	BB	11,18	44,42	25,17	6,66	P.C.	206,4	15,49	20,35	18,51	0,1417	3,84	0,0294	21,5	0,25	/	/	/	3,19	
V	AA	3,89	6,93	55,72	6,66	P.C.	206,4	15,49	20,35	5,03	0,0385	2,74	0,0209	47,5	0,15	/	/	/	1,92	
IV	AA	5,37	18,59	28,88	6,66	P.C.	206,4	15,49	20,35	8,44	0,0646	2,30	0,0176	35	0,12	/	/	/	1,53	
III	AA	6,26	31,38	19,95	6,66	P.C.	206,4	15,49	20,35	11,44	0,0876	1,08	0,0082	27	0,07	/	/	/	0,89	
II	AA	8,56	45,27	18,90	6,66	P.C.	200,72	15,49	20,35	16,03	0,1227	1,09	0,0083	22,5	0,10	/	/	/	1,27	
I	AA	7,73	59,4	13,02	6,66	P.C.	170,38	15,49	20,35	17,53	0,1342	-2,071	0,0158	21,5	/	0,2206	0,0261	0,93	2,94	
V	BB	5,06	7,42	68,26	6,66	P.C.	206,4	15,49	20,35	6,28	0,0481	3,84	0,0294	42,5	0,21	/	/	/	2,68	
IV	BB	8,24	18,15	45,40	6,66	P.C.	206,4	15,49	20,35	11,23	0,0860	5,25	0,0402	30,5	0,31	/	/	/	3,96	
III	BB	9,98	30,98	32,21	6,66	P.C.	206,4	15,49	20,35	15,09	0,1156	4,87	0,0373	25	0,30	/	/	/	3,83	
II	BB	10,54	43,81	34,01	6,66	P.C.	206,4	15,49	20,35	17,77	0,1361	3,31	0,0253	22	0,22	/	/	/	2,81	
I	BB	13,42	56,65	23,68	6,66	P.C.	206,4	15,49	20,35	22,77	0,1744	4,07	0,0311	18,5	/	0,2365	0,0422	0,23	4,22	
V	AA	64,57	6,70	68,20	6,66	P.C.	206,4	15,49	20,35	7,57	0,0579	5,34	0,0409	40	0,30	/	/	/	3,83	
IV	AA	6,46	17,02	36,67	6,66	P.C.	206,4	15,49	20,35	9,37	0,0718	3,55	0,0272	33,5	0,20	/	/	/	2,56	
III	AA	7,59	29,52	25,70	6,66	P.C.	206,4	15,49	20,35	12,46	0,0954	2,72	0,0208	27,5	0,16	/	/	/	2,04	
II	AA	9,96	42,35	23,51	6,66	P.C.	206,4	15,49	20,35	16,35	0,1238	2,97	0,0227	22,5	0,20	/	/	/	2,56	
I	AA	9,92	15,21	65,24	6,66	P.C.	206,4	15,49	20,35	12,43	0,0952	7,41	0,0567	30	0,43	/	/	/	5,49	
V	BB	5,06	7,42	68,20	6,66	P.C.	206,4	15,49	20,35	6,28	0,0481	3,84	0,0294	42,5	0,21	/	/	/	2,68	
IV	BB	8,84	18,15	45,40	6,66	P.C.	206,4	15,49	20,35	11,23	0,0860	5,25	0,0402	30,5	0,31	/	/	/	3,96	
III	BB	9,98	30,98	32,21	6,66	P.C.	206,4	15,49	20,35	15,09	0,1156	4,87	0,0373	25	0,30	/	/	/	3,83	
II	BB	10,54	43,81	24,05	6,66	P.C.	206,4	15,49	20,35	17,77	0,1361	3,31	0,0253	22	0,22	/	/	/	2,81	
I	BB	13,42	56,65	23,68	6,66	P.C.	206,4	15,49	20,35	22,77	0,1744	4,07	0,0311	18,5	/	0,2365	0,0422	0,23	4,22	

Portique A-A

M_{max}, N_{corr}SP₂M_{corr}, N_{max}SP₂

110

NIV	Pot	M(6m)	N(t)	e ₀ cm	e ₁ cm	sollidi-	\bar{F}_0 kg/cm	y ₂ cm	R.	M_{atm}^E	M_2	M_{atm}^C	M_2	K	w	M'_1	M'_2	w'	$A_1 = A_2'$	S ₂
II	AA	2,72	7,06	38,52	6,66	P.C.	206,40	15,49	20,35	31,88	0,0297	1,56	0,0119	54,15	0,08	-	-	-	1,022.	
IV	AA	4,62	16,35	28,24	6,66	P.C.	206,40	15,49	20,35	7,32	0,0560	1,92	0,0147	37,0	0,10	-	-	-	1,28	
III	AA	6,41	24,75	25,89	6,66	P.C.	206,40	15,49	20,35	10,49	0,0803	2,33	0,0178	30,0	0,14	-	-	-	1,79	
II	AA	7,96	32,21	24,70	6,66	P.C.	206,40	15,49	20,35	13,27	0,1016	2,65	0,0202	26,5	0,16	-	-	-	2,04	
I	AA	9,95	39,44	25,24	6,66	P.C.	206,40	15,49	20,35	16,46	0,1260	3,44	0,0263	23,0	0,22	-	-	-	2,82	
II	BB	4,80	13,57	35,36	6,66	P.C.	206,40	15,49	20,35	7,04	0,0539	2,56	0,0196	39,0	0,14	-	-	-	1,79	
IV	BB	6,84	25,15	27,82	6,66	P.C.	206,40	15,49	20,35	10,99	0,0842	2,69	0,0206	29,8	0,15	-	-	-	1,92	
III	BB	8,33	35,94	23,18	6,66	P.C.	206,40	15,49	20,35	14,16	0,1092	3,40	0,0183	25,0	0,14	-	-	-	1,79	
II	BB	8,81	46,36	19,00	6,66	P.C.	207,24	15,26	20,87	16,46	0,1260	7,16	0,0089	22,0	0,08	-	-	-	2,022	
I	BB	11,12	56,66	19,63	6,66	P.C.	204,24	15,41	20,54	20,47	0,1567	7,77	0,0135	19,5	-	0,2146	0,0185	0,20	2,56	
II	AA	4,94	12,14	40,65	6,66	P.C.	206,4	15,49	20,35	6,94	0,0531	2,94	0,0255	39,2	0,16	-	-	-	2,04	
IV	AA	5,90	31,04	19,01	6,66	P.C.	201,78	15,26	20,87	11,02	0,0844	0,78	0,0059	28,6	0,04	-	-	-	0,51	
III	AA	6,78	51,48	13,17	6,66	P.C.	171,76	13,85	24,54	15,27	0,1169	1,71	0,0131	23,5	-	0,1913	0,0214	0,14	1,79	
II	AA	7,08	73,03	9,70	6,66	P.C.	153,85	12,91	27,41	19,73	0,1465	-4,97	0,0381	21,5	-	0,2677	0,0695	0,58	7,41	
I	AA	8,66	94,87	9,12	6,66	P.C.	150,26	12,75	27,95	24,132	0,1862	-6,99	0,0535	19,0	-	0,3469	0,0997	1,18	23	
II	BB	4,08	18,06	22,61	6,66	P.C.	206,40	15,49	20,35	7,06	0,0540	1,10	0,0084	38,0	0,06	-	-	-	0,77	
IV	BB	8,02	37,49	21,39	6,66	P.C.	206,40	15,49	20,35	14,21	0,1088	1,83	0,0140	25,0	0,14	-	-	-	1,79	
III	BB	9,82	57,47	17,08	6,66	P.C.	191,33	14,82	21,95	19,29	0,1477	0,33	0,0025	19,5	-	0,2162	0,0036	0,12	1,53	
II	BB	10,57	77,96	13,56	6,66	P.C.	173,17	13,95	24,25	23,43	0,1795	-2,29	0,0175	18,5	-	0,2902	0,0283	0,56	6,39	
I	BB	13,35	98,58	13,54	6,66	P.C.	173,07	13,94	24,27	29,62	0,2269	-2,92	0,0223	16,5	-	0,3670	0,0362	0,97	12,39	
II	AA	5,58	11,86	47,02	6,66	P.C.	206,4	15,49	20,35	7,54	0,0577	3,62	0,0277	37,5	0,20	-	-	-	2,56	
IV	AA	6,99	30,14	23,18	6,66	P.C.	206,4	15,49	20,35	11,56	0,0916	2,02	0,0174	27,5	0,12	-	-	-	1,53	
III	AA	8,10	49,70	16,30	6,66	P.C.	187,30	14,63	22,42	16,30	0,1248	-0,10	0,0007	21,7	-	0,1866	0,0011	0,05	0,64	
II	AA	9,88	39,03	25,30	6,66	P.C.	206,4	15,49	20,35	16,32	0,1249	3,44	0,0263	23,5	0,21	-	-	-	2,68	
I	AA	9,97	51,52	19,34	6,66	P.C.	202,99	15,34	20,69	18,47	0,1414	-1,47	0,0112	20,5	-	0,1952	0,0155	0,10	1,28	
II	BB	4,97	18,06	27,51	6,66	P.C.	206,40	15,49	20,35	7,95	0,0609	1,99	0,0172	36,0	0,12	-	-	-	1,53	
IV	BB	6,86	34,38	19,96	6,66	P.C.	206,19	15,48	20,37	12,53	0,0959	1,19	0,0092	26,5	0,08	-	-	-	1,02	
III	BB	9,81	57,47	17,08	6,66	P.C.	191,33	14,82	21,95	19,26	0,1477	4,33	0,0025	19,5	-	0,2162	0,0036	0,12	1,53	
II	BB	10,38	77,96	13,32	6,66	P.C.	171,93	13,89	24,43	23,24	0,1780	-2,48	0,0189	19,0	-	0,2839	0,0309	0,56	7,15	
I	BB	13,35	98,58	13,54	6,66	P.C.	173,17	13,94	24,27	29,62	0,2269	-2,92	0,0223	16,0	-	0,3670	0,0362	0,97	12,39	

Portique B-B

 $M_{corr.}, N_{min}$ S_2 S_2 $M_{corr.}, N_{max}$ S_2 $M_{corr.}, N_{corr.}$

Niv	Pot	Mt.m	N(t)	60 cm	40 cm	Soll.	$\bar{\rho}'$ kg/cm³	y, cm	K	Mt.m	u₁	Mt.m	u₂	K	w'	u'	u'	w	$1/\lambda_2'$
IV	AA	2,76	7,39	37,34	6,66	P.C	206,4	15,49	20,35	3,98	0,0304	1,54	0,0118	54	0,08	-	-	-	1,02
IV	AA	4,67	14,34	32,55	6,66	P.C	206,4	15,49	20,35	7,04	0,0539	2,30	0,0176	38,5	0,12	-	-	-	1,53
III	AA	6,46	19,98	32,34	6,66	P.C	206,4	15,49	20,35	9,76	0,0747	3,16	0,0242	32	0,18	-	-	-	2,30
II	AA	8,05	24,98	22,23	6,66	P.C	206,4	15,49	20,35	12,17	0,0932	3,93	0,0303	88	0,23	-	-	-	2,94
I	AA	7,86	29,31	26,82	6,66	P.C	206,4	15,49	20,35	12,70	0,0972	3,02	0,0231	26,8	0,18	-	-	-	2,30
II	BB	8,86	11,42	77,63	6,66	P.C	206,4	15,49	20,35	10,74	0,0822	6,98	0,0534	33	0,39	-	-	-	4,98
II	BB	6,33	21,96	28,82	6,66	P.C	206,4	15,49	20,35	9,95	0,0762	2,71	0,0207	31,2	0,15	-	-	-	1,92
III	BB	7,85	32,08	24,48	6,66	P.C	206,4	15,49	20,35	13,14	0,1006	2,56	0,0196	26,8	0,16	-	-	-	2,04
II	BB	9,08	41,78	21,74	6,66	P.C	206,4	15,49	20,35	15,97	0,1223	2,19	0,0167	23	0,14	-	-	-	1,78
I	BB	10,82	51,36	21,06	6,66	P.C	206,4	15,49	20,35	19,29	0,1477	2,34	0,0179	20,5	0,16	-	-	-	2,04
II	AA	6,39	12,52	51,02	6,66	P.C	206,4	15,49	20,35	8,46	0,0647	4,32	0,0330	36	0,24	-	-	-	3,07
IV	AA	8,13	28,78	28,85	6,66	P.C	206,4	15,49	20,35	12,88	0,0986	3,38	0,0259	27	0,20	-	-	-	2,56
III	AA	9,50	46,59	20,38	6,66	P.C	206,4	15,49	20,35	17,19	0,1316	1,81	0,0138	21,8	0,13	-	-	-	1,66
II	AA	9,97	65,52	15,81	6,66	P.C	181,68	14,36	83,12	20,78	0,1591	-0,84	0,0064	18,5	-	0,8452	0,0099	0,40	5,11
I	AA	12,34	84,76	14,56	6,66	P.C	178,33	14,20	23,55	26,33	0,2016	-1,65	0,0126	16,5	-	0,3166	0,0198	0,59	7,54
II	BB	11,10	15,06	73,66	6,66	P.C	206,4	15,49	20,35	13,58	0,1040	8,62	0,0660	28,8	0,49	-	-	-	6,26
IV	BB	8,54	33,26	25,67	6,66	P.C	206,4	15,49	20,35	14,03	0,1074	3,05	0,0233	25,5	0,19	-	-	-	2,43
III	BB	10,33	52,46	19,69	6,66	P.C	204,8	15,42	20,52	18,99	0,1454	1,67	0,0128	20	-	0,1988	0,0174	0,13	1,66
II	BB	10,92	72,17	15,73	6,66	P.C	181,26	13,34	23,17	22,83	0,1748	-0,99	0,0075	17,8	-	0,2701	0,0117	0,34	4,34
I	BB	13,88	92,02	15,09	6,66	P.C	181,06	14,33	23,20	29,06	0,2285	-1,30	0,0099	15,5	-	0,3442	0,0154	0,76	9,71
V	BB														-	-	-		
III	BB														-	-	-		
IV	AA														-	-	-		
II	AA														-	-	-		
I	AA														-	-	-		
IV	BB														-	-	-		
III	BB														-	-	-		
II	BB														-	-	-		
I	BB														-	-	-		

même résultats que ceux dûs à
Mcorr et Nmax.

Niv	Pot	Mt m	N(t)	C0 cm	e, cm	Soll	$\bar{\sigma}_b' \text{ kg/cm}^2$	y, cm	\bar{x}	$\bar{w}_{\text{at}} \text{ t/m}$	M_1	$M_{\text{at}}^c \text{ t/m}$	M_2	K	$\hat{\omega}$	ψ'	ψ''	$\tilde{\omega}$	$A'_1 = A'_2$
IV	AA	8,14	5,98	35,74	6,66	P.C.	206,4	15,49	20,35	3,13	0,0239	1,15	0,0088	61	0,04	-	-	-	0,51
IV	AA	4,85	10,37	46,83	6,66	P.C.	206,4	15,49	20,35	6,56	0,0502	3,14	0,0240	41	0,18	-	-	-	2,30
III	AA	6,09	15,80	38,54	6,66	P.C.	206,4	15,49	20,35	8,70	0,0666	3,48	0,0266	36,8	0,19	-	-	-	2,43
II	AA	7,40	17,92	41,28	6,66	P.C.	206,4	15,49	20,35	10,36	0,0793	4,44	0,0340	32	0,26	-	-	-	3,32
I	AA	7,94	23,06	34,44	6,66	P.C.	206,4	15,49	20,35	11,74	0,0899	4,14	0,0317	28,8	0,26	-	-	-	3,32
IV	BB	4,29	11,04	38,82	6,66	P.C.	206,4	15,49	20,35	6,11	0,0467	2,47	0,0189	42	0,14	-	-	-	1,79
IV	BB	6,835	23,10	29,60	6,66	P.C.	206,4	15,49	20,35	10,65	0,0815	3,02	0,0231	30,5	0,17	-	-	-	2,17
III	BD	8,39	37,23	22,52	6,66	P.C.	206,4	15,49	20,35	14,53	0,1113	2,85	0,0172	24,5	0,14	-	-	-	1,79
II	BB	8,85	48,56	18,23	6,66	P.C.	197,27	15,07	21,32	16,86	0,1291	0,84	0,0064	22,5	0,14	-	-	-	0,51
I	BD	11,34	59,82	18,95	6,66	P.C.	200,98	15,25	20,89	21,81	0,1624	1,47	0,0112	18,7	-	0,2263	0,0756	0,16	2104
V	AA	5,47	9,87	55,41	6,66	P.C.	206,4	15,49	20,35	3,84	0,0294	39,5	0,0294	39,5	0,22	-	-	-	2,81
IV	AA	7,11	21,48	33,12	6,66	P.C.	206,4	15,49	20,35	3,57	0,0273	30,5	0,0273	30,5	0,20	-	-	-	2,56
III	AA	8,54	31,81	26,84	6,66	P.C.	206,4	15,49	20,35	3,29	0,0252	25,8	0,0252	25,8	0,20	-	-	-	2,56
II	AA	9,03	46,11	19,58	6,66	P.C.	204,83	15,39	20,57	1,42	0,0108	22,5	0,0108	22,5	0,11	-	-	-	1,41
I	AA	11,71	60,71	19,58	6,66	P.C.	202,68	15,33	20,72	1,69	0,0129	18,5	0,0129	18,5	-	0,2229	0,0179	0,21	2168
V	BB	4,39	12,93	33,93	6,66	P.C.	206,4	15,49	20,35	3,06	0,0234	39,5	0,0234	39,5	0,16	-	-	-	2104
IV	BB	7,69	29,58	26,00	6,66	P.C.	206,4	15,49	20,35	4,30	0,0329	28,2	0,0329	28,2	0,24	-	-	-	3107
III	BB	9,57	44,48	21,51	6,66	P.C.	206,4	15,49	20,35	3,21	0,0245	22,2	0,0245	22,2	0,23	-	-	-	2168
II	BB	10,73	62,67	17,12	6,66	P.C.	197,54	14,83	21,93	21,07	0,1614	0,39	0,0029	18,5	-	0,2359	0,0044	0,11	1,41
I	BB	13,11	80,99	16,19	6,66	P.C.	186,71	14,60	22,49	26,47	0,2023	-0,25	0,0079	16	-	0,3040	0,0098	0,45	5,77
V	AA	5,57	9,87	55,41	6,66	P.C.	206,4	15,49	20,35	7,10	0,0543	31,84	0,0294	39,5	-	-	-	-	2,81
IV	AA	7,11	21,48	33,12	6,66	P.C.	206,4	15,49	20,35	10,65	0,0815	3,57	0,0273	30,5	-	-	-	-	2,56
III	AA	8,54	31,82	26,84	6,66	P.C.	206,4	15,49	20,35	13,79	0,1056	3,89	0,0252	25,8	-	-	-	-	2,56
II	AA	9,03	46,11	19,58	6,66	P.C.	204,83	15,39	20,57	16,64	0,1274	1,42	0,0108	22,5	-	-	-	-	1,41
I	AA	11,71	60,71	19,28	6,66	P.C.	202,68	15,33	20,72	21,73	0,1664	1,69	0,0129	18,5	0,2229	0,0299	0,21	2168	
V	BB	4,39	12,93	40,13	6,66	P.C.	206,4	15,49	20,35	7,32	0,0560	3,06	0,0234	39,5	-	-	-	-	2104
IV	BB	7,69	24,29	34,21	6,66	P.C.	206,4	15,49	20,35	12,32	0,0943	4,30	0,0329	28,2	-	-	-	-	3107
III	BB	9,57	42,16	24,11	6,66	P.C.	206,4	15,49	20,35	17,13	0,1312	3,81	0,0245	22,2	-	-	-	-	2168
II	BB	10,73	54,60	19,45	6,66	P.C.	204,59	15,41	20,53	19,74	0,1512	1,72	0,0131	19,5	0,2069	0,0180	0,15	1,9	
I	BB	13,70	66,90	20,48	6,66	P.C.	206,4	15,49	20,35	24,74	0,1895	2,66	0,0203	17,5	0,2570	0,0276	0,48	6,13	

113

NIV	Pot	M (cm)	N (E)	c0 cm	c1 cm	Solln/c	\bar{v}_0 KHz	y1 cm	R	M_{atm}	μ_1	M_{atm}^c	μ_2	K	W	ψ_1	ψ_2	w	$A \frac{\text{V}}{\text{cm}^2}$
II	1-9	3,93	7,42	52,90	5,83	P.C.	206,40	13,37	20,35	4,97	0,0447	2,89	0,0260	44,0	0,18	-	-	-	2,87
IV	9-17	6,13	19,87	30,83	5,83	P.C.	206,40	13,37	20,35	8,91	0,0801	2,35	0,0301	31,0	0,23	-	-	-	2,90
III	17-25	7,43	34,46	27,55	5,83	P.C.	206,40	13,37	20,35	12,25	0,1102	2,60	0,0233	25,0	0,18	-	-	-	2,87
II	25,33	7,97	50,61	15,75	5,83	P.C.	196,08	12,97	21,42	15,06	0,1355	0,88	0,0079	21,0	-	0,1935	0,0193	0,10	1,26
I	33,41	9,81	67,48	14,54	5,83	P.C.	188,94	12,69	22,23	19,26	0,1733	0,36	0,0032	17,8	-	0,2568	0,0048	0,126	3,28
II	8-10	4,21	11,12	37,83	5,83	P.C.	206,40	13,37	20,35	5,77	0,0519	2,65	0,0238	41,2	0,16	-	-	-	2,02
IV	10-18	7,23	88,17	25,68	5,83	P.C.	206,40	13,37	20,35	11,17	0,1005	3,29	0,0296	27,5	0,22	-	-	-	2,77
III	18-26	9,20	40,04	22,97	5,83	P.C.	206,40	13,37	20,35	14,82	0,1332	3,59	0,0323	23,0	0,26	-	-	-	3,28
II	26-34	9,722	61,97	15,90	5,83	P.C.	196,96	13,03	21,32	18,40	0,1655	1,05	0,0094	18,5	-	0,2363	0,0134	0,20	2,52
I	34-42	12,19	79,08	15,41	5,83	P.C.	194,07	12,90	21,64	23,26	0,2093	1,12	0,0010	16,0	-	0,319	0,0145	0,143	6,17
II	3-11	3,69	13,48	27,36	5,83	P.C.	206,40	13,37	20,35	5,58	0,0502	1,80	0,0162	40,5	0,10	-	-	-	1,26
IV	11-19	6,12	25,20	24,28	5,83	P.C.	206,40	13,37	20,35	9,65	0,0869	2,59	0,0233	29,8	0,16	-	-	-	2,02
III	19-27	7,75	38,03	20,40	5,83	P.C.	206,40	13,37	20,35	13,07	0,1176	2,43	0,0218	24,2	0,18	-	-	-	2,97
II	27-35	8,19	50,82	16,11	5,83	P.C.	198,20	13,06	21,19	15,30	0,1376	1,08	0,0097	21,0	-	0,2693	0,0137	0,33	4,18
I	35-43	10,25	63,62	16,10	5,83	P.C.	198,14	13,05	21,20	19,16	0,1724	1,34	0,0120	18,5	-	0,2695	0,0171	0,34	4,28
IV	4-12	4,34	8,42	51,55	5,83	P.C.	206,40	13,37	20,35	5,52	0,0496	3,16	0,0184	42,0	0,21	-	-	-	2,65
IV	12-20	7,27	17,11	42,52	5,83	P.C.	206,40	13,37	20,35	9,67	0,0870	4,87	0,0438	31,0	0,32	-	-	-	4,03
III	20-28	9,24	25,27	36,58	5,83	P.C.	206,40	13,37	20,35	12,78	0,1150	7,95	0,0115	27,5	0,54	-	-	-	6,80
II	28-36	9,76	33,19	29,40	5,83	P.C.	206,40	13,37	20,35	14,40	0,1295	5,71	0,0453	23,8	0,36	-	-	-	4,54
I	36-44	12,23	41,29	29,63	5,83	P.C.	206,40	13,37	20,35	18,02	0,1620	6,45	0,0580	21,0	0,47	-	-	-	5,92
IV	7-9	3,16	61340	49,78	5,83	P.C.	206,40	13,37	20,35	4,05	0,0364	2,27	0,0204	49,5	0,14	-	-	-	1,76
II	9-17	5,08	17,56	28,95	5,83	P.C.	206,4	13,37	20,35	7,57	0,0678	2,62	0,0236	B4,5	0,16	-	-	-	2,06
III	17-25	6,17	30,57	20,19	5,83	P.C.	206,4	13,37	20,35	10,45	0,0940	1,09	0,0170	27,2	0,12	-	-	-	1,51
II	25-33	6,63	44,89	14,76	5,83	P.C.	206,40	12,17	22,06	12,92	0,01161	0,35	0,0031	23,0	0,04	-	-	-	0,5
I	33-41	8,21	59,80	13,72	5,83	P.C.	184,11	12,50	22,81	16,58	0,0149	0,16	0,0014	19,5	-	0,2269	0,0022	0,14	1,76
II	2-10	3,77	8,32	45,28	5,83	P.C.	206,40	13,37	20,35	4,93	0,0443	2,60	0,0234	44,0	0,15	-	-	-	1,89
IV	10-18	6,12	20,87	29,31	5,83	P.C.	206,40	13,37	20,35	9,04	0,0813	3,10	0,0288	30,5	0,20	-	-	-	2,52
III	18-26	7,75	33,550	23,11	5,83	P.C.	206,40	13,37	20,35	12,145	0,1120	3,05	0,0274	25,0	0,22	-	-	-	2,77
II	26-34	8,19	40,678	17,73	5,83	P.C.	206,40	13,37	20,35	14,66	0,1319	7,72	0,0154	27,0	0,16	-	-	-	2,02
I	34-42	10,25	58,630	17,48	5,83	P.C.	206,28	13,30	20,36	18,46	0,1663	2,04	0,0183	19,0	-	0,2254	0,0249	0,24	3,024
IV	3-11	3,68	9,290	39,62	5,83	P.C.	206,40	13,37	20,35	4,98	0,0448	2,38	0,0214	43,0	0,16	-	-	-	2,02
II	11-19	6,11	20,19	30,27	5,83	P.C.	206,40	13,37	20,35	8,94	0,0804	3,28	0,0295	30,8	0,22	-	-	-	2,77
III	19-27	7,75	32,15	24,12	5,83	P.C.	206,40	13,37	20,35	22,05	0,1102	3,25	0,0292	25,0	0,22	-	-	-	2,77
IV	27-35	8,18	49,12	18,54	5,83	P.C.	206,40	13,37	20,35	14,36	0,1292	2,00	0,0180	22,0	0,14	-	-	-	1,76
I	35-43	10,24	56,09	18,25	5,83	P.C.	206,40	13,37	20,35	18,09	0,1627	2,39	0,0215	19,0	-	0,2208	0,0291	0,22	2,77
IV	4-12	3,64	6,95	58,36	5,83	P.C.	206,40	13,37	20,35	4,64	0,0474	2,67	0,0240	46,0	0,14	-	-	-	1,76
II	12-20	6,07	13,68	44,35	5,83	P.C.	206,40	17,37	20,35	7,99	0,0719	5,15	0,0373	34,0	0,28	-	-	-	3,53
III	20-28	7,70	21,03	36,43	5,83	P.C.	206,40	13,37	20,35	10,64	0,0957	4,76	0,0428	28,5	0,34	-	-	-	4,28
II	28-36	8,16	38,17	28,96	5,83	P.C.	206,40	13,37	20,35	12,10	0,1089	4,22	0,0380	26,0	0,28	-	-	-	3,53
I	36-44	10,19	35,03	19,10	5,83	P.C.	206,40	13,37	20,35	15,07	0,1356	5,29	0,0276	23,0	0,36	-	-	-	4,54

Ncorr.

Nmin.

Ncorr.

Nmax.

SP2.

Portique 1-1

114

NIV	Pot	M.t.m	N.t	e _a cm	e _o cm	s011	\bar{e}_b kg/cm ²	y, cm	K	Δe_t^c t.m	μ_1	Δe_b^c t.m	μ_2	K	w	w'	u'	w'	A_{cm^2}
II	1-9	3,126	9,675	5,83	32,31	P.C.	806,4	13,37	20,23	4,480	0,0403	-1,771	0,0159	46	0,12	-	-	-	1,512
IV	3-17	4,001	25,361	5,83	15,78	P.C.	196,26	12,98	81,4	7,551	0,0679	0,450	0,0040	33,5	0,04	-	-	-	0,504
III	17-25	5,242	42,811	5,83	12,42	P.C.	176,44	12,17	23,8	11,151	0,1003	0,667	0,0060	25,5	0,04	-	-	-	0,504
II	25-33	5,186	63,384	5,83	8,18	P.C.	151,44	11,06	27,7	14,06	0,1865	3,687	0,0331	23,5	0,28	-	-	-	3,528
I	33-41	6,486	84,872	5,83	7,64	P.C.	148,25	10,90	28,3	18,37	0,1653	5,396	0,0485	20	-	0,312	0,0917	0,182	10,332
V	2-10	4,186	19,002	5,83	22,40	P.C.	206,4	13,37	20,3	6,916	0,0628	-1,595	0,0143	35	0,12	-	-	-	1,512
IV	10-18	7,203	37,107	5,83	18,41	P.C.	206,4	13,37	20,3	12,399	0,1115	-2,008	0,0180	24,5	0,14	-	-	-	1,784
III	18-26	9,178	57,352	5,83	16,00	P.C.	197,55	13,03	21,3	17,207	0,1548	-1,149	0,0103	19	-	0,219	0,0146	0,18	2,268
II	26-34	9,780	78,078	5,83	12,53	P.C.	177,09	12,20	23,7	20,711	0,1863	1,151	0,0103	17,5	-	0,295	0,016	0,56	7,056
I	34-42	12,202	98,919	5,83	12,34	P.C.	175,97	12,16	23,8	26,051	0,2344	1,647	0,0148	14,5	-	0,373	0,023	0,98	12,348
V	3-11	3,588	15,887	5,83	23,47	P.C.	206,4	13,37	20,3	5,728	0,0515	-1,448	0,0130	40	0,12	-	-	-	1,512
IV	11-19	6,027	38,213	5,83	18,71	P.C.	206,4	13,37	20,3	10,537	0,0948	-1,517	0,0136	28	0,12	-	-	-	1,512
III	19-27	7,672	49,424	5,83	15,52	P.C.	194,72	12,92	21,6	14,591	0,1313	-0,752	0,0067	31,5	-	0,1889	0,009	0,10	1,26
II	27-35	8,127	66,691	5,83	12,20	P.C.	175,15	12,12	23,8	17,457	0,1571	1,902	0,0108	19	-	0,251	0,017	0,28	3,528
I	35-43	10,192	83,855	5,83	12,15	P.C.	174,85	12,11	24,0	21,932	0,1973	1,548	0,0139	16,5	-	0,316	0,022	0,68	8,568
IV	4-12	3,611	13,474	5,83	26,80	P.C.	206,4	13,37	20,3	5,497	0,0494	-1,725	0,0155	41	0,10	-	-	-	1,260
IV	12-20	6,874	28,725	5,83	23,93	P.C.	206,4	13,37	20,3	10,895	0,0980	-2,852	0,0256	26	0,18	-	-	-	2,268
III	20-28	6,486	43,650	5,83	14,86	P.C.	190,83	12,77	20,0	12,595	0,1133	-0,375	0,0033	23,5	0,04	-	-	-	0,504
II	28-36	6,845	60,353	5,83	11,34	P.C.	170,07	11,90	24,90	15,194	0,1376	1,604	0,0144	21	-	0,2260	0,024	0,35	6,30
I	36-44	8,497	77,091	5,83	11,02	P.C.	168,19	11,82	24,82	19,288	0,1735	2,295	0,0206	18,5	-	0,2889	0,034	0,55	6,93
V	1-9	9,038	9,038	5,83	33,810	P.C.	206,4	13,37	20,3	4,319	0,0388	-1,788	0,0160	47	0,13	-	-	-	1,638
IV	9-17	4,1968	17,023	5,83	29,17	P.C.	206,4	13,37	20,3	7,352	0,0661	-2,584	0,0232*	35	0,20	-	-	-	2,520
III	17-25	6,071	33,888	5,83	17,92	P.C.	180,16	13,37	20,3	10,1814	0,0973	-1,328	0,0119	26	0,08	-	-	-	1,008
II	25-33	6,450	49,43	5,83	13,05	P.C.	173,93	12,33	23,3	6,920	0,0622	-5,379	0,0538	38	0,40	-	-	-	5,040
I	33-41	8,080	67,321	5,83	12,00	P.C.	206,4	12,07	24,1	17,503	0,1575	1,344	0,0121	18,5	-	0,2534	0,0194	0,32	4,032
V	2-10	3,640	17,111	5,83	21,28	P.C.	174,132	13,37	20,3	6,035	0,0543	-1,244	0,0112	37	0,10	-	-	-	1,260
III	10-18	6,055	34,154	5,83	17,53	P.C.	174,132	13,37	20,3	10,891	0,0980	-1,219	0,0109	26	0,08	-	-	-	1,008
III	18-26	6,166	51,114	5,83	12,06	P.C.	175,44	12,08	24,1	13,325	0,1199	0,993	0,0089	32,5	0,10	-	-	-	1,260
II	26-34	8,145	66,47	5,83	12,25	P.C.	177,15	12,13	23,9	17,470	0,1570	1,163	0,0104	18,5	-	0,2500	0,0160	0,28	3,528
I	34-42	10,181	81,139	5,83	12,54	P.C.	206,4	12,20	23,7	21,605	0,1944	1,185	0,0106	16,5	-	0,3070	0,0160	0,58	7,308
V	3-11	3,588	14,170	5,83	24,41	P.C.	206,4	13,37	20,3	5,645	0,0508	-1,530	0,0137	39,5	0,08	-	-	-	1,008
IV	11-19	6,027	30,933	5,83	19,49	P.C.	198,44	13,37	20,3	10,357	0,0932	-1,697	0,0153	27	0,12	-	-	-	1,26
III	19-27	7,672	47,151	5,83	16,15	P.C.	177,98	13,06	21,2	14,323	0,1289	-1,021	0,0092	21,5	0,10	-	-	-	2,898
II	27-35	8,127	64,09	5,83	12,68	P.C.	177,68	12,24	23,6	17,099	0,1538	-0,845	0,0073	18,5	-	0,242	0,0199	0,23	6,300
I	35-43	10,192	80,67	5,83	12,63	P.C.	206,4	12,22	23,6	21,485	0,1906	1,101	0,0099	16,5	-	0,304	0,0156	0,50	6,300
V	4-12	3,563	12,34	5,83	28,89	P.C.	206,4	13,37	20,3	5,889	0,0476	-1,836	0,0165	41	0,10	-	-	-	1,26
IV	12-20	6,385	26,184	5,83	23,79	P.C.	206,4	13,37	20,3	10,143	0,0913	-2,627	0,0236	28	0,13	-	-	-	1,638
III	20-28	7,400	40,96	5,83	18,07	P.C.	206,4	13,37	20,3	13,134	0,1182	-1,666	0,0149	22,5	0,10	-	-	-	1,260
V	28-36	8,406	54,42	5,83	16,45	P.C.	194,32	12,90	21,6	16,025	0,1442	-0,787	0,0091	20	-	0,207	0,010	0,10	1,260
I	36-44	9,013	67,86	5,83	14,63	P.C.	189,36	12,71	22,1	19,413	0,1749	-0,473	0,0037	17	-	0,258	0,005	0,22	2,772

M.att. N.att. Nmin. Sp₁. Portique 22. Sp₂.

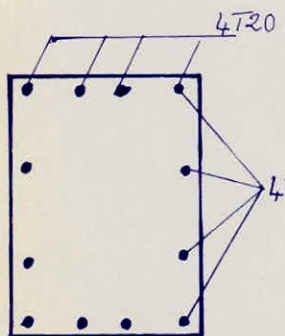
N corr.

N max.

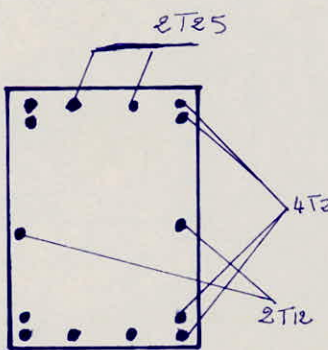
Sp₁.Sp₂.

SA

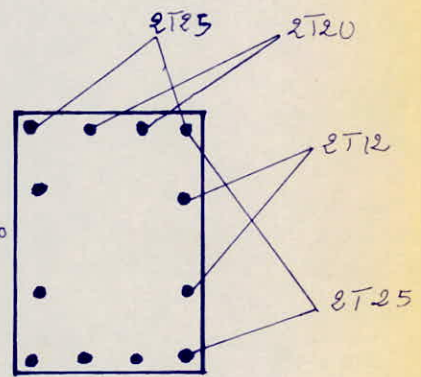
Ferraillage adopté :



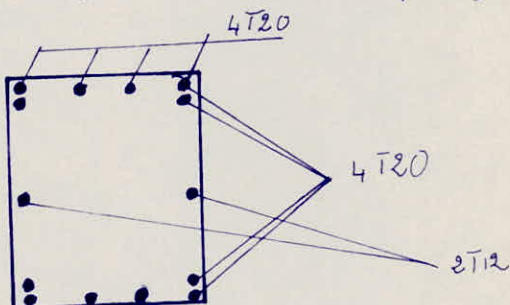
poteau N° 1
Niv I, II, III, IV et V
poteaux N° 3, 4 et 5
Niv I, II, III, IV, V



Poteau N° 2
Niv I



poteaux N° 10, 11 et 12
Niv I, II, III, IV et V



poteau N° 2
Niv II, III, IV, V

. VOILE PERIPHERIQUE

. L'infrastructure comporte un voile périphérique continu entre le niveau des fondations (semelles) et le niveau du premier plancher (niveau conventionnel 0,00)

Ce voile représente un bon chevalement au niveau du RDC et assure une stabilité de l'ensemble du bâtiment

DIMENSIONNEMENT :

a) Hauteur du voile (h)

$h \geq \max(10\% \text{ de la hauteur du bâtiment}, 0,80\text{m})$ d'après C.T.C

$$\Rightarrow h \geq \frac{10}{100} \cdot 16,64 = 1,664 \text{ m} \Rightarrow h_t = 1,7 \text{ m}$$

b) Epaisseur du voile (e)

$e \geq \max(10\% \text{ de la hauteur du voile ; } 0,15\text{m})$

$$e \geq \frac{10}{100} \cdot 1,7 = 0,15 \text{ m} \Rightarrow e = 15 \text{ cm}$$

Le complément du (P.S) du C.T.C recommande aussi de prendre :

- 1- Les armatures longitudinales filantes supérieures et inférieures de section (A) supérieur à 0,20% de la section transversale du béton avec recouvrement supérieur ou égal à 50 Ø donc :

$$A \geq \frac{0,20}{100} \cdot 170 \cdot 17 = 5,78 \text{ cm}^2$$

- 2- Les armatures longitudinales de peu de section supérieur ou égale à 2 cm² par face et par mètre linéaire de hauteur.

LONGRINES

- EN Zone II Les fondations seront châssées dans les 2 directions avec des Longrines suffisamment rigides.
- Les Longrines doivent équilibrer une force maximale de compression ou de traction au moins égales à 10% de la plus grande charge verticale.
- La charge représente la force axiale du poteau en question à cette sollicitation; il faut ajouter les efforts de charges (poids de Longrines) et des moments appliqués directement à la Longrine;
- le ferrailage minimum doit être de 4φ14 et 4T12 avec les cadres dont l'espacement ne doit pas dépasser 20 cm.

a) LONGRINES SUR PORTIQUES LONGITUDINAUX:

$$N'_{\max} = 98,58t \Rightarrow \text{Effort de traction} \quad N = \frac{N'_{\max}}{10} = \frac{98,58}{10}$$

$$N = 9,858t$$

$$b = 0,35 \text{ m}$$

$$h_t = 0,40 \text{ m}$$

$$L = 3,3 \text{ m}$$

charges = poids propre de Longrine :

$$q = 0,35 \times 0,40 \times 2,5 = 0,35t/\text{m}^2$$

calcul des efforts:

$$M_t = 0,81 q \frac{h_t^2}{8} = 0,81 \cdot 350 \cdot \frac{3,3^2}{8} = 385,91 \text{ kg.m.}$$

$$M_{ap} = 0,5 \cdot q \cdot \frac{h_t^2}{8} = 0,5 \cdot 350 \cdot \frac{3,3^2}{8} = 238,22 \text{ kg.m.}$$

$$T = q \frac{h_t}{2} = 350 \cdot \frac{3,3}{2} = 577,5 \text{ kg.}$$

calcul des armatures:

$$\text{à l'appui:} \quad l = b - (3,5 + e_0) ; \quad e_0 = \frac{M_{ap}}{N}$$

$$e_0 = \frac{238,22 \cdot 10^2}{9858} = 2,42 \text{ cm} < \frac{h_t}{6} = \frac{40}{6} = 6,66 \text{ cm} \quad \text{Section entièrement tendue}$$

$$l = 35, - (3,5 + 2,42) = 29,08 \text{ cm.}$$

$$z = \frac{7}{8} h_t = 35 \text{ cm}$$

$$A_1 = \frac{N l}{f_a z} = \frac{9858 \cdot 29,08}{2800 \cdot 35} = 2,925 \text{ cm}^2$$

$$A_2 = \frac{N (z - e)}{f_a \cdot z} = \frac{9858 (35 - 29,08)}{2800 \cdot 35} = 0,59 \text{ cm}^2$$

en Travée:

$$e_0 = \frac{385,91 \cdot 10^2}{9858} = 3,91 \text{ cm} < 6,66 \text{ cm} \Rightarrow \text{Section entièrement tendue}$$

$$l = 35 - (3,5 + 3,91) = 27,59 \text{ cm}$$

$$A_1 = \frac{N\ell}{\bar{F}_a Z} = \frac{9858 \cdot 27,59}{2800 \cdot 35} = 2,775 \text{ cm}^2$$

$$A_2 = \frac{N(Z-l)}{\bar{F}_a Z} = \frac{9858 \cdot (35 - 27,59)}{2800 \cdot 35} = 0,745 \text{ cm}^2$$

Armatures Transversales:

$$T = 577,5 \text{ Kg}$$

$$\bar{Z}_b = \frac{T}{b \cdot Z} = \frac{577,5}{35 \cdot 35} = 0,47 \text{ kg/cm}^2$$

$$\bar{Z}_b = 3,5 \bar{F}_b = 80,65 \text{ kg/cm}^2 \Rightarrow \bar{Z}_b < \bar{Z}_b$$

Espacement admissibles:

$$E = t_{\max} \begin{cases} 0,2 h = 0,2 \cdot 40 = 8 \text{ cm} \\ h(1 - 0,3 \frac{\bar{Z}_b}{\bar{F}_b}) = 40(1 - 0,3 \frac{0,47}{5,9}) = 39,04 \text{ cm} \end{cases}$$

On choisit 3 cadres:

$$6\phi 8 = 3,01 \text{ cm}$$

$$\bar{F}_{at} = 1600 \text{ kg/cm}^2$$

$$t = \frac{3,01 \cdot 1600 \cdot 718 \cdot 36,5}{577,5} = > 20 \text{ cm}$$

donc : On adoptera $\boxed{t = 20 \text{ cm}}$

b) LONGRINES SUR PORTIQUES TRANSVERSAUX:

$$1) N'_{\max} = 98,58 t \Rightarrow \text{Effort de traction } N = 9,858 t$$

$$b = 40 \text{ cm}$$

$$h_t = 40 \text{ cm}$$

$$L = 4,2 \text{ m}$$

charges: poids de Longrines:

$$q = 0,40 \cdot 0,40 \cdot 2,5 = 0,4 \text{ t/m}^2$$

calcul des efforts:

$$M_t = 0,819 \frac{t^2}{8} = 0,81 \cdot 400 \cdot \frac{4,2^2}{8} = 714,42 \text{ kg.m.}$$

$$M_{ap} = 0,59 \frac{t^2}{8} = 0,5 \cdot 400 \cdot \frac{4,2^2}{8} = 441 \text{ kg.m.}$$

$$T = 9 \frac{t^2}{2} = 400 \cdot \frac{4,2^2}{2} = 840 \text{ Kg}$$

Calcul des armatures :

à l'appui :

$$e_0 = \frac{M_{ap}}{N} = \frac{44110}{9858} = 4,47 \text{ cm} < \frac{h_t}{6} = \frac{40}{6} = 6,66 \text{ cm} \Rightarrow$$

Section entièrement tendue.

$$z = \frac{7}{8} h = 35 \text{ cm.}$$

$$\ell = 40 - (3,5 + 4,47) = 32,03 \text{ cm.}$$

$$A_1 = \frac{N\ell}{\bar{\sigma}_a z} = \frac{9858 \cdot 32,03}{2800 \cdot 35} = 3,22 \text{ cm}^2$$

$$A_2 = \frac{N(z-\ell)}{\bar{\sigma}_a z} = \frac{9858 \cdot (35 - 32,03)}{2800 \cdot 35} = 0,298 \text{ cm}^2$$

en travée :

$$e_0 = \frac{714,42 \cdot 10}{9858} = 7,2 \text{ cm} > \frac{h_t}{6} \Rightarrow \text{Section partiellement tendue}$$

$$M = M - N_a$$

$$M = 714,42 - 9858 \cdot 0,165 = -912,15 \text{ kgm.}$$

$$M = -912,15 \text{ kg cm.}$$

$$M = \frac{15M}{\bar{\sigma}_a \cdot b R^2} = \frac{15 \cdot 912,15}{2800 \cdot 40 \cdot 36,5^2} = 0,0092 \Rightarrow \begin{cases} K = 101 \\ \varepsilon = 0,9569 \end{cases}$$

$$\bar{\sigma}_b' = \frac{\bar{\sigma}_a}{K} = \frac{2800}{101} = 27,72 < \bar{\sigma}_b' \Rightarrow A' = 0$$

$$\therefore A = \frac{M}{\bar{\sigma}_a \cdot E R} = \frac{912,15}{2800 \cdot 0,9569 \cdot 36,5} = 0,94 \text{ cm}^2$$

on adoptera à 4 T12

espacement des cadres verticaux $t = 20 \text{ cm}$

la répartition sera uniforme.

Armatures Transversales :

$$T = 840 \text{ kg}$$

$$\bar{\sigma}_b = \frac{T}{b z} = \frac{840}{40 \cdot 35} = 0,6 \text{ kg/cm}^2$$

$$\bar{\sigma}_b = 3,5 \bar{\sigma}_b = 20,65 \text{ kg/cm}^2 \Rightarrow \bar{\sigma}_b < \bar{\sigma}_b$$

$$\text{Espacements admissibles : } E = t_{\max} \left\{ \begin{array}{l} 0,2 R = 8 \text{ cm} \\ h(1 - 0,3 \frac{\bar{\sigma}_b}{\bar{\sigma}_b}) = 38,8 \text{ cm} \end{array} \right.$$

on choisira 3 cadres : $6 \phi 8 = 3,01 \text{ cm}^2$

$\bar{\sigma}_{at} = 1600 \text{ kg/cm}^2$; $E_{calculé} > 20 \text{ cm}$; donc on adoptera $t = 20 \text{ cm}$

* vérification de la condition de non poinçonnement

La condition de non poinçonnement sous charges localisées doit être satisfaite sous les sollicitations pondérées du 1^{er} genre.

$$\sigma_b = \frac{1,5 W}{P_c h_t} \leq 1,2 \bar{\sigma}_b$$

$$P_c = 2(a \cdot b + 2 P_t)$$

\rightarrow l'effort sur le poteau le plus chargé est le N° 10

$$W = 99,67 t$$

$$P_c = 2(35 \times 40 + 2 \times 3,06) = 2812,24 \text{ cm}$$

$$\bar{\sigma}_b = \frac{1,5 \cdot 99670}{2812,24 \cdot 3,0618} = 0,174 \text{ kg/cm}^2 \leq 1,2 \bar{\sigma}_b = 7,08 \text{ kg/cm}^2$$

Pour les autres poteaux; il est évident qu'elle soit vérifiée car ils sont moins chargés.

FONDATIONS

Introduction :

La fondation est destinée à transmettre au sol, les charges et les surcharges provenant de la superstructure, dans les conditions normales d'exploitation et d'assurer la stabilité d'ensemble de l'ouvrage, lorsque celui-ci est sollicité par des efforts d'origine climatique (sismique).

Le dimensionnement de la fondation consiste à déterminer quelle sera la grandeur de celle-ci compatible avec la capacité portante admissible du sol.

Les fondations à étudier sont des fondations superficielles.

La contrainte du sol est $\bar{\sigma}_s = 2 \text{ bars} = 2,04 \text{ kg/cm}^2$ à un ancrage de 1,5m. On disposera au dessous de la semelle une épaisseur de béton de propreté de 5 à 10 cm.

La contrainte admissible est majorée de 33% ; lorsque il s'agit des sollicitations du 2^{ème} genre. Elles seront dimensionnées sous SP₁ et vérifiées sous SP₂.

charges :

N_1 effort normal

$N_2 = \frac{N_1}{10}$ on estime le poids de la terre et de la semelle. à $\frac{1}{10}$ de N_1 .

N_3 = poids du fil des poteaux.

Nous aurons $Q = \sum_{i=1}^4 N_i$

Dimensionnement sous SP₁.

$$1) \frac{Q}{S} \leq \bar{\sigma}_s \Rightarrow S \geq \frac{Q}{\bar{\sigma}_s} \quad S = \text{surface de la semelle.}$$

$$2) \frac{a}{b} = \frac{A}{B} = \frac{35}{40} = \frac{7}{8} \Rightarrow A = \frac{7}{8} B$$

$$3) S = A \cdot B$$

$$\text{donc } A \cdot B = \frac{7}{8} B^2 \geq \frac{Q}{\bar{\sigma}_s} \rightarrow B = \left(\frac{8 Q}{7 \bar{\sigma}_s} \right)^{1/2}$$

$$h_t \geq d_2 + \frac{B - b}{4} \quad d_1 = 3,5 \text{ cm}$$

$$e \geq 6\phi + 6.$$

sous \bar{S}_1 : $\bar{T}_s = 2 \text{ bars} = 2,04 \text{ kg/cm}^2$

sous \bar{S}_2 : $\bar{T}_s = 1,33 \bar{T}_s(\bar{S}_1) = 2,713 \text{ kg/cm}^2$

Dimensionnement sous " \bar{S}_1 ":

Semelle	N_{1+E}	N_2	$Q = EN_1$	B (cm)	A (cm)	R_f (cm)
1	35,79	3,579	39,37	150	135	35
2	72,31	7,231	79,54	215	190	25
3	62,38	6,238	68,62	200	175	45
4	40,80	4,080	44,88	160	140	35
9	57,63	5,763	63,39	190	170	45
10	90,61	9,061	99,67	240	210	55
11	84,20	8,420	92,62	230	205	55
12	75,51	7,551	83,06	220	195	50

Vérification sous " \bar{S}_2 ":

$$\bar{T}_{1,2} = \frac{N}{AB} \left(1 \pm \frac{M}{I} v \cdot \frac{AB}{N} \right) = \frac{N}{AB} \cdot \left(1 \pm \frac{6\%}{A} \right)$$

Semelle	$Q(t)$	$H(t_m)$	col(cm)	A	B	\bar{T}_1	$\bar{\sigma}_2$	$\frac{35,79+57,63}{4}$	Q/S	$\bar{\sigma}_1 - \bar{\sigma}_2$	$B/6$
1	67,48	9,81	14,54	135	150	5,49	1,18	4,49	3,33	4,31	25
2	79,08	12,19	15,41	190	215	2,88	0,99	2,41	1,94	1,89	35,8
3	63,62	10,25	16,11	175	200	2,82	0,81	2,32	1,82	2,01	33,3
4	41,29	12,23	29,62	140	160	4,18	-0,5	/	/	/	26,6
9	84,87	6,49	7,65	170	190	3,34	1,92	2,98	2,63	1,42	31,6
10	98,92	12,20	12,33	210	240	2,65	2,43	2,60	1,96	0,22	40
11	83,86	10,19	12,15	205	230	2,41	1,15	2,09	1,78	1,26	38,3
12	77,09	8,50	10,03	195	220	2,68	1,19	2,31	1,80	1,49	36,6
Semelle	(t)	(t_m)	(cm)	(cm)	(cm)	Kg/cm²	Kg/cm²	Kg/cm²	Kg/cm²		cm

d'après la comparaison de $(\bar{T}_1 - \bar{\sigma}_2)$ et Q/S on a

Trouvé :

- pour les semelles 2, 3, 10, 11, 12 on peut appliquer la méthode de bielles
- pour les semelles 1, 4 on ne peut pas appliquer la méthode des bielles même pour $(\bar{T}_1 > 0)$

Semelle sous poteau isolé; avec moment M_{G_0} en pied de poteau:

On suppose que le plan de flexion est le plan moyen du poteau contenant la dimension (b)

$$e_0 = \frac{M_{G_0}}{Q}$$

$e_0 \left\{ \begin{array}{l} \leq \frac{B}{6} \text{ diagramme des Contraintes Trapezoïdal} \\ > \frac{B}{6} \text{ diagramme des Contraintes triangulaire} \end{array} \right.$

1°) dans le cas $e_0 \leq \frac{B}{6}$ on vérifie que $\sigma_s = \frac{Q}{A+B} \left(1 + \frac{3e_0}{B} \right) \leq \bar{\sigma}_s$

2°) dans le cas $e_0 > \frac{B}{6}$ on vérifie que $\sigma_{sII} = \frac{2Q}{3(B_2 - e_0)A} \leq 1,33 \bar{\sigma}_s$

Semelle N° 1 $\sigma_s = 4,30 \text{ kg/cm}^2 > \bar{\sigma}_s = 2,04 \text{ kg/cm}^2$ (Trap)

Semelle N° 3 $\sigma_s = 2,25 \text{ kg/cm}^2 > \bar{\sigma}_s = 2,04 \text{ kg/cm}^2$ (Trap)

Semelle N° 4 $\sigma_{sII} = 3,90 \text{ kg/cm}^2 > 1,33 \bar{\sigma}_s = 2,73 \text{ kg/cm}^2$ (Triang)

pour ces semelles les conditions 1°) et 2°) ne sont pas vérifiées

donc on augmentera la section tel que :

$\sigma_s < \bar{\sigma}_s$ pour les semelles N° (1) et (3)

$\sigma_{sII} < 1,33 \bar{\sigma}_s$ pour la semelle N° 4.

a) pour Semelle N° 4:

$$\frac{2Q}{3(B_2 - e_0)A} \leq 1,33 \bar{\sigma}_s \Rightarrow \frac{2Q}{3\left[\frac{8}{7}A - e_0\right]A} \leq 1,33 \bar{\sigma}_s \Rightarrow$$

$$\frac{2Q}{3 \times 1,33 \bar{\sigma}_s} < \left(\frac{4}{7}A - e_0\right)A \Rightarrow \frac{4}{7}A^2 - e_0 A > \frac{2Q}{3 \times 1,33 \bar{\sigma}_s} \Rightarrow$$

pour $A^2 + K_1 A + K_2 = 0$ on obtient

$$\sqrt{\Delta} = \sqrt{K_1^2 - 4K_2 \cdot 1} \Rightarrow A = \frac{-K_1 \mp \sqrt{\Delta}}{2 \cdot 1}$$

et on fait le choix de A et B .

$$A^2 - \frac{7}{4}e_0 A - 0,43Q \geq 0$$

après tout calcul fait on a trouvé que :

$$A = 161 \text{ cm} \Rightarrow \text{on adoptera } A = 165 \text{ cm} \Rightarrow B = 190 \text{ cm}$$

123

pour semelles N° (1) et (3)

$$\frac{Q}{AB} \left(1 + \frac{3e_0}{B}\right) < \bar{\sigma}_s \Rightarrow \frac{Q}{\frac{7}{8}B^2} \left(1 + \frac{3e_0}{B}\right) < \bar{\sigma}_s \Rightarrow$$

$$0,568Q + 1,706 \frac{Qe_0}{B} < B^2 \quad \text{donc par Tatonnement on a trouv} \bar{e}$$

$$B = 250 \text{ cm pour la semelle N} \bar{o} 1 \Rightarrow A = 220 \text{ cm}$$

$$B = 230 \text{ cm pour la semelle N} \bar{o} 3 \Rightarrow A = 205 \text{ cm}$$

DETERMINATION DES ARMATURES: pour Semelles N° 1, 3 et 4

On adoptera pour les armatures une répartition uniforme

Sens parallèle au côté B.

$$S_{i,II} \begin{cases} e_0 < b/6 \\ e_0 < B/8 \end{cases} \Rightarrow (II) \begin{cases} A_A = \frac{Q'(17-a)}{8F_a \sqrt{a}} \\ A_B = \frac{Q'(B-b)}{8F_b \sqrt{a}} \end{cases} \quad \text{avec } Q' = Q \left(1 + \frac{3e_0}{B}\right)$$

Si non et c'est notre cas:

On calcul la section A_B des armatures nécessaires pour équilibres, le moment agissant dans la section S_1 :

$$M_{S_1} = A \left(\frac{B}{2} - 0,35b\right)^2 \left[\frac{\bar{\sigma}_{S11}}{3} + \frac{\bar{\sigma}_{S1}}{6} \right]$$

$$\text{Diagramme Trapezoidal} \quad \bar{\sigma}_{S1} = \frac{Q}{AB} \left(1 + 4,2 \frac{e_0 b}{B^2}\right)$$

$$\text{Diagramme Triangulaire} \quad \bar{\sigma}_{S1} = \bar{\sigma}_{S11} \frac{B - 3e_0 + 0,35b}{3 \left(\frac{B}{2} - e_0\right)}$$

$$A_B = \frac{M_{S1}}{Z \sqrt{a}}$$

Sens parallèle au côté A:

Dans ce sens il n'y a pas de moment (ou très faible)

\Rightarrow on ferraille sous forme de (II) précédent

semelle	V.D	A(cm)	B(cm)	$\bar{\sigma}_{S11}$	$\bar{\sigma}_{S1}$	$M_{S1}(t)$	Z(cm)	A_B (cm)	$Q(t)$	A_A (cm)
1	/	220	250	/	1,27	5,74	30,6	6,70	79,95	18,7
3	/	205	230	/	1,42	4,95	39,4	4,50	76,99	12,98
4	/	165	190	2,55	1,50	11,90	30,6	13,90	60,60	10,05

Ferrailage : (Méthode des bielles)

semelles	A (cm)	B (cm)	S kg/cm ²	$\sigma_s^{(A/4)}$ kg/cm ²	Q' (t)	A'_y (cm ²)	A'_x (cm ²)
2	190	225	40850	2,41	98,4485	27,85	30,76
9	170	190	32300	2,98	96,754	12,89	14,32
10	210	240	50400	2,60	131,041	18,61	21,87
11	205	230	47750	2,09	98,1543	13,60	15,20
12	195	220	42900	2,31	99,099	14,16	15,92
semelles	A (cm)	B (cm)	S (cm ²)	$\sigma_s^{(A/4)}$ kg/cm ²	Q' (t)	A'_y (cm ²)	A'_x (cm ²)

$$h \geq \max \left\{ \frac{A-a}{4}, \frac{B-b}{4} \right\} \quad \text{cest vérifié.}$$

d'où la vérification à l'effort tranchant n'est pas nécessaire.

suivant le CTC.

Ferraillage sous SP_2 en compression simple :

$$F_x = \frac{Q(A-a)}{8(h_t-d_2)}, \quad F_y = \frac{Q(B-b)}{8(h_t-d_1)}; \quad A_x = \frac{F_x}{\sigma_a}; \quad A_y = \frac{F_y}{\sigma_a}$$

avec $d_1 = 3,5 \text{ cm}$; $d_2 = 5 \text{ cm}$.

Semelle	$Q(t)$	$A(\text{cm})$	$B(\text{cm})$	$S(\text{cm}^2)$	$R_t(\text{cm})$	$\sigma_s = \frac{Q}{R_t}$	$F_x(t)$	$A_y(\text{cm}^2)$	$F_y(\text{cm})$	$A_y(\text{cm}^2)$
1	39,37	220	250	55000	35	1,072	30,35	10,84	32,80	11,70
2	79,54	190	215	40850	25	1,95	77,05	27,51	80,92	28,90
3	68,62	205	230	47150	45	1,45	43,96	15,70	39,27	14,02
4	44,88	165	190	31350	35	1,43	24,31	8,68	26,71	9,54
9	63,39	170	190	32300	45	1,96	26,74	9,55	28,64	10,23
10	99,67	210	240	50400	55	1,98	43,61	15,57	48,28	17,28
11	92,62	205	230	47150	55	1,96	39,36	14,06	48,71	15,95
12	83,06	195	220	48900	50	1,94	36,91	13,18	40,19	14,35

$\sigma_s < \bar{\sigma}_s$ vérifiée.

donc on prend le ferraillage max.

Semelle N°1 $\left\{ \begin{array}{l} 18,7 \text{ cm}^2 \rightarrow 16 T_{12} \quad t = 17 \text{ cm.} \\ 11,7 \text{ cm}^2 \rightarrow 15 T_{10} \quad t = 16 \text{ cm.} \end{array} \right.$

Semelle N°2 $\left\{ \begin{array}{l} 10,76 \text{ cm}^2 \rightarrow 14 T_{14} \quad t = 17 \text{ cm.} \\ 27,25 \text{ cm}^2 \rightarrow 10 T_{16} + 5 T_{14} \quad t = 16 \text{ cm.} \end{array} \right.$

Semelle N°3 $\left\{ \begin{array}{l} 15,70 \text{ cm}^2 \rightarrow 11 T_{14} \quad t = 23 \text{ cm} \\ 14,02 \text{ cm}^2 \rightarrow 10 T_{14} \quad t = 23 \text{ cm.} \end{array} \right.$

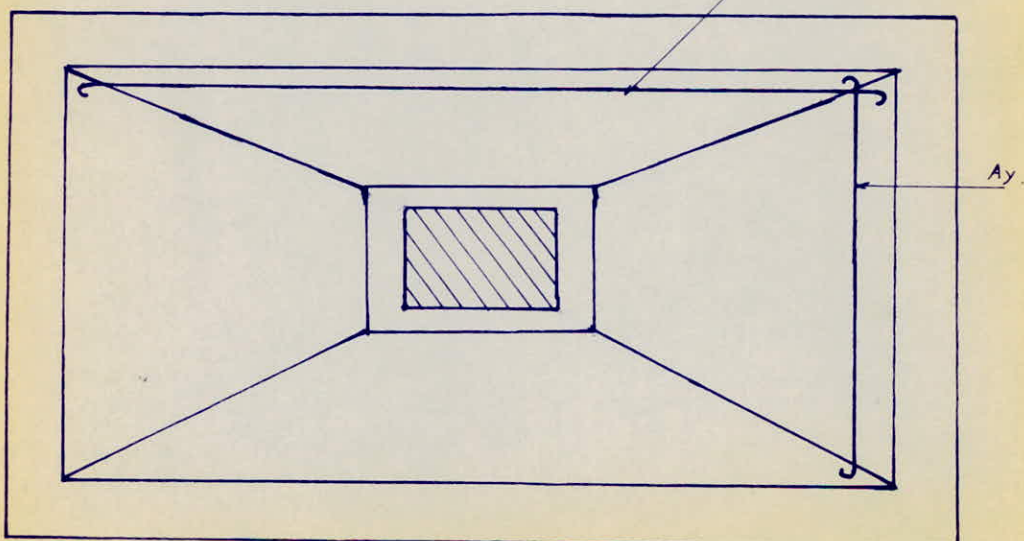
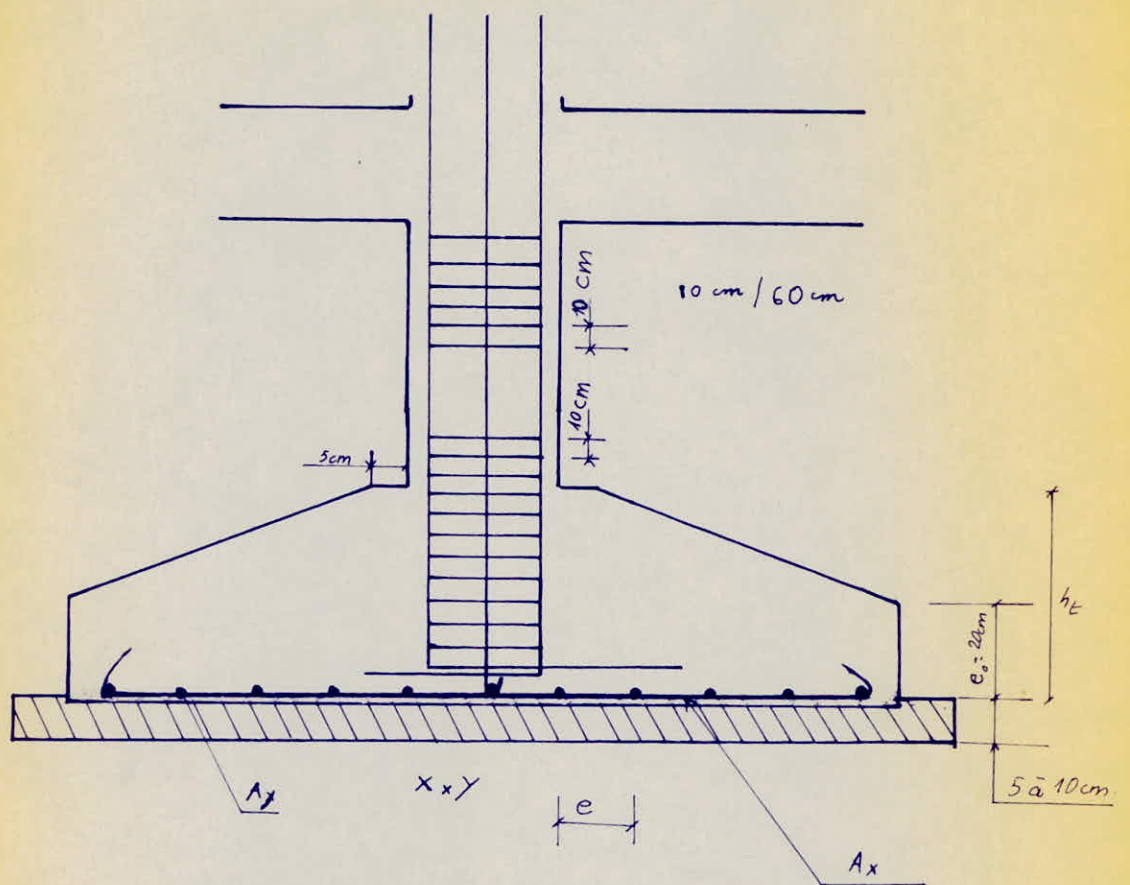
Semelle N°4 $\left\{ \begin{array}{l} 13,78 \text{ cm}^2 \rightarrow 10 T_{14} \quad t = 22 \text{ cm.} \\ 14,35 \text{ cm}^2 \rightarrow 10 T_{14} \quad t = 22 \text{ cm.} \end{array} \right.$

Semelle N°9 $\left\{ \begin{array}{l} 14,32 \text{ cm}^2 \rightarrow 10 T_{14} \quad t = 22 \text{ cm.} \\ 12,89 \text{ cm}^2 \rightarrow 11 T_{12} \quad t = 17 \text{ cm.} \end{array} \right.$

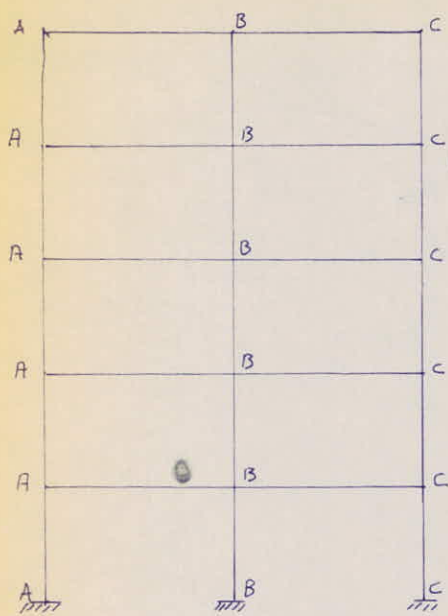
Semelle N°10 $\left\{ \begin{array}{l} 11,87 \text{ cm}^2 \rightarrow 11 T_{16} \quad t = 24 \text{ cm} \\ 18,61 \text{ cm}^2 \rightarrow 16 T_{12} \quad t = 14 \text{ cm.} \end{array} \right.$

Semelle N°11 $\left\{ \begin{array}{l} 15,20 \text{ cm}^2 \rightarrow 11 T_{14} \quad t = 23 \text{ cm} \\ 13,60 \text{ cm}^2 \rightarrow 10 T_{14} \quad t = 23 \text{ cm} \end{array} \right.$

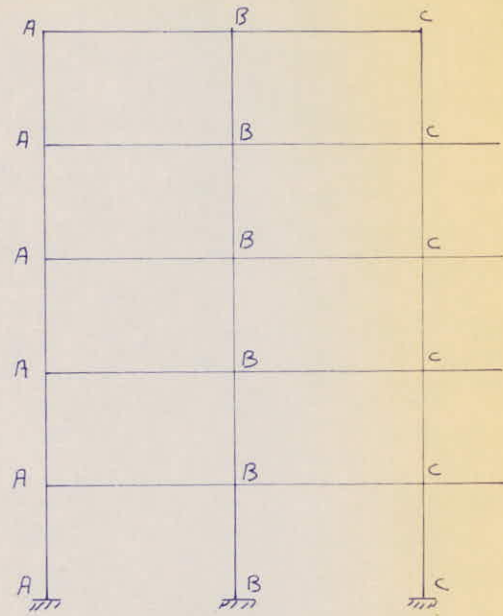
Semelle N°12 $\left\{ \begin{array}{l} 15,92 \text{ cm}^2 \rightarrow 11 T_{14} \quad t = 22 \text{ cm.} \\ 14,16 \text{ cm}^2 \rightarrow 10 T_{14} \quad t = 22 \text{ cm.} \end{array} \right.$



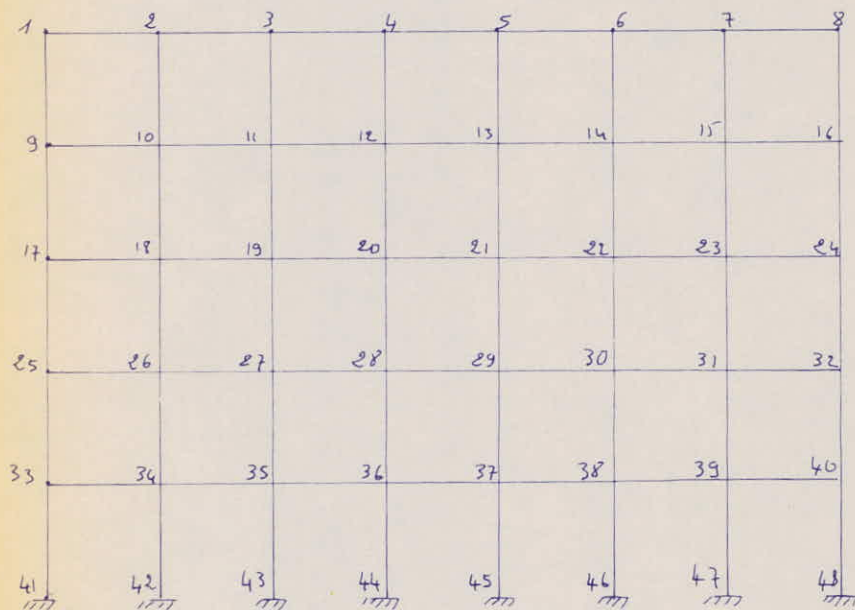
SCHEMAS DES PORTIQUES



(A-A)



BB - CC



(1-1) - (8-8)

